



TUGAS AKHIR - TF181801

**OPTIMISASI PARAMETER *PHOTOVOLTAIC*
MENGGUNAKAN *PARTICLE SWARM MODIFIED
FIREFLY ALGORITHM(PSMFA)***

YESIKA EKA SWASTI APSARI
NRP. 02311540000001

Dosen Pembimbing:
Dr. Imam Abadi, S.T., M.T.

Program Studi S-1 Teknik Fisika
Departemen Teknik Fisika
Fakultas Teknologi Industri
Institut Teknologi Sepuluh Nopember
Surabaya 2019



TUGAS AKHIR - TF 181801

**OPTIMISASI PARAMETER PHOTOVOLTAIC
MENGGUNAKAN PARTICLE SWARM MODIFIED
FIREFLY ALGORITHM(PSMFA)**

YESIKA EKA SWASTI APSARI
NRP. 02311540000001

Dosen Pembimbing:
Dr. Imam Abadi, S.T., M.T.

Departemen Teknik Fisika
Fakultas Teknologi Industri
Institut Teknologi Sepuluh Nopember
Surabaya 2019

“Halaman ini sengaja dikosongkan”



FINAL PROJECT - TF 181801

***OPTIMIZATION
PARAMETERS USING PARTICLE SWARM
MODIFIED FIREFLY ALGORITHM(PSMFA)***

**YESIKA EKA SWASTI APSARI
NRP. 02311540000001**

Supervisor:
Dr. Imam Abadi, S.T., M.T.

***ENGINEERING PHYSICS DEPARTMENT
Faculty of Industrial Technology
Sepuluh Nopember Institute of Technology
Surabaya 2019***

“Halaman ini sengaja dikosongkan”

PERNYATAAN BEBAS PLAGIASI

Saya yang bertanda tangan di bawah ini:

Nama : Yesika Eka Swasti Apsari
NRP : 02311540000001
Departemen : Teknik Fisika FTI-ITS

Dengan ini menyatakan bahwa tugas akhir saya yang berjudul “Optimisasi Parameter Photovoltaic Menggunakan Metode Particle Swarm Modified Firefly Algorithm(PSMFA)” adalah bebas plagiasi. Apabila pernyataan ini terbukti tidak benar, maka saya bersedia menerima sanksi sesuai ketentuan yang berlaku.

Demikian surat pernyataan ini saya buat dengan sebenar-benarnya.



Surabaya, 25 Juli 2018
Yang membuat pernyataan,

Yesika Eka Swasti Apsari

“Halaman ini sengaja dikosongkan”

LEMBAR PENGESAHAN

OPTIMISASI PARAMETER *PHOTOVOLTAIC*
MENGGUNAKAN METODE *PARTICLE SWARM*
MODIFIED FIREFLY ALGORITHM(PSMFA)

TUGAS AKHIR

OLEH :

Yesika Eka Swasti Apsari
NRP. 02311540000001

Surabaya, 29 Juli 2019
Mengetahui/Menyetujui

Pembimbing I,

Dr. Imam Abadi , S.T., M.T.
NIP. 19761006 199903 1 002



Kepala Departemen,
Teknik Fisika FTI-ITS

Ayudha Muhammad Hatta, S.T., M.Si., Ph.D
NIP. 19780902 200312 1 002

“Halaman ini sengaja dikosongkan”

**OPTIMISASI PARAMETER PHOTOVOLTAIC
MENGGUNAKAN METODE PARTICLE SWARM
MODIFIED FIREFLY ALGORITHM(PSMFA)**

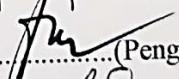
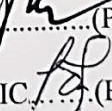
TUGAS AKHIR

Diajukan Untuk Memenuhi Salah Satu Syarat
Memperoleh Gelar Sarjana Teknik
Pada
Bidang Minat Rekayasa Istrumentasi
Program Studi S-1 Teknik Fisika
Fakultas Teknologi Industri
Institut Teknologi Sepuluh Nopember

Oleh :

Yesika Eka Swasti Apsari
NRP. 02311540000001

Disetujui oleh Tim Penguji Tugas Akhir

1. Dr. Imam Abadi, S.T., M.T......(Pembimbing I)
2. Dr. Ir. Ronny Dwi Noriyati, M. Kes..........(Penguji I)
3. Dr. Ir. Ali Musyafa', M.Sc..........(Penguji II)
4. Mohammad Kamalul Wafi, S.T., MSc.DIC..........(Penguji III)

**SURABAYA
JULI, 2019**

“Halaman ini sengaja dikosongkan”

OPTIMISASI PARAMETER PHOTOVOLTAIC MENGGUNAKAN PARTICLE SWARM MODIFIED FIREFLY ALGORITHM (PSMFA)

Nama Mahasiswa : Yesika Eka Swasti Apsari
NRP : 02311540000001
Program Studi : S1 Teknik Fisika
Dosen Pembimbing : Dr. Imam Abadi, S.T., M.T.

ABSTRAK

Pemodelan modul *photovoltaic* dapat dilakukan melalui pendekatan model tiga parameter, lima parameter, tujuh parameter, dan sembilan parameter. Variabel *input* yang digunakan antara lain kecepatan angin, kelembaban, temperatur, dan iradiansi. Untuk mengoptimalkan parameter digunakan tiga metode optimisasi yakni *Firefly Algorithm* (FA), *Particle Swarm Optimization* (PSO), dan *Particle Swarm Modified Firefly Algorithm* (PSMFA). Hasil simulasi menunjukkan *ideality factor diode* tiga parameter, lima parameter, dan tujuh parameter bernilai 1.5, 1 dan 2, sedangkan sembilan parameter menunjukkan nilai konstan 1, 2, dan 3. Nilai tertinggi parameter I_{ph} berturut-turut bernilai 9.8902 A, 9.9122 A, dan 9.8906 A, sedangkan sembilan parameter bernilai 9.8826 A. Nilai tertinggi parameter arus saturasi dioda adalah 1×10^{-6} A, 1×10^{-6} A, 3×10^{-9} A, 6×10^{-5} A dan 1×10^{-3} pada tiga parameter, lima parameter, tujuh parameter, dan sembilan parameter. Sedangkan nilai hambatan seri bernilai konstan untuk semua parameter yakni sebesar 0.0903 Ohm dan *parallel resistance* pemodelan lima parameter, tujuh parameter, dan sembilan parameter bernilai 362.39 Ohm, 14431 Ohm, dan 11100 Ohm. Berdasarkan grafik konvergensi PSMFA memiliki kemampuan konvergensi yang lebih tinggi dari dua metode.

Kata kunci: *Photovoltaic*, *Particle Swarm Optimization* (PSO), *Firefly Algorithm* (FA), *Particle Swarm Modified Firefly Algorithm* (PSMFA)

“Halaman ini sengaja dikosongkan”

***OPTIMIZATION PHOTOVOLTAIC'S PARAMETER USING
PARTICLE SWARM MODIFIED FIREFLY
ALGORITHM(PSMFA)***

<i>Name</i>	: Yesika Eka Swasti Apsari
<i>NRP</i>	: 02311540000001
<i>Study Program</i>	: S1 Teknik Fisika
<i>Supervisor</i>	: Dr. Imam Abadi, S.T., M.T.

ABSTRACT

Modeling photovoltaic modules can be done using a three-parameter model, five parameters, seven parameters, and nine parameters. Variable inputs used include wind speed, humidity, temperature, and irradiance. To optimize parameters, three optimization methods are used, namely Firefly Algorithm (FA), Particle Swarm Optimization (PSO), and Particle Swarm Modified Firefly Algorithm (PSMFA). The simulation results show the ideality factor of the three-parameter diode, five parameters, and seven parameters worth 1.5, 1 and 2, while the nine parameters show constant values 1, 2, and 3. The highest parameter value of I_{ph} is successful-yielding profit 9.8902 A, 9, 9122 A, and 9.8906 A, while the nine parameters are 9.8826 A. The highest value of the diode saturation current parameter is 1×10^{-6} A, 1×10^{-6} A, 3×10^{-9} A, 6×10^{-5} A and 1×10^{-3} on three parameters, five parameters, seven parameters, and nine parameters. While the value of series parameters is constant five and seven, which is equal to 0.0903 Ohm and parallel parameters of five parameters, seven parameters, and nine parameters worth 362.39 Ohm, 14431 Ohm, and 11100 Ohm. Based on the convergence graph, the PSMFA has a higher convergence capability than the othres.

Keywords: ***Photovoltaic, Particle Swarm Optimization (PSO), Firefly Algorithm (FA), Particle Swarm Modified Firefly Algorithm (PSMFA)***

“Halaman ini sengaja dikosongkan”

KATA PENGANTAR

Puji syukur kehadirat Allah SWT yang senantiasa melimpahkan rahmat dan hidayah-Nya serta shalawat dan salam kepada Nabi Muhammad SAW sehingga dapat terselesaikannya tugas akhir beserta laporan tugas akhir yang berjudul **“Optimisasi Parameter Photovoltaic Menggunakan Particle Swarm Modified Firefly Algorithm (PSMFA)”**.

Penulis telah banyak memperoleh bantuan dari berbagai pihak dalam penyelesaian tugas akhir dan laporan tugas akhir ini. Penulis mengucapkan terima kasih kepada:

1. Bapak Agus Muhamad Hatta, S.T., M.Si., Ph.D selaku Ketua Departemen Teknik Fisika ITS yang telah memberikan ilmu, bimbingan serta sarana dan prasarana selama menempuh pendidikan di Teknik Fisika ITS.
2. Bapak Dr. Imam Abadi, S.T., M.T. selaku dosen pembimbing yang telah dengan sabar memberikan petunjuk, ilmu, serta bimbingan dalam pengerjaan tugas akhir ini.
3. Ibu Dr. Ir. Ronny Dwi N, M.Kes, Dr. Ir. Ali Musyafa’, M. Sc, dan Mohammad Kamalul Wafi, S.T. MSc.DIC, selaku dosen pengujii yang telah memberikan saran kepada penulis
4. Bapak Prof. Dr. Ir Sekartedjo, M.Sc selaku dosen wali yang telah membimbing penulis selama perkuliahan dan memberikan ilmu serta nasihat yang sangat bermanfaat.
5. Seluruh Dosen Departemen Teknik Fisika ITS atas segala ilmu, bimbingan, petunjuk, dan nasihat yang sangat bermanfaat.
6. Seluruh Karyawan Departemen Teknik Fisika ITS yang telah membantu proses administrasi selama masa perkuliahan.
7. Kedua orang tua dan keluarga yang telah mendoakan penulis, mendukung, memberikan semangat dan kasih sayang, serta memberikan dukungan moril dan materil
8. Teman- teman Tim *Tracker* Pak Imam TW120 atas segala semangat dan bantuannya selama pengerjaan tugas akhir ini.
9. Teman-teman Remahan Kongguan dan Pokau terima kasih atas doa, dukungan, waktu, dan cerita selama masa perkuliahan ini

- 10.Teman-teman Asisten Laboratorium Pengukuran Fisis Angkatan 2015, 2013, 2014, 2016, dan 2017 terima kasih atas bimbingannya selama ini, atas pelajarannya kekeluargaannya, dan kisah indahnya
- 11.Teman-teman Transcendent Frontier, Teknik Fisika 2015 terima kasih atas pelajarannya, atas kekeluargaannya, terima kasih untuk kisahnya selama ini.
12. Seluruh mahasiswa Teknik Fisika ITS yang telah memberikan banyak pelajaran, membimbing, dan memberikan saran, serta doa kepada penulis.
- 13.Teman-teman lilly was a little girl, Dancita, Diki Enggar, dan Sintya terima kasih atas waktu dan kisah dari masa geriginya
14. Dan segenap orang-orang berjasa dalam hidup saya yang tidak bisa saya sebutkan satu persatu yang telah memberikan dukungan, semangat, dan doa untuk saya.

Penulis sadar bahwa penulisan laporan tugas akhir ini masih terdapat kekurangan. Namun, semoga laporan ini dapat memberikan kontribusi yang berarti dan menambah wawasan yang bermanfaat bagi pembaca, keluarga besar Teknik Fisika ITS khususnya, dan civitas akademika ITS pada umumnya.

Surabaya, 12 Juni 2019

Penulis

DAFTAR ISI

HALAMAN JUDUL	i
COVER PAGE	iii
PERNYATAAN BEBAS PLAGIASI	v
LEMBAR PENGESAHAN.....	vii
ABSTRAK	xi
ABSTRACT	xiii
DAFTAR ISI.....	xvii
DAFTAR GAMBAR	xxi
DAFTAR TABEL.....	xxiii
DAFTAR NOTASI.....	xxv
BAB I PENDAHULUAN	1
1.1 Latar Belakang	1
1.2 Rumusan Masalah	3
1.3 Tujuan	4
1.4 Batasan Masalah.....	4
1.5 Sistematika Laporan	5
BAB II TINJAUAN PUSTAKA	7
2.1 Photovoltaic(PV)	7
2.1.1 Rangkaian Sel Photovoltaic Model Ideal	9
2.1.2 Rangkaian Sel Photovoltaic Dioda Tunggal	11
2.1.3 Rangkaian Sel Photovoltaic Dioda Ganda	12
2.1.4 Rangkaian Sel Photovoltaic Tiga Dioda	13
2.2 Particle Swarm Optimization(PSO).....	14
2.3 Firefly Algorithm(FA).....	15
2.4 Particle Swarm Modified Firefly Algorithm(PSMFA)	17

BAB III METODOLOGI PENELITIAN	21
3.1 Diagram Alir Peneltian	21
3.1.1 Perumusan Masalah	22
3.1.2 Studi Literatur.....	22
3.1.3 Pengambilan Data Sekunder	22
3.1.4 Pengambilan Data Primer	23
3.1.5 Pemodelan Matematis.....	23
3.1.6 Validasi Data	24
3.1.7 Optimisasi Menggunakan PSO	24
3.1.8 Optimisasi Menggunakan FA	26
3.1.9 Optimisasi Menggunakan PSMFA	28
3.2 Delapan Parameter.....	31
BAB IV ANALISA DAN PEMBAHASAN	33
4.1 Hasil Pengukuran Arus dan Tegangan.....	33
4.2 Hasil Ekstraksi Parameter.....	42
4.2.1 Kondisi Full Cerah.....	42
4.2.2 Kondisi Full Mendung	44
4.2.4 Kondisi Dominan Mendung.....	49
4.2.5 Kondisi Balance.....	51
4.3 Hasil Validasi	54
4.4 Hasil Optimisasi	57
BAB V PENUTUP	69
5.2 Saran.....	70
DAFTAR PUSTAKA	71
LAMPIRAN 1	77
LAMPIRAN 2	83

LAMPIRAN 3.....	87
LAMPIRAN 4.....	93
LAMPIRAN 5.....	105
LAMPIRAN 6.....	107
LAMPIRAN 7.....	121
LAMPIRAN 8.....	127
LAMPIRAN 9.....	131
BIODATA PENULIS	135

“Halaman ini sengaja dikosongkan”

DAFTAR GAMBAR

Gambar 2. 1 Modul Photovoltaic	8
Gambar 2. 2 Rangkaian Sel Photovoltaic Model Ideal	9
Gambar 2. 3 Rangkaian Sel Photovoltaic Model Dioda Tunggal	11
Gambar 2. 4 Rangkaian Sel Photovoltaic Model Dioda Ganda	13
Gambar 2. 5 Rangkaian Sel Photovoltaic Model Tiga Dioda....	14
Gambar 2. 6 Diagram Alir PSMFA	19
Gambar 3. 1 Diagram Alir Penelitian	21
Gambar 3. 2 Set-up Alat	23
Gambar 3. 3 Diagram Alir PSO	25
Gambar 3. 4 Diagram Alir Firefly Algorithm	27
Gambar 3. 5 Diagram Alir PSMFA	29
Gambar 4. 1 Perbandingan Hasil Arus PV Fix dan PV Menggunakan Tracker.....	33
Gambar 4. 2 Perbandingan Hasil Tegangan PV Fix dan PV Menggunakan Tracker.....	34
Gambar 4. 3 Arus dan Tegangan pada Kondisi Full Cerah	35
Gambar 4. 4 Arus dan Tegangan pada Kondisi Full Mendung	37
Gambar 4. 5 Arus dan Tegangan pada Kondisi Dominan Cerah	38
Gambar 4. 6 Arus dan Tegangan pada Kondisi Dominan Mendung	39
Gambar 4. 7 Arus dan Tegangan pada Kondisi Balance	41
Gambar 4. 8 Ekstraksi Parameter A dan Iph Kondisi Full Cerah	42
Gambar 4. 9 Ekstraksi Parameter Rsh dan Io Kondisi Full Cerah	43
Gambar 4. 10 Ekstraksi Parameter A dan Iph Kondisi Full Mendung	44
Gambar 4. 11 Ekstraksi Parameter Rsh dan Io Kondisi Full Mendung	45

Gambar 4. 12 Ekstraksi Parameter A dan Iph Kondisi Dominan Cerah	47
Gambar 4. 13 Ekstraksi Parameter Rsh dan Io Kondisi Dominan Cerah	48
Gambar 4. 14 Ekstraksi Parameter A dan Iph Kondisi Dominan Mendung	49
Gambar 4. 15 Ekstraksi Parameter Rsh dan Io Kondisi Dominan Mendung	50
Gambar 4. 16 Ekstraksi Parameter A dan Iph Kondisi Balance	52
Gambar 4. 17 Ekstraksi Parameter Rsh dan Io Kondisi Balance	53
Gambar 4. 18 Kecepatan Konvergensi FA, PSO, dan PSMFA untuk Ideality factor diode.....	58
Gambar 4. 19 Kecepatan Konvergensi FA, PSO, dan PSMFA untuk Saturation Current	60
Gambar 4. 20 Kecepatan Konvergensi FA, PSO, dan PSMFA untuk PhotoCurrent	61
Gambar 4. 21 Kecepatan Konvergensi FA, PSO, dan PSMFA untuk Hambatan Seri	62
Gambar 4. 22 Kecepatan Konvergensi FA,PSO, danPSMFA untuk Shunt Resistance.....	63

DAFTAR TABEL

Tabel 3. 1 Spesifikasi Modul PV	22
Tabel 3. 2 Parameter PSO.....	24
Tabel 3. 3 Parameter FA.....	26
Tabel 3. 4 Parameter PSMFA	28
Tabel 4. 1 Hasil Validasi Data Arus dan Tegangan untuk Tiga Parameter dan Lima Parameter.....	55
Tabel 4. 2 Hasil Validasi Data Arus dan Tegangan untuk Tujuh Parameter dan Sembilan Parameter	56
Tabel 4. 3 Ekstraksi dan Optimisasi 8 Parameter	65

“Halaman ini sengaja dikosongkan”

DAFTAR NOTASI

A	= Ideality Factore Diode
c_1, c_2	= <i>acceleration coefficient</i>
g_{best}	= <i>global best</i>
I	= Arus <i>output photovoltaic</i> (A)
I_{ph}	= <i>Photocurrent</i> (A)
I_D	= Arus dioda (A)
I_0	= Arus saturasi diodabalik (A)
I_{mp}	= Arus maksimum saat STC (8.34 A)
I_{sh}	= Arus <i>Shunt</i> (A)
I_{scn}	= <i>Short Circuit Current</i> (9 A)
k	= Konstanta Boltzman ($1,3865 \times 10^{-23}$ J/K)
n_s	= Jumlah Sel PV
q	= Muatan Elektron ($1,6021 \times 10^{-19}$ C)
pbest	= <i>personal best</i>
P_{mpp}	= Daya maksimum saat STC
r	= Jarak antara dua kunang-kunang
R_s	= resistansi seri <i>array photovoltaic</i> , Ohm
R_p	= <i>parallel resistance array photovoltaic</i> , Ohm
R_{pv}	= Hambatan PV (Ω)
RMSE	= <i>Root Mean Square Error</i>
S	= Iridiansi (W/m^2)
S_r	= Iridiansi referensi ($1000 W/m^2$)
T	= Temperatur(K)
T_r	= Temperatur referensi ($25^\circ C$)
V	= Tegangann (V)
V_i	= Kecepatan partikel
V_t	= Tegangann termal (V)
V_{ocn}	= <i>Open Circuit Voltage</i> (36.8 V)
V_{mp}	= Tegangann Maksimum saat STC(30 V)
W_1	= konstanta $T_{Ambient}$
W_2	= Konstanta Iradiasi

W_3	= Konstanta Kecepatan Angin
W_4	= Konstanta <i>Relative Humidity</i>
w_i	= <i>Initial weight inertia</i>
w_f	= <i>Final weight inertia</i>
x_i	= Posisi Partikel
α	= Parameter penentu arah
β	= Ketertarikan
β_0	= Ketertarikan saat $r=0$
β_{\min}	= Ketertarikan saat nilai r mendekati tak hingga
ϵ_i	= Vektor nilai acak dari variabel bebas acak
γ	= Koefisien serapan cahaya
ω	= <i>Inertia weight</i>
ω_{damp}	= Redaman <i>inertia weight</i>
μ	= <i>Temperatur Coeff. Of Short Circuit Current</i> (0.00053 A/ $^{\circ}$ C)
Φ	= <i>Temperatur Coeff. of Short Circuit Voltage</i> (-0.0036 V/ $^{\circ}$ C)
ΔI	= Selisih arus dengan arus maksimum(A)

BAB I

PENDAHULUAN

1.1 Latar Belakang

Kebutuhan listrik di Indonesia setiap tahunnya mengalami peningkatan. Peningkatan konsumsi listrik ini sebanding dengan bertambahnya jumlah penduduk Indonesia. Dalam kurun waktu 10 tahun, konsumsi listrik mengalami kenaikan hampir dua kali, dari konsumsi listrik sebesar 129.018,81 MWh di tahun 2007 hingga 247.416,06 MWh di tahun 2016 atau mengalami kenaikan sebesar 118.397,25 MWh. Dimana sektor rumah tangga menempati urutan kedua sebagai konsumen terbesar listrik setelah sektor industri dan diikuti sektor usaha serta umum diurutan ketiga dan keempat [1]. Konsumsi energi di Indonesia didominasi oleh energi fosil, dengan presentase 41% adalah minyak bumi dan 32,3% adalah batu bara. Sedangkan energi fosil sendiri bukanlah sumber daya energi yang dapat diperbarui. Tercatat produksi minyak bumi di Indonesia mengalami penurunan dari 386,48 juta barel(kurang lebih 1 juta barel tiap hari) tahun 2005 menjadi 287,90 barel(800 ribu barel tiap hari) tahun 2014. Pengurangan ini disebabkan sumur produksi yang sudah lama digunakan sedangkan untuk produksi sumur baru masih kurang optimal. Tidak berbeda dengan minyak bumi, cadangan batu bara di Indonesia sebesar 32,27 miliar dengan sumber daya mencapai 124,80 miliar ton, sedangkan produksi di tahun 2014 mencapai 458 juta ton atau dapat diperkirakan cadangan batu bara habis dalam kurun waktu 70 tahun [2]. Pengurangan eksplorasi terhadap sumber daya alam yang tidak dapat diperbarui tersebut maka pemerintah mengupayakan untuk memaksimalkan produksi listrik yang berasal dari energi terbarukan yang salah satunya adalah tenaga surya.

Daerah ekuator menjadikan Indonesia yang membentang dari 6°LU sampai 11°LS dan 95°BT sampai 141°BT , memiliki lama penyinaran matahari yang lebih banyak dari belahan bumi lain. Potensi energi inilah yang dapat dioptimalkan sebagai energi terbarukan sebagai Pembangkit Listrik Tenaga Surya(PLTS) [3] [4]. Penggunaana pembangkit listrik menggunakan tenaga surya

ini dapat menjangkau wilayah pelosok yang ada di Indonesia karena persebaran radiasi matahari yang hampir merata di seluruh wilayah yakni $4,5 \text{ kWh/m}^2$ setiap harinya untuk daerah Indonesia bagian barat dengan variasi tiap bulan sebesar 10% dan $5,1 \text{ kWh/m}^2$ setiap harinya untuk daerah Indonesia bagian timur dengan variasi bulanan 9% [5]. Meningkatkan produksi listrik nasional dari energi terbarukan maka dibuatlah strategi untuk memenuhi target tersebut, dalam outlook dari Dirjen Energi Nasional direncanakan pada tahun 2019 kapasitas PLTS mencapai 300 MW dan pada tahun 2025 mencapai 8GW dan menjadi tiga sumber energi dari energi terbarukan yang memiliki perkembangan kapasitas yang besar dengan pembangkit listrik dari gelombang air laut serta angin [2]. Namun sayangnya pemanfaatan energi surya ini masih kurang optimal, hanya 8,73MW atau setara dengan 0,02% dari jumlah total energi listrik yang bersumber dari energi terbarukan 4.109,09 MW di tahun 2014. Hal ini disebabkan masih rendahnya efisiensi dari PV yang digunakan berkisar antara 10% sampai 15% sehingga tidak dapat optimal memperoleh energi dari radiasi matahari [4] [6]. Sangat penting membuat konfigurasi PV menghasilkan daya *output* dapat selalu optimal.

Efisiensi PV sangat penting diperhatikan karena dibutuhkan modul PV yang dapat menghasilkan daya maksimal dari radiasi yang dipancarkan matahari. Namun terdapat beberapa faktor yang mempengaruhi besarnya efisiensi dari suatu modul PV selain dari kualitas modul PV yang digunakan yaitu faktor mekanis atau instalasi dan faktor lingkungan, faktor mekanis untuk meningkatkan efisiensi diantaranya adalah menggunakan reflektor [7] dan penjejak matahari [8] [9]. Faktor lingkungan yang mempengaruhi efisiensi PV antara lain temperatur [10], kelembapan [11] [10], kecepatan angin [12], dan iradiansi [13]. Faktor lingkungan inilah yang akan menjadi *input* dari modul PV dan sebagai *outputnya* berupa arus dan tegangan. Terdapat parameter PV yang harus dipahami sehingga hubungan antara *input* dan *output* dapat diketahui, parameter tersebut adalah: *photocurrent*(I_{PH}), arus saturasi dioda(I_0), *ideality factor diode*(A), resistansi seri(R_s), dan *paralel resistance*(R_{SH}) [14]. Parameter

tersebut bergantung pada model apa yang digunakan. penelitian sebelumnya yang dilakukan oleh MohammedLouazni dan Ahmed Khouya di tahun 2016 menggunakan model lima parameter dengan metode optimisasi menggunakan *Firefly Algorithm* didapatkan hasil FA memiliki nilai RMSE MAE, dan SSE yang lebih rendah dari metode lain seperti GA, PS, SA, NM-PSO namun untuk hasil sendiri masih lebih optimal menggunakan metode lain. Dan pada paper tersebut penulis mengatakan bahwa FA sangat baik digunakan untuk kondisi iradiansi yang rendah namun butuh metode lain untuk mengoptimalkan solusi global. Sedangkan di tahun 2018, Abdelghani Harrag dan Sabir Messalti melakukan ekstrasi dengan menggunakan tiga model yakni *five parameter model*, dan *seven parameter model* dengan *input* berupa temperatur. Metode optimisasi yang digunakan berupa kombinasi metode optimisasi yang diusulkan dengan nama *Hybrid Firefly and Pattern Search Algorithm* yang dibandingkan dengan beberapa metode optimisasi *metaheuristic* lain dan didapatkan hasil bahwa metode ini memiliki nilai RMS E yang lebih baik daripada metode *Firefly* dan *Pattern Search* untuk dua model pendekatan *single* maupun *double*. Kekurangan dari penggunaan metode *Firefly Algorithm* ini kurang dapat mengoptimalkan parameter seperti arus yang dibangkitkan oleh foton daripada metode lain, sehingga pada paper kali ini peneliti menggunakan metode kombinasi antara *Firefly Algorithm* dan *Particle Swarm Optimization* menggunakan nama *Particle Swarm Modified Firefly Algorithm*(PSMFA) menggunakan *input* empat faktor lingkungan diantaranya adalah temperatur, iradiansi, kelembapan, dan kecepatan angin. Diharapkan dengan metode PSMFA dapat mengoptimalkan parameter PV dan mempercepat konvergensi.

1.2 Rumusan Masalah

Dari latar belakang yang telah diuraikan diatas, maka didapatkan permasalahan dalam tugas akhir ini sebagai berikut:

- a. Berapa nilai ekstraksi parameter yang didapatkan dengan pendekatan model tiga parameter, model lima parameter, dan model tujuh parameter?

- b. Berapa nilai optimisasi parameter *photovoltaic* menggunakan metode *Particle Swarm Modified Firefly Algorithm*(PSMFA)?
- c. Bagaimana perbandingan nilai optimisasi parameter PV menggunakan metode *Particle Swarm Modified Firefly Algorithm* (PSMFA), *Particle Swarm Optimization* (PSO), dan *Firefly Algorithm* (FA)?

1.3 Tujuan

Tujuan dari penelitian tugas akhir ini adalah :

- a. Mendapatkan nilai ekstraksi parameter yang didapatkan dengan pendekatan model tiga parameter, model lima parameter, dan model tujuh parameter.
- b. Mendapatkan nilai optimisasi parameter PV menggunakan metode *Particle Swarm Modified Firefly Algorithm*(PSMFA).
- c. Mendapatkan perbandingan nilai optimisasi parameter PV menggunakan metode *Particle Swarm Modified Firefly Algorithm*(PSMFA), *Particle Swarm Optimization*(PSO), dan *Firefly Algorithm*(FA).

1.4 Batasan Masalah

Adapun batasan masalah dalam penenitian ini antara lain:

- a. *Photovoltaic* yang digunakan adalah jenis *polycrystalline* dengan nama dagang ST-Solar.
- b. Model yang digunakan antara lain model tiga parameter, model lima parameter, dan model tujuh parameter
- c. Variabel-variabel yang mempengaruhi *photovoltaic* adalah temperatur, iradiansi, kecepatan angin dan *relative kelembapan*
- d. Metode optimisasi menggunakan *Particle Swarm Modified Firefly Algorithm*(PSMFA).
- e. Metode optimisasi pembanding menggunakan *Particle Swarm Optimization*(PSO) dan *Firefly Algorithm*(FA)
- f. Metode validasi yang digunakan adalah model PV di Matlab2016a.

- g. Lokasi pengambilan data dilakukan di *Rooftop* Gedung Pasca Sarjana Departemen Teknik Fisika, Fakultas Teknologi Industri, ITS
- h. Pengambilan data dilakukan pada tanggal 27 Maret 2019 hingga 10 April 2019 pukul 07.00 WIB hingga 17.00 WIB dengan interval pengambilan data satu jam

1.5 Sistematika Laporan

Sistematika penulisan laporan tugas akhir adalah sebagai berikut:

- a. BAB I PENDAHULUAN
Pada bab I ini terdiri dari latar belakang, rumusan masalah, tujuan, batasan masalah, dan sistematika laporan.
- b. BAB II TINJAUAN PUSTAKA
Pada bab II ini dibahas mengenai teori-teori yang berkaitan dengan penelitian yang akan dilakukan, seperti teori *photovoltaic*, *Particle Swarm Optimization*(PSO), *Firefly Algorithm*(FA), *Particle Swarm Modified Firefly Algorithm*(PSMFA)
- c. BAB III METODOLOGI PENELITIAN
Pada bab III ini berisi mengenai rancangan dari penelitian yang dilakukan, metode, dan langkah-langkah dalam penelitian.
- d. BAB IV ANALISIS DATA DAN PEMBAHASAN
Pada bab IV ini berisi tentang analisis hasil ekstraksi parameter PV, validasi data, dan hasil optimisasi
- e. BAB V KESIMPULAN DAN SARAN
Pada bab V ini diberikan kesimpulan tentang tugas akhir yang telah dilakukan berdasarkan data-data yang diperoleh serta diberikan saran sebagai penunjang maupun pengembangan untuk tugas akhir yang selanjutnya.

“Halaman ini sengaja dikosongkan”

BAB II

TINJAUAN PUSTAKA

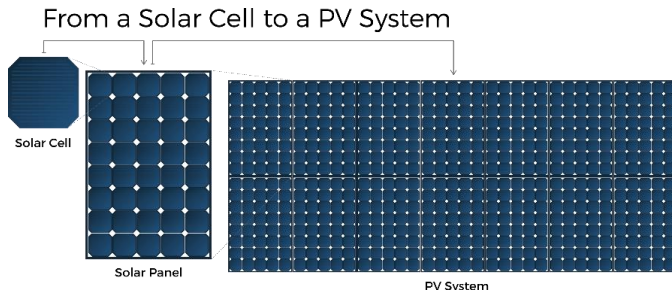
Pada bagian ini berisi tentang teori yang berkaitan dengan tugas akhir, diantaranya adalah *photovoltaic*, pemodelan matematis, optimisasi menggunakan metode *firefly algorithm*, optimisasi menggunakan *particle swarm optimization*, dan optimisasi menggunakan *particle swarm modified firefly algorithm*.

2.1 Photovoltaic (PV)

Photovoltaic atau PV merupakan bagian utama dari sebuah Pembangkit Listrik Tenaga Surya (PLTS). Pada tahun 1839 ilmuwan Perancis, Edmund Becquerel pertama kali menyelidiki timbulnya tegangan pada suatu larutan yang memiliki konduktivitas lemah dan didalamnya terdapat dua elektroda identik yang diterangi cahaya [15]. *Photovoltaic effect* adalah proses fisik dasar bagaimana sel PV dapat mengubah energi surya menjadi listrik. Cahaya matahari terdiri dari banyak foton atau partikel energi surya. Foton ini mengandung bermacam-macam energi dengan panjang gelombang yang berbeda. Ketika foton mengenai sel PV, foton tersebut dapat dipantulkan atau diserap, namun hanya foton yang diserap yang dapat menghasilkan arus listrik. Ketika foton diserap, energi dari foton ini akan disalurkan ke elektron pada inti. Untuk menghasilkan medan listrik dalam sel PV, digunakan 2 *junction* (penghubung) dari semikonduktor yang berbeda, yaitu tipe P dan tipe N [16].

Cara paling umum digunakan untuk membuat material silikon tipe N dan P adalah dengan menambahkan *element* yang memiliki elektron berlebih atau memiliki elektron yang kurang, yang sering disebut dengan proses doping. Proses doping sendiri adalah sebuah proses yang bertujuan untuk menambah ketidakmurnian suatu semikonduktor yang sangat murni untuk mengubah sifat listriknya. Silikon adalah material umum yang digunakan dalam PV. Unsur yang digunakan sebagai doping memiliki tiga atau lima elektron valensi. Biasanya digunakan fosfor untuk membuat semikonduktor

tipe N (fosfor memiliki lima elektron valensi) atau boron untuk membuat semikonduktor tipe P (boron memiliki tiga elektron valensi) [16].



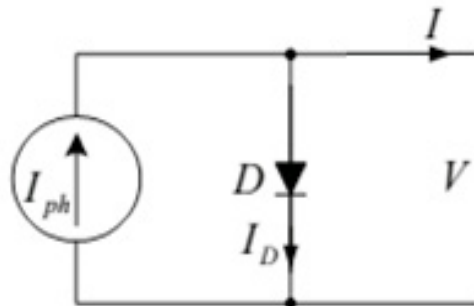
Gambar 2. 1 Modul Photovoltaic
Sumber : [17]

Sistem *photovoltaic* tersusun dari modul yang didalamnya terdapat banyak sel *photovoltaic* tersusun secara seri dan *paralel*. Daya yang diproduksi dari *single diode* kurang terpenuhi untuk digunakan secara komersial, sehingga modul dihubungkan menjadi *array* untuk dapat menyediakan beban. Modul dapat juga dihubungkan secara seri untuk mendapatkan peningkatan tegangan atau *paralel* untuk mendapatkan penurunan arus [18]. Terdapat dua tipe sel PV yaitu sel silikon kristal dan lembar tipis. PV dengan tipe sel silikon kristal dibagi menjadi dua jenis yakni *Monocrystalline Silicone* dan *Polycrystal Silicone*. *Monocrystalline Silicone* memiliki efisiensi lebih besar yakni sebesar 15%, sedangkan untuk *Polycrystal Silicone* sebesar 12%. Besarnya efisiensi ini erat kaitannya dengan material penyusun kedua jenis ini, *Monocrystalline Silicone* tersusun atas silicon dengan struktur kristal yang kontinu, sedangkan *Polycrystal Silicone* tersusun dari berbagai macam serat kristal silikon seperti lembaran silikon, *stainless steel*, keramik dan kaca. Untuk jenis *thin film* memiliki efisiensi 5%-6% yang tersusun dari silikon dengan struktur lapisan kristal yang tipis sehingga sel yang dihasilkan lebih tipis daripada

jenis sel yang lain. Sel yang termasuk jenis *thin film* antara lain: *amorphous silicon* (a-Si), *cadmium telluride* (CdTe), *copper indium diselenide* (CIS), *gallium arsenide* (GaAs), *titanium dioxide gratzel cell* (TiO₂). Tipe sel silikon kristal memiliki jangkauan spektrum cahaya yang lebih luas daripada *thin film* yakni sekitar 380nm sampai 1050nm, sedangkan untuk *thin film* berkisar antara 500nm hingga 840nm. sel silikon kristal memiliki efisiensi yang lebih besar yakni bernilai antara 18% hingga 24%, sedangkan *thin film* bernilai 10% hingga 12,4% [19]. Terdapat *Standart Test Condition* (STC) berdasarkan uji IEC 61215/IEC 61646 yang terdapat pada sertifikat pengukuran yang dikeluarkan oleh TÜV *immissionsschutz und Energiesysteme* GmbH, Cologne, Jerman. STC bernilai 25°C untuk temperatur modul, iradiansi matahari sebesar 1000 W/m², dan massa udara sebesar 1.5 [20]. Konfigurasi dari rangkaian PV dapat dilihat pada gambar 2.2 hingga gambar 2.4.

2.1.1 Rangkaian Sel *Photovoltaic* Model Ideal

Pendekatan pertama untuk mengetahui model matematis sel *photovoltaic* salah satunya didapat melalui rangkaian sel *photovoltaic* model ideal sebagai berikut:



Gambar 2. 2 Rangkaian Sel *Photovoltaic* Model Ideal
Sumber: [21]

Dengan menggunakan Hukum Kirchoff I maka rangkaian diatas dapat dirumuskan sebagai berikut:

$$I = I_{ph} - I_D \quad (2.1)$$

Dimana nilai I_D dapat dicari melalui persamaan ini:

$$I_D = I_0 \left(e^{\frac{V}{(n_s V_t)}} - 1 \right) \quad (2.2)$$

Persamaan 2.2 disubstitusikan ke persamaan 2.1 sehingga didapatkan persamaan umum untuk model ideal adalah sebagai berikut [22]:

$$I = I_{ph} - I_0 \left(e^{\frac{V}{(n_s V_t)}} - 1 \right) \quad (2.3)$$

Dimana nilai tegangan termal dan arus saturasi dioda adalah:

$$V_t = \frac{n_s k T}{q} \quad (2.4)$$

$$I_o = I_{scn} \exp \left[-\frac{q V_{ocn}}{A k N_s T} \right] \quad (2.5)$$

Hubungan iradiansi matahari dengan arus untuk ketiga model dinyatakan sebagai berikut [14] [13]:

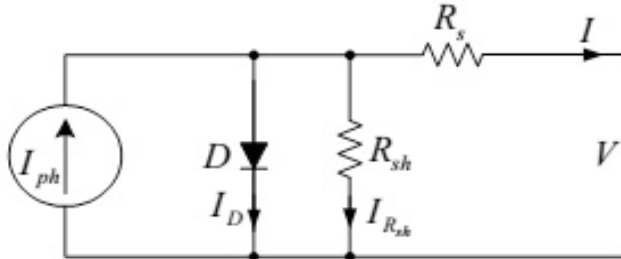
$$I_{ph} = [I_{scr} + K_i (T - T_r)] \frac{S}{S_r} \quad (2.6)$$

Dengan metode analitis *ideality factor diode* dapat dicari dengan persamaan berikut:

$$A = \frac{q(2V_{mp} - V_{ocn})}{N_s k T \left[\ln \left(1 - \frac{I_{mp}}{I_{scn}} \right) + \frac{I_{mp}}{(I_{scn} - I_{mp})} \right]} \quad (2.7)$$

2.1.2 Rangkaian Sel *Photovoltaic* Dioda Tunggal

Pendekatan pertama untuk mengetahui model matematis sel *photovoltaic* salah satunya didapat melalui rangkaian sel *photovoltaic* model diode tunggal dapat dilihat pada gambar 2.3.



Gambar 2.3 Rangkaian Sel *Photovoltaic* Model Dioda Tunggal
Sumber: [21]

Persamaan umum untuk pemodelan PV dengan pendekatan diode tunggal didapat dari Hukum Kichoff I seperti ada persamaan 2.1 dinyatakan dengan persamaan 2.8 [22] [14]:

$$I = I_{ph} - I_D - I_{sh} \quad (2.8)$$

Sehingga persamaan untuk mendekatan *single diode* sebagai berikut:

$$I = I_{ph} - I_0 \left(e^{\frac{V+IR_s}{n_s V_t}} - 1 \right) - \frac{V+IR_s}{R_{sh}} \quad (2.9)$$

Untuk mendapatkan besarnya hambatan seri didapat dari persamaan berikut:

$$R_s = \frac{V_{mp}}{I_{mp}} - \frac{2V_{mp} - V_{ocn}}{(I_{scn} - I_{mp}) \left[\ln \left(1 - \frac{I_{mp}}{I_{scn}} \right) + \frac{I_{mp}}{(I_{scn} - I_{mp})} \right]} \quad (2.10)$$

Untuk mendapatkan *parallel resistance* dapat dicari dari persamaan berikut:

$$R_{sh} = \sqrt{\frac{R_s}{\frac{qI_o}{AkN_sT} \exp\left(\frac{q(I_{sc}nR_s)}{AkN_sT}\right)}} \quad (2.11)$$

Dalam bentuk lain, I dan V dapat juga dihitung dengan menggunakan fungsi iradiansi dan temperatur sebagai berikut [8]:

$$I = \left[\left(\mu(T - T_{ref}) \left(\frac{S}{S_{ref}} \right) + \left(\frac{S}{S_{ref}} - 1 \right) \right) I_{sc} \right] + I_{mp} \quad (2.12)$$

$$V = V_{mp} + \Phi(T - T_{ref}) + R_{PV} \Delta I \quad (2.13)$$

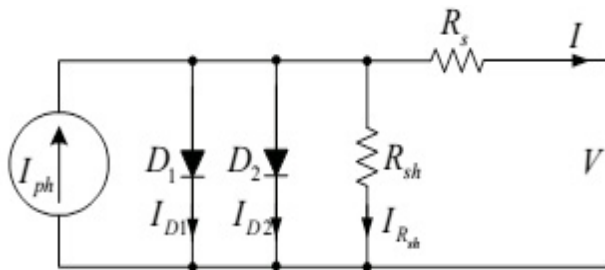
Output dari PV selain dipengaruhi oleh iradiansi dan suhu, juga dipengaruhi oleh kecepatan angin dan *relative kelembapan* dengan persamaan:

$$T_{module} = w1 \times T_{ambient} + w2 \times Irradiance + w3 \times wind speed + w4 \times RH + Contant \quad (2.14)$$

w1, w2, w3, w5 dan constant dapat dilihat dari tabel koefisien parameter- parameter suhu akhir pada PV yang dilampirkan di bagian lampiran. Dari persamaan 2.5, dapat diketahui bahwa kecepatan angin dan RH berpengaruh pada temperatur PV. Semakin tinggi kecepatan angin maka temperatur akan semakin rendah dan berakibat daya yang dikeluarkan akan semakin tinggi. Namun, bila RH semakin tinggi maka temperatur akan semakin tiggi dan menurunkan daya dari PV [23].

2.1.3 Rangkaian Sel *Photovoltaic* Dioda Ganda

Pendekatan pertama untuk mengetahui model matematis sel *photovoltaic* salah satunya didapat melalui rangkaian sel *photovoltaic* model diode ganda sebagai berikut:



Gambar 2. 4 Rangkaian Sel *Photovoltaic* Model Dioda Ganda
Sumber: [21]

Hubungan antara tegangan dan arus yang keluar dapat diketahui berdasarkan persamaan berikut:

$$I = I_{ph} - I_{D1} - I_{D2} - I_{sh} \quad (2.15)$$

Dimana nilai I_{o1} sama dengan nilai I_{o2} didapat melalui persamaan 2.5 sedangkan I_{D1} dan I_{D2} dinyatakan sebagai berikut:

$$I_{D1} = I_{01} \left(e^{\frac{V+IR_s}{n_s V_{t1}}} - 1 \right) \quad (2.16)$$

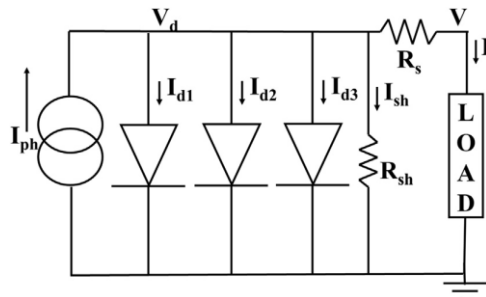
$$I_{D2} = I_{02} \left(e^{\frac{V+IR_s}{n_s V_{t2}}} - 1 \right) \quad (2.17)$$

Sehingga didapatkan persamaan akhir sebagai berikut:

$$I = I_{ph} - I_{01} \left(e^{\frac{V+IR_s}{n_s V_{t1}}} - 1 \right) - I_{02} \left(e^{\frac{V+IR_s}{n_s V_{t2}}} - 1 \right) - \frac{V+IR_s}{R_{sh}} \quad (2.18)$$

2.1.4 Rangkaian Sel *Photovoltaic* Tiga Dioda

Pendekatan pertama untuk mengetahui model matematis sel *photovoltaic* salah satunya didapat melalui rangkaian sel *photovoltaic* model tiga dioda sebagai berikut:



Gambar 2. 5 Rangkaian Sel Photovoltaic Model Tiga Dioda
Sumber: [24]

Hubungan antara tegangan dan arus yang keluar dapat dimodelkan sebagai berikut:

$$I = I_{ph} - I_{D1} - I_{D2} - I_{D3} - I_{sh} \quad (2.19)$$

Atau untuk arus *output* PV dapat dihitung sebagai berikut:

$$I = I_{ph} - I_{01} \left(e^{\frac{V+IR_s}{n_s V_{t1}} - 1} \right) - I_{02} \left(e^{\frac{V+IR_s}{n_s V_{t2}} - 1} \right) - I_{03} \left(e^{\frac{V+IR_s}{n_s V_{t3}} - 1} \right) - \frac{V+IR_s}{R_{sh}} \quad (2.20)$$

2.2 Particle Swarm Optimization (PSO)

Particle Swarm Optimization (PSO) merupakan suatu metode optimisasi yang termasuk dalam *metaheuristic algorithm* suatu algoritma yang dikembangkan berdasarkan kecerdasan dari *swarm* yang terinspirasi dari tingkah laku sekumpulan burung, sekumpulan ikan, dan sekumpulan lebah [21] [25]. Pada algoritma ini, beberapa *agent* yang koperatif akan bertukar informasi yang didapatkan selama proses pencarian. Setiap agent atau yang disebut partikel mengikuti dua aturan sederhana yaitu, mengikuti partikel yang bekerja baik dan bergerak menuju posisi terbaik yang ditemukan oleh partikel tersebut. Dengan aturan sederhana tersebut, maka setiap partikel akan mencapai solusi yang optimal atau mendekati nilai yang maksimal [26]. PSO menggunakan partikel untuk mendapatkan solusi yang terbaik.

Metode ini pertama kali dikenalkan oleh Eberhart dan Kennedy di tahun 1995. PSO memiliki kemampuan kovergensi yang lebih cepat pada beberapa permasalahan [27] [28]. Metode ini melibatkan dua variabel yang yakni kecepatan dan posisi. Setiap partikel dalam grup akan bergerak menuju suatu posisi dengan kecepatan terbaik sebelumnya (Pbest) dan kecepatan terbaik partikel lain (gbest). Pada ruang pencarian n- dimensi, $X_i=(x_1, x_2, x_3, \dots, x_n)$, pada *input* ditentukan nilai X_i dan V_i serta fungsi objektifnya [29].

$$V_i(i+1)=\omega V_i(i)+C_1\phi_1(Pbest-X_i(i))+C_2\phi_2(gbest-X_i(i)) \quad (2.21)$$

$$X_i(i+1)=X_i(i)+V_i(i+1) \quad (2.22)$$

c_1 dan c_2 yang disebut sebagai *acceleration coefficient* serta w yang disebut sebagai *inertia weight* mempengaruhi eksplorasi lokasi dan pencapaian solusi minimum global [30].

2.3 Firefly Algorithm (FA)

Firefly algorithm(FA) pertama kali diperkenalkan oleh Yang di tahun 2008. FA merupakan algoritma *metaheuristic* yang terinspirasi dari perilaku kunang-kunang(firefly). Terdapat tiga aturan utama yang berlaku pada algoritma ini, antara lain:

1. Kunang-kunang merupakan hewan yang memiliki kelamin seragam
2. Arah gerak kunang-kunang menuju kecerahan yang tinggi, jika kecerahan sama maka akan bergerak secara acak. Jadi dapat dikatakan jika ketertarikan sebanding dengan kecerahan dan berbanding terbalik dengan jarak
3. Fungsi objektif berhubungan dengan kecerahan kunang-kunang [25] [31] dinyatakan dalam persamaan 2.23

$$\beta = \beta_{min} + (\beta_0 - \beta_{min}) e^{(-\gamma r^2)} \quad (2.23)$$

Dimana r merupakan jarak antara dua kunang-kunang, β_0 merupakan ketertarikan saat $r=0$, β merupakan ketertarikan saat

berjarak sejauh r , β_{\min} merupakan ketertarikan saat nilai r mendekati tak hingga, dan γ merupakan koefisien serapan cahaya [32]. Atau persamaan tersebut dapat disederhanakan menjadi [33]:

$$\beta = \beta_0 e^{(-\gamma r^2)} \quad (2.24)$$

Untuk mengetahui jarak kedua kunang-kunang(i dan j) dalam bidang Kartesian didapat melalui persamaan 2.25 berikut:

$$r_{ij} = x_i - x_j = \sqrt{\sum_{k=1}^d (x_{i,k} - x_{j,k})^2} \quad (2.25)$$

Sedangkan pergerakan ditentukan melalui persamaan 2.26 berikut [32]:

$$x_{ij} = x_i + \beta(x_i - x_j) + \alpha \epsilon_i \quad (2.26)$$

Dengan memasukkan persamaan 2.24 kedalam persamaan 2.26 didapatkan perpindahan menjadi persamaan 2.27 berikut:

$$x_{ij} = x_i + \beta_0 e^{(-\gamma r^2)} (x_i - x_j) + \alpha \epsilon_i \quad (2.27)$$

Dimana β merupakan ketertarikan, α merupakan parameter penentu arah yang bergantung terhadap waktu. Nilainya akan berkurang dengan bertambahnya waktu mendekati nol. ϵ_i merupakan vektor nilai acak dari variabel bebas acak dengan rentang -0,5 sampai 0,5 [32]. Dari persamaan 2.27 dapat diketahui bahwa terdapat tiga suku yang masing-masing menunjukkan lokasi kunang-kunang di suku pertama, persamaan ketertarikan pada suku kedua, dan pada suku ketiga menunjukkan vektor nilai acak. Sehingga untuk pergerakan kunang-kunang dinyatakan sebagai:

$$x_{ij} = x_i + \alpha \left(\text{rand} - \frac{1}{2} \right) \quad (2.28)$$

Nilai α merupakan nilai acak yang dinyatakan pada rentang nilai antara 0 hingga 1 [33]. Berbeda dengan PSO dan *Genetic Algorithm*, *Firefly Algorithm* tidak melibatkan kecepatan partikel

dalam pencarian solusi minimum globalnya serta tidak memiliki memori terhadap posisi terbaik tiap partikelnya(pbest) [30].

2.4 Particle Swarm Modified Firefly Algorithm (PSMFA)

Pada metode ini PSO digunakan untuk meningkatkan konvergensi dari FA dan untuk menghindari kondisi optimal di lokal minimum [33]. Dengan kemampuan konvergensi yang cepat tersebut, PSO digunakan untuk mencari global minimum sedangkan FA untuk mendapatkan lokal minimum. Modifikasi suatu algoritma dapat dilakukan dengan melakukan beberapa hal seperti sebagai berikut:

1. Pengubahan parameter

Ada beberapa parameter di FA maupun PSO yang mana mempengaruhi kinerja kedua metode tersebut. Pada FA, nilai alfa yang besar menjadikan kemampuan eksplorasi yang optimal sedangkan nilai alfa yang kecil memungkinkan eksploitasi yang optimal. Sedangkan w pada PSO yang besar baik untuk kemampuan mendapatkan solusi global, sedangkan nilai w yang kecil baik untuk kemampuan pencarian lokal.

2. Pengubahan persamaan

Persamaan yang digunakan pada PSO dan FA mudah diaplikasikan tapi cenderung terjadi kesalahan dalam konvergensi ketika dilakukan optimisasi pada permasalahan kompleks. Seperti metode yang diajukan oleh Veeramachaneni yakni *fitness-distance-ratio* (FDR) dengan jarak Euclidian serta fungsi objektif yang bergantung pada kriteria contoh pemilihan untuk spesifik partikel.

3. Strategi hibridisasi

Setiap metode optimisasi memiliki kelebihan yang berbeda sehingga menggabungkannya menjadi salah satu cara untuk mendapatkan kelebihan dari beberapa metode yang digabungkan dalam memecahkan persoalan yang kompleks. Penggabungan PSO dan FA ini diharapkan akan memiliki kemampuan konvergensi yang lebih cepat dan kualitas solusi yang lebih tinggi.

Dalam sebuah paper Ibrahim Berkani Aydilek digunakan sebuah persamaan yang memodifikasi *weight inertia* dengan persamaan 2.29 yang mana telah dilakukan pembuktian sebelumnya di paper yang dibuat oleh A. Nickabadi, M.M. Ebadzadeh, dan R. Safabakhsh adalah sebagai berikut [34]:

$$w = w_i - \left(\frac{(w_i - w_f)}{iteration_{max}} \right) \times iteration \quad (2.29)$$

Sedangkan untuk mendapatkan posisi dan kecepatan didapatkan dengan persamaan berikut [30]:

$$X_i(t+1) = X_i(t) + \beta_0 e^{(-\gamma r_{ij}^2)} (X_i(t) - gbest^{t-1}) + \alpha \epsilon_i \quad (2.30)$$

$$V_i(t+1) = X_i(t+1) - X_{i_temp} \quad (2.31)$$

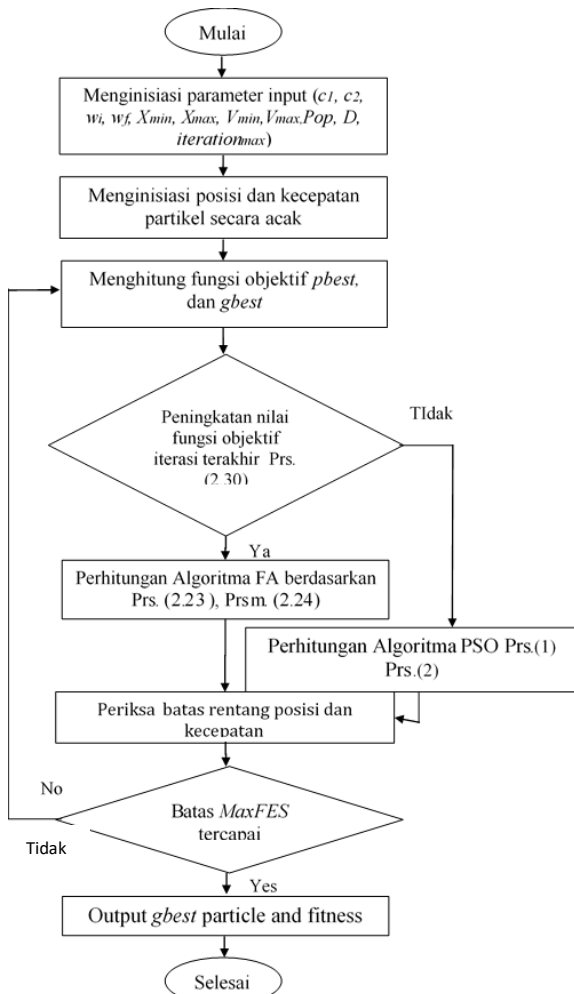
Gambar 2.7 menunjukkan diagram alir dari metode PSMFA yang dibagi menjadi 5 tahapan. Tahap pertama adalah PSMFA *Initialitation*. Pada tahap ini parameter yang diinisialisasi antara lain populasi, maksimum iterasi, *acceleration coefficient* ($c1$ dan $c2$), *inertia weight* (w), *initial value of linier decreasing inertia weight* (w_i), *final value of linier decreasing inertia weight* (w_f), kecepatan maksimum dan minimum, *absorption coefficient* (γ), intensitas saat jarak bernilai 0 (β_0). Tahap kedua dilakukan inisialisasi posisi secara acak dan kecepatan awal. Pada tahap ketiga dilakukan perhitungan dari fungsi objektif, $pbest$, dan $gbest$. Terdapat dua kondisi bernilai benar apabila nilai dari fungsi objektif lebih kecil sama dengan $gbest$ dan bernilai salah apabila fungsi objektif pada lebih besar dari $gbest$, yang dinyatakan dalam fungsi sebagai berikut:

$$f(i, t) = \begin{cases} \text{true, if } fitness(particle_i^t) \leq gbest^{t-1} \\ \text{false, if } fitness(particle_i^t) > gbest^{t-1} \end{cases} \quad (2.32)$$

Apabila bernilai salah maka dilakukan perhitungan kecepatan dan posisi sesuai persamaan 2.21 dan 2.22, sedangkan jika bernilai

benar maka dilakukan perhitungan untuk nilai posisi dan kecepatan seperti pada persamaan 2.30 dan 2.31.

Berikut merupakan diagram alir PSMFA.



Gambar 2. 6 Diagram Alir PSMFA

Sumber: [35]

Tahap keempat dilakukan pemeriksaan bahwa posisi dan kecepatan sesuai dengan batas yang ditentukan. Untuk posisi ditentukan dengan batas atas dan batas bawah variabel sedangkan untuk kecepatan ditentukan dengan kecepatan minimal dan kecepatan maksimal. Selanjutnya terdapat kondisi jika MAXfes belum tercapai maka dilakukan perhitungan fungsi objektif, pbest, dan gbest di tahap ketiga, apabila sudah tercapai maka hasil akhir berupa nilai minimum global dari fungsi objektif

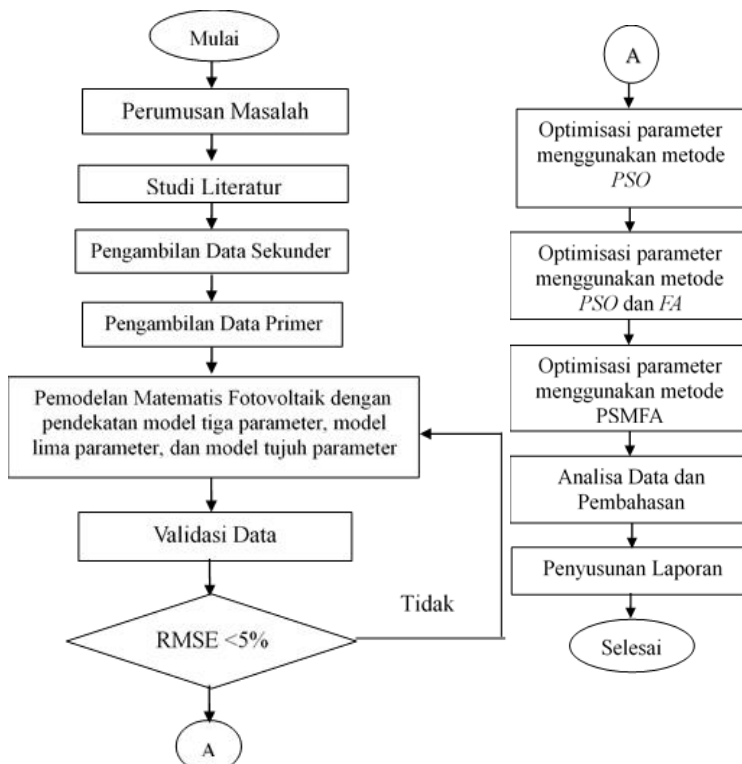
BAB III

METODOLOGI PENELITIAN

Metodologi penelitian tentang tahapan dalam melaksanakan penelitian tugas akhir ini, penjelasan tahapan, dan parameter yang terkait dengan tugas akhir ini.

3.1 Diagram Alir Peneltian

Dalam penelitian tugas akhir ini, dilakukan dalam beberapa tahapan yang digambarkan dalam suatu diagram alir. Berikut merupakan diagaram alir pengerjaan tugas akhir:



Gambar 3. 1 Diagram Alir Penelitian

Berikut merupakan penjelasan dari diagram alir penelitian:

3.1.1 Perumusan Masalah

Dalam mengerjakan tugas akhir ini terdapat beberapa rumusan masalah yang mana dari proses tahapan yang dilalui dapat terjawab. Rumusan masalah yang ada antara lain tentang nilai parameter dari modul PV berdasarkan model tiga parameter, model lima parameter, dan model tujuh parameter, hasil optimisasi menggunakan metode PSMFA, dan hasil perbandingan optimisasi PSMFA dengan PSO dan FA.

3.1.2 Studi Literatur

Studi literatur dibutuhkan untuk menunjang pengetahuan penulis terhadap topik tugas akhir yang dikerjakan baik dari *handbook*, jurnal dan laman internet. Beberapa pengetahuan mengenai PV, metode ekstraksi parameter yang sudah dipublikasi, metode optimisasi PSO, metode optimisasi FA, dan metode optimisasi gabungan antara PSO dan FA.

3.1.3 Pengambilan Data Sekunder

Data sekunder yang diperlukan pada tahapan ekstraksi parameter modul PV adalah *datasheet* modul PV yang digunakan dengan nama dagang ST-Solar.

Tabel 3. 1 Spesifikasi Modul PV

Kategori	ST solar
<i>Maximum Power at STC (P_{mpp})</i>	250 W
<i>Maximum Power Voltage at STC (V_{mpp})</i>	30 V
<i>Maximum Power Current at STC (I_{MPP})</i>	8.34 A
<i>Open Circuit Voltage (Voc)</i>	36.8 V
<i>Short Circuit Current at STC</i>	9 A
<i>Temperatur Coeff. of Short Circuit Current (μ)</i>	0.00053 A/ $^{\circ}$ C
<i>Temperatur Coeff. of Short Circuit Voltage (Φ)</i>	-0.0036 V/ $^{\circ}$ C
<i>PV Internal Resistance (Rpv)</i>	0.15603 Ohm

3.1.4 Pengambilan Data Primer

Selain dibutuhkannya data sekunder berupa *datasheet* modul PV dalam proses penggerjaan tahapan ekstraksi diperlukan variabel *input* berupa temperatur, iradiansi, kecepatan udara, dan kelembapan. Variabel adalah suatu besaran fisis dari lingkungan yang memberikan pengaruh terhadap *output* PV. Selain keempat variabel *input*, dilakukan pula proses pengukuran *output* modul PV berupa arus dan tegangan. Alat ukur yang digunakan antara lain termometer inframerah untuk mengukur temperatur modul PV, *pyranometer* untuk mengukur iradiansi, anemometer untuk mengukur kecepatan angin, dan RHmeter untuk mengukur kelembapan.



Gambar 3. 2 Set-up Alat

Pengambilan data primer dilakukan di Departemen Teknik Fisika, Fakultas Teknologi Industri, ITS. Pengambilan data dilakukan pada tanggal 27 Maret 2019 hingga 10 April 2019 pukul 07.00 WIB hingga 17.00 WIB dengan interval pengambilan data satu jam. Data lampiran dapat dilihat pada Lampiran 1.

3.1.5 Pemodelan Matematis

Pemodelan matematis dilakukan dengan empat pendekatan, yakni pendekatan tiga parameter, lima parameter, tujuh parameter, dan sembilan parameter. Parameter merupakan suatu nilai yang menyatakan kondisi dari suatu objek yang diamati. Pemodelan dengan tiga parameter dilakukan untuk mengetahui besarnya nilai

ideality factor diode (A), *photocurrent* (I_{ph}), dan arus saturasi (I_o). Pemodelan dengan lima parameter dilakukan untuk mengetahui besarnya nilai *ideality factor diode* (A), *photocurrent* (I_{ph}), arus saturasi (I_o), hambatan seri (R_s), dan *parallel resistance* (R_{sh}). Pemodelan dengan tujuh parameter dilakukan untuk mengetahui besarnya nilai *ideality factor diode* (A) pertama dan kedua, *photocurrent* (I_{ph}), arus saturasi (I_o) pertama dan kedua, hambatan seri(R_s), dan *parallel resistant* (R_{sh}). Pemodelan dengan sembilan parameter dilakukan untuk mengetahui besarnya nilai *ideality factor diode* (A₁) pertama dan *ideality factor diode* (A₂) kedua, *photocurrent* (I_{ph}), arus saturasi (I_{o1}) pertama dan arus saturasi (I_{o2}) kedua, hambatan seri (R_s), dan *paralel resistant* (R_{sh}).

3.1.6 Validasi Data

Proses validasi data dilakukan simulasi dengan model modul PV di Matlab 16a dengan nilai *input* yang sama maka didapatkan besar arus dan tegangan hasil simulasi. Hasil perhitungan dibandingkan dengan hasil simulasi serta hasil simulasi dibandingkan pula dengan hasil pengukuran menggunakan modul PV *fix* dan menggunakan *tracker*. Dari perbandingan ini didapatkan nilai *error*. Terdapat acuan nilai *error* yang digunakan yakni *Root Mean Square Error* (RMSE). Dimana *error* tersebut nilainya harus lebih kecil daripada 5% untuk mendapatkan tingkat kepercayaan 95%

3.1.7 Optimisasi Menggunakan PSO

Ketiga metode optimisasi yang digunakan memiliki nilai iterasi maksimal sebesar 50 dan jumlah populasi sebesar 20. Metode optimisasi menggunakan PSO membutuhkan beberapa parameter seperti tercantum pada Tabel 3.2 sebagai berikut:

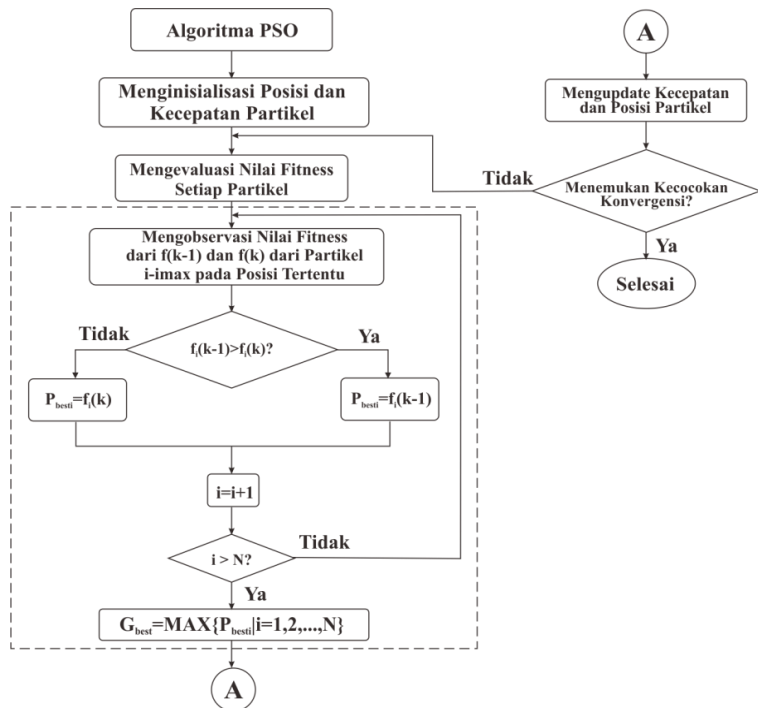
Tabel 3. 2 Parameter PSO

Parameter	Simbol	Nilai
<i>Inertia Weight</i>	w	1
Inertia Weight Damping Ratio	wdamp	0.99
Personal Learning Coefficient	c1	2
Global Learning Coefficient	c2	2

Tabel 3.2 Lanjutan

Parameter	Simbol	Nilai
Initialization Velocity	Vo	0
Maximum Velocity	VelMax	=0.1*(VarMAX-VarMin)
Minimum Velocity	VelMin	-VelMax

Untuk mencari posisi dan kecepatan partikel didapat melalui persamaan 2.21 dan 2.22. Berikut diagram alir PSO:

**Gambar 3. 3 Diagram Alir PSO**

Sumber: [36]

Metode PSO akan dibagi menjadi 5 tahapan. Tahap pertama adalah *PSO Initialization*. Pada tahap ini *particle* akan diinisiasi

secara *random* mengikuti distribusi pada ruang pencarian (*search space*). Parameter- parameter yang ditentukan antara lain adalah jumlah partikel, koefisien *cognitive*, koefisien *social*, bobot inersia maksimum dan bobot inersia minimum, serta posisi awal dan kecepatan awal partikel. Kecepatan awal ditentukan memiliki nilai 0. Tahap kedua yaitu *Fitness Evaluation* dengan cara mengevaluasi nilai *fitness* dari setiap partikel.

Tahap ketiga merupakan *update individual and Global Best Data* dengan cara membandingkan perhitungan nilai *fitness* yang baru dengan nilai *fitness* yang sebelumnya dan mengganti P_{best} dan G_{best} sesuai dengan nilai *fitness* yang ditunjukkan. Apabila nilai *fitness* yang muncul lebih kecil daripada nilai *fitness* sebelumnya, maka nilai P_{best} dan G_{best} akan diperbarui, namun apabila nilai *fitness* lebih besar dari nilai sebelumnya maka akan dilanjutkan dengan melakukan iterasi berikutnya. Tahap keempat adalah memperbarui kecepatan dan posisi setiap partikel menggunakan persamaan 5 dan persamaan 6 sesuai dengan nilai P_{best} dan G_{best} yang dihasilkan oleh fungsi *Fitness* yang paling kecil. Dan tahap terakhir adalah *Convergence Determination* dengan cara mengecheck kriteria dari *convergence*. Terdapat dua konvergensi yang digunakan, yaitu apabila kecepatan dari semua partikel lebih kecil daripada thereshold atau perhitungan telah sampai pada iterasi maksimum [36].

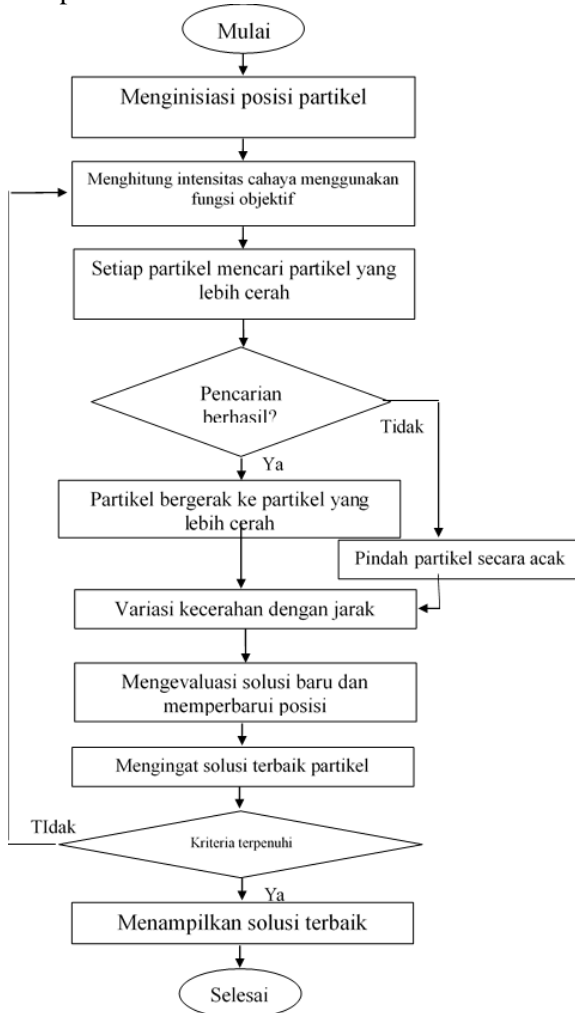
3.1.8 Optimisasi Menggunakan FA

Diagram alir FA dapat dilihat pada gambar 3.2. Metode optimisasi menggunakan FA membutuhkan beberapa parameter seperti tercantum pada Tabel 3.3 sebagai berikut:

Tabel 3. 3 Parameter FA

Parameter	Simbol	Nilai
<i>Absorption Coefficient</i>	γ	1
<i>Light Intencity</i>	β_0	1
Alpha	α	0.2

Untuk mencari jarak dan posisi partikel didapat dengan memasukkan rumus pada persamaan 2.25 dan 2.27. Gambar 3.3 merupakan diagram alir dari algoritma FA. Metode FA akan dibagi menjadi 5 tahapan.



Gambar 3.4 Diagram Alir Firefly Algorithm

Sumber : [34]

Tahap pertama adalah menginisiasi posisi dari partikel dilakukan dengan membuat lokasi partikel dengan acak mengikuti distribusi pada ruang pencarian (*search space*). Parameter-parameter yang ditentukan antara lain adalah jumlah partikel, koefisien serapan, insensitas awal, dan tingkat keacakan. Nilai parameter tersebut dapat dilihat pada Tabel 3.3. Tahap kedua yaitu menghitung fungsi objektif dengan cara mengevaluasi nilai *fitness* dari setiap partikel. Tahap ketiga merupakan tahapan dimana setiap partikel mencari partikel yang lebih cerah daripadanya, dengan cara membandingkan perhitungan nilai *fitness* yang baru dengan nilai *fitness* yang sebelumnya dan mengganti P_{best} dan G_{best} sesuai dengan nilai *fitness* yang ditunjukkan. Apabila nilai *fiteness* yang muncul lebih kecil daripada nilai *fitness* sebelumnya, maka nilai P_{best} dan G_{best} akan diperbarui, jika lebih besar dari nilai sebelumnya maka akan dilanjutkan dengan melakukan iterasi

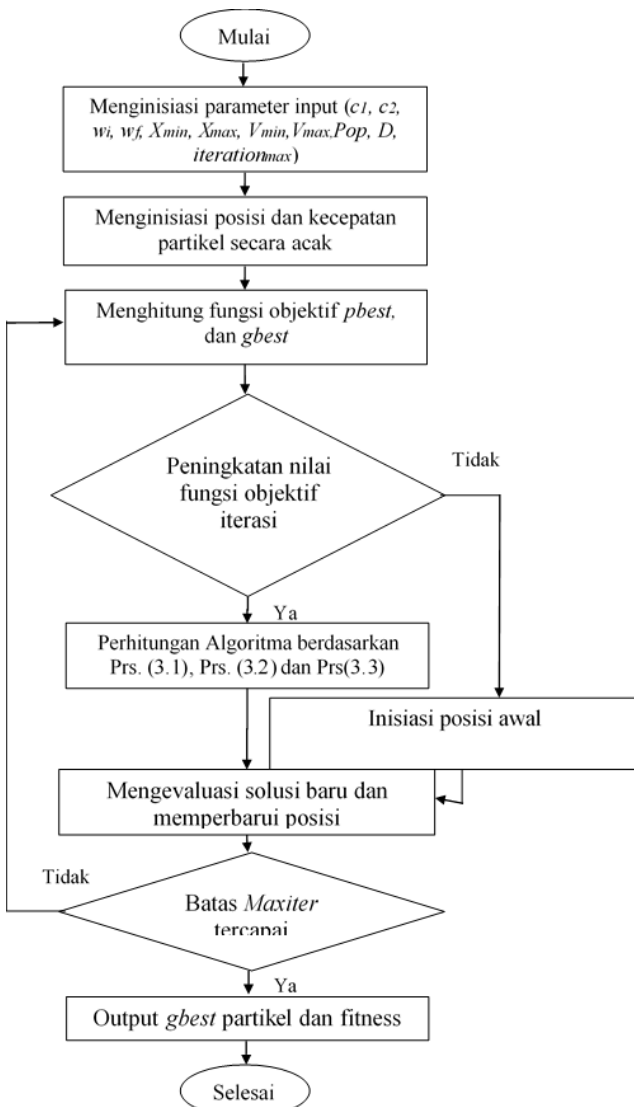
3.1.9 Optimisasi Menggunakan PSMFA

Parameter yang digunakan untuk metode PSMFA tercantum pada Tabel 3.4 berikut:

Tabel 3. 4 Parameter PSMFA

Parameter	Simbol	Nilai
<i>Inertia Weight</i>	w	1
Initial value of linier decreasing inertia weight	Wi	0.9
Final value of linier decreasing inertia weight	wf	0.5
Personal Learning Coefficient	c1	2
Global Learning Coefficient	c2	2
Initialization Velocity	Vo	0
Maximum Velocity	VelMax	=0.1*(VarMAX-VarMin)
Minimum Velocity	VelMin	-VelMax
<i>Absorption Coefficient</i>	γ	1
<i>Light Intencity</i>	β_0	1
Alpha	α	0.2

Diagram alir PSMFA dapat dilihat pada gambar 3.4.



Gambar 3. 5 Diagram Alir PSMFA

Metode PSMFA akan dibagi menjadi 5 tahapan. Tahap pertama adalah menginisiasi posisi dari partikel dilakukan dengan membuat lokasi partikel dengan acak mengikuti distribusi pada ruang pencarian (*search space*). Parameter-parameter yang ditentukan antara lain adalah jumlah partikel, koefisien serapan, insensitas awal, dan tingkat keacakan, koefisien *cognitive*, koefisien *social*, bobot inersia maksimum dan bobot inersia minimum, serta posisi dan kecepatan awal partikel. Kecepatan awal masih ditentukan dengan nilai nol. Nilai parameter tersebut dapat dilihat pada Tabel 3.3. Tahap kedua yaitu menghitung fungsi objektif dengan cara mengevaluasi nilai *fitness* dari setiap partikel. Tahap ketiga merupakan tahapan dimana setiap partikel mencari partikel yang lebih cerah daripadanya, dengan cara membandingkan perhitungan nilai *fitness* yang baru dengan nilai *fitness* yang sebelumnya dan mengganti P_{best} dan G_{best} sesuai dengan nilai *fitness* yang ditunjukkan. Apabila nilai *fiteness* yang muncul lebih kecil daripada nilai *fitness* sebelumnya, maka nilai P_{best} dan G_{best} akan diperbarui, jika lebih besar dari nilai sebelumnya maka akan dilanjutkan dengan melakukan iterasi berikutnya.

Untuk mencari modifikasi *weight* inertia, posisi, dan kecepatan partikel didapat dengan memasukkan rumus pada persamaan 3.1, 3.2, dan 3.3. Rumus yang digunakan bertujuan mencari jarak kartesian ketika PSO dan FA dikombinasi dapat dilakukan dengan menghitung persamaan berikut [33]:

$$rpx = |pbest - X_i(t)| \quad (3.1)$$

$$rpx = |gbest - X_i(t)| \quad (3.2)$$

Sedangkan untuk mendapatkan posisi didapat dengan cara sebagai berikut:

$$X_i(i+1) = \omega X_i(i) + C_1 e^{-rpx^2} (Pbest - X_i(i)) + C_1 e^{-rgx^2} (gbest - X_i(i)) + \alpha \left(\gamma - \frac{1}{2} \right) \quad (3.3)$$

3.2 Delapan Parameter

Selain proses ekstraksi tiga parameter, lima parameter, tujuh parameter dan sembilan parameter terdapat satu parameter lain yang dapat diekstraksi atau dikatakan sebagai parameter kedelapan yang dapat diekstraksi, yakni *short circuit current*. Untuk mengekstraksi *short circuit current* dilakukan dengan menghitung melalui persamaan berikut [22]:

Persamaan arus *short circuit* tiga adalah sebagai berikut:

$$I_{sc} = I_o \left[\exp \left[\frac{qV_{ocn}}{A_1 k N_s T} \right] - \exp \left[\frac{qI_{scn} R_s}{A_1 k N_s T} \right] \right] \quad (3.4)$$

Persamaan arus *short circuit* lima adalah sebagai berikut:

$$I_{sc} = I_o \left[\exp \left[\frac{qV_{ocn}}{A_1 k N_s T} \right] - \exp \left[\frac{qI_{scn} R_s}{A_1 k N_s T} \right] \right] + \frac{V_{ocn} - I_{scn} R_s}{R_{sh}} \quad (3.5)$$

Untuk tujuh parameter menggunakan persamaan:

$$I_{sc} = I_{o1} \left[\exp \left[\frac{qV_{ocn}}{A_1 k N_s T} \right] - \exp \left[\frac{qI_{scn} R_s}{A_1 k N_s T} \right] \right] + I_{o2} \left[\exp \left[\frac{qV_{ocn}}{A_1 k N_s T} \right] - \exp \left[\frac{qI_{scn} R_s}{A_1 k N_s T} \right] \right] + \frac{V_{ocn} - I_{scn} R_s}{R_{sh}} \quad (3.6)$$

Untuk tujuh parameter menggunakan persamaan:

$$I_{sc} = I_{o1} \left[\exp \left[\frac{qV_{ocn}}{A_1 k N_s T} \right] - \exp \left[\frac{qI_{scn} R_s}{A_1 k N_s T} \right] \right] + I_{o2} \left[\exp \left[\frac{qV_{ocn}}{A_1 k N_s T} \right] - \exp \left[\frac{qI_{scn} R_s}{A_1 k N_s T} \right] \right] + \frac{V_{ocn} - I_{scn} R_s}{R_{sh}} \quad (3.7)$$

Arus *short circuit* ini didapat ketika kondisi tegangan *open circuit* bernilai 0 V. Berdasarkan spesifikasi dari modul PV ST-So;ar pada Tabel 3.1 diketahui bahwa besar nilai dari arus *short*

circuit bernilai 9, sehingga untuk mengetahui bagaimana model pendekatan yang baik diantara tiga parameter, lima parameter, dan tujuh parameter dilakukan pengurangan antara hasil pemodelan dengan besar arus *short circuit* dari modul PV yakni 9 A. Kemudian dilakukan optimisasi menggunakan PSMFA untuk mengetahui hasil optimisasi yang didapatkan.

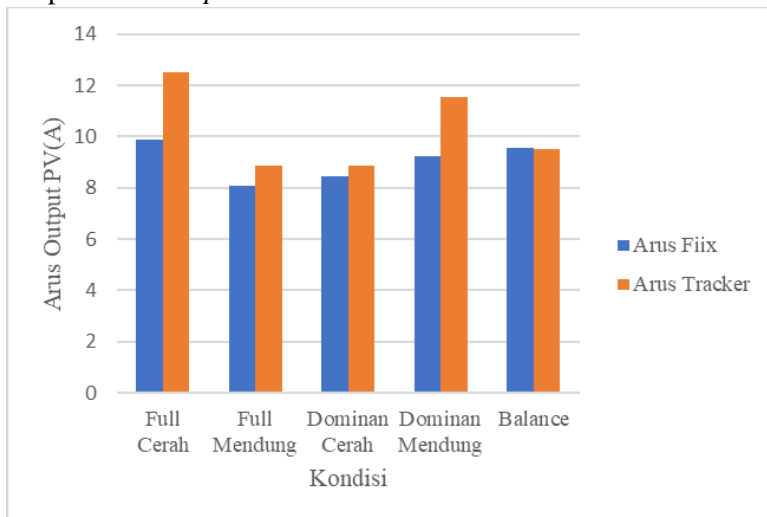
BAB IV

ANALISA DAN PEMBAHASAN

Analisa dan pembahasan berisi tentang perbandingan data *output PV* modul *fix* dengan *tracker*, data hasil simulasi ekstraksi dan optimisasi

4.1 Hasil Pengukuran Arus dan Tegangan

Pengambilan data primer dilakukan perbandingan *output* modul PV *fix* dengan modul PV yang dilengkapi *tracker* pada kelima kondisi ditunjukkan pada Gambar 4.1 dan 4.2. Arus *output* yang dihasilkan dari modul PV *fix* memiliki nilai yang lebih rendah daripada arus *output tracker*.

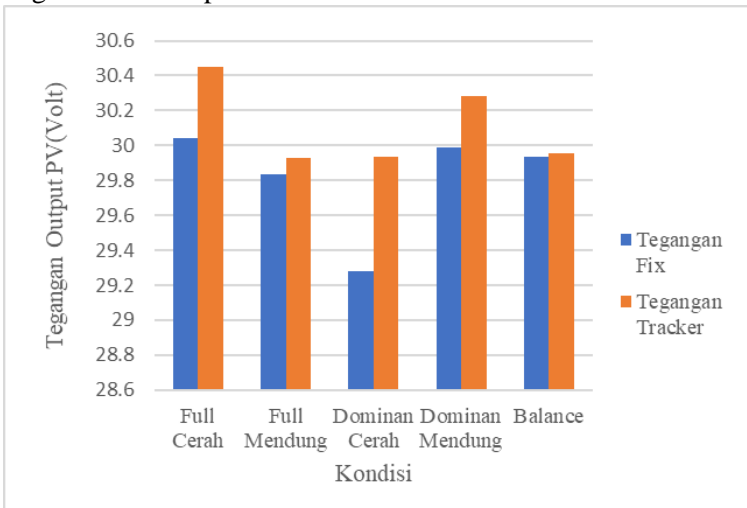


Gambar 4. 1 Perbandingan Hasil Arus PV Fix dan PV Menggunakan Tracker

Hal ini karena modul PV yang menggunakan *tracker* akan selalu tegak lurus dengan sinar matahari. Selisih antara keduanya yang paling besar pada kondisi *full* cerah dan *full* mendung yaitu sebesar 2.6373A dan 2.2765A. Kondisi dominan cerah dan kondisi

dominan mendung memiliki selisih sebesar 0.7901 A dan 0.4153 A Sedangkan kondisi *balance* terdapat perbedaan hasil karena arus *output* modul PV *fix* lebih tinggi daripada menggunakan *tracker* dengan selisih sebesar 0.0176 A.

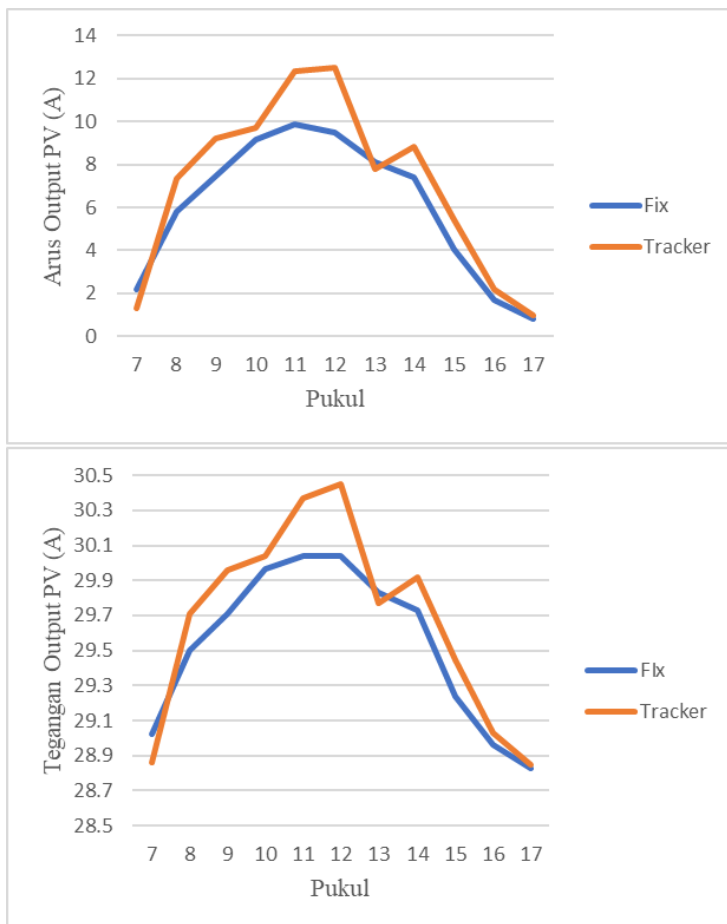
Berdasarkan teori seharusnya *output* modul PV menggunakan *tracker* akan menghasilkan *output* yang lebih besar. Hal ini disebabkan karena temperatur dan iradiansi modul pada saat *tracker* adalah sebesar 58.9 °C dan 1079.8 W/m² sedangkan menggunakan modul PV *fix* sebesar 62.5 °C dan 1040.2 W/m², adanya *input* temperatur yang lebih tinggi pada modul *fix* dan selisih iradiansi yang tidak terlalu besar menyebabkan hasil *output* berkebalikan daripada teori yang ada. Pada saat kondisi pengambilan data pun cuaca tidak menentu.



Gambar 4. 2 Perbandingan Hasil Tegangan PV *Fix* dan PV Menggunakan *Tracker*

Sedangkan tegangan *output* yang dihasilkan dari modul PV *fix* memiliki nilai yang lebih rendah daripada arus *output* *tracker*. Selisih antara keduanya bernilai besar saat kondisi dominan cerah pada pukul 11.00 WIB yaitu bernilai 0.6544 Volt kemudian *full*

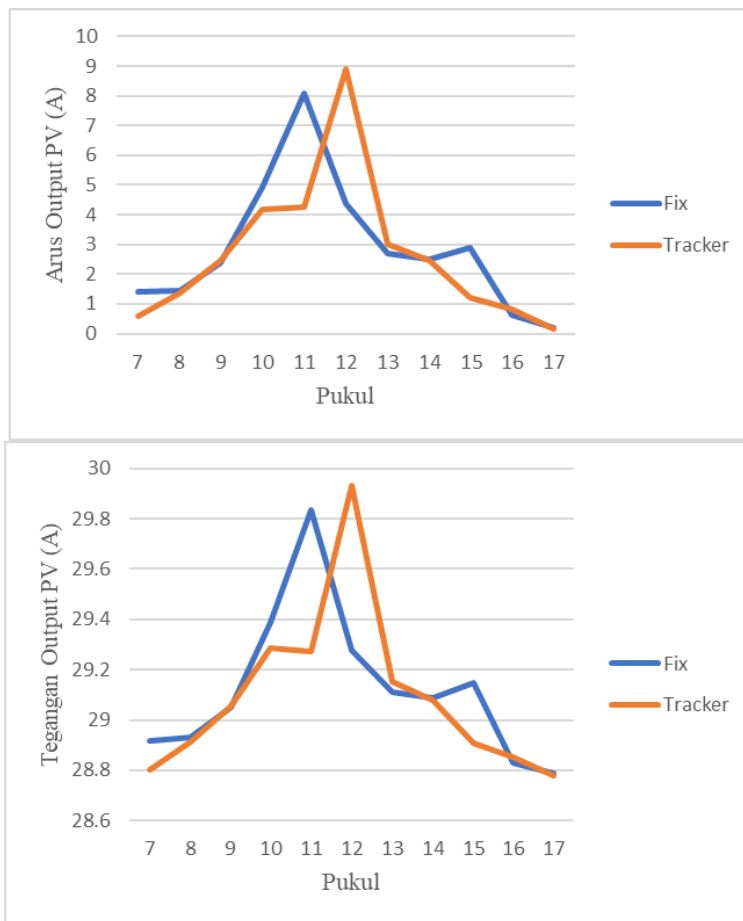
cerah sebesar 0.4062 Volt. Kondisi *full* mendung dan dominan mendung memiliki perbedaan sebesar 0.0981 Volt dan 0.2923 Volt. Sedangkan kondisi *balance* memiliki selisih paling kecil yakni sebesar 0.0217 Volt. Profil arus dan tegangann setiap kondisi dapat dilihat pada Gambar 4.3 sampai 4.7 dan Tabel pada Lampiran 1.



Gambar 4. 3 Arus dan Tegangann pada Kondisi Full Cerah

Puncak arus kondisi *full* cerah terjadi pukul 11.00 WIB yakni sebesar 9.89 A menggunakan modul PV *fix*, sedangkan untuk modul yang dilengkapi *tracker* sebesar 12.53 A terjadi pukul 12.00 WIB. Pada Gambar 4.3, arus *output* yang dihasilkan modul PV menggunakan *tracker* lebih tinggi daripada arus yang dihasilkan modul PV *fix*. Selain itu arus yang dihasilkan dari modul PV *fix* perubahan yang terjadi lebih teratur(menghasilkan grafik yang *smooth*) daripada profil arus *output* yang dihasilkan modul PV menggunakan *tracker*. Seperti halnya profil arus *output*, tegangann *outputnya* pun memiliki karakteristik yang sama dengan profil arus *output* secara keseluruhan. Tegangann *output* maksimal pada kondisi *full* cerah sebesar 30.04 Volt dicapai pukul 11.00 WIB dan 12.00 WIB menggunakan modul PV *fix* dan 30.45 Volt menggunakan modul PV yang dilengkapi dengan *tracker*.

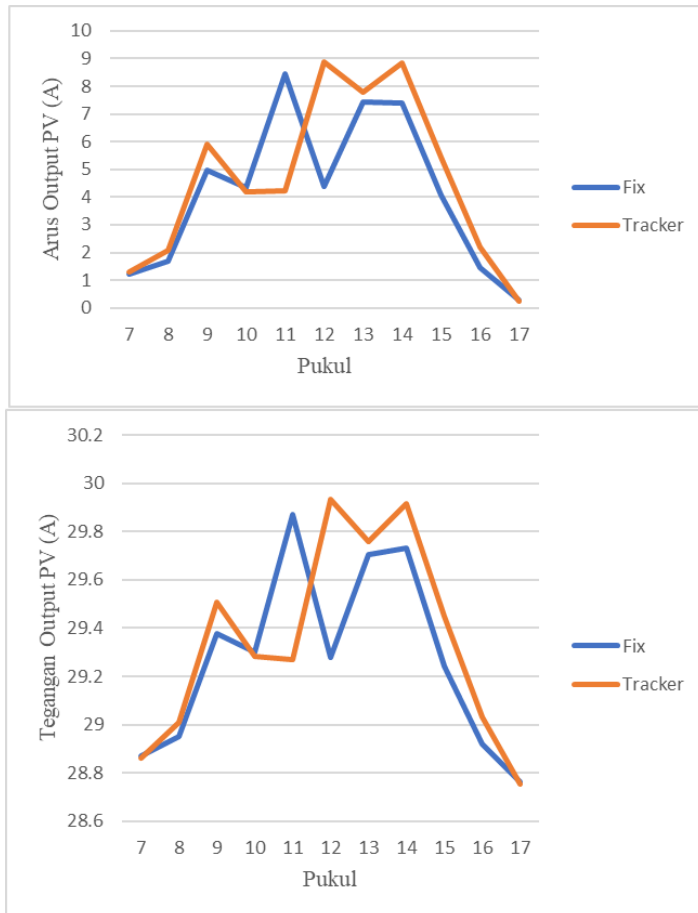
Berdasarkan Gambar 4.4 puncak arus kondisi *full* mendung terjadi pukul 11.00 WIB sebesar 8.092 A menggunakan modul PV *fix*, sedangkan modul yang dilengkapi *tracker* sebesar 8.8816 A terjadi pukul 12.00 WIB. Pada grafik profil arus secara keseluruhan, arus *output* yang dihasilkan modul PV menggunakan *tracker* dan arus *output* modul *fix* tampak acak, pukul 11.00 WIB modul *fix* memiliki arus *output* dua kali lebih besar dari pada arus dari modul fotovoltaik menggunakan *tracker*. Hal ini terjadi dikarenakan matahari tertutup oleh awan saat pengukuran menggunakan modul PV dilengkapi *tracker*. Namun arus yang dihasilkan dari modul PV *fix* maupun *tracker* tidak mengalami perubahan yang teratur setiap waktu. Seperti halnya profil arus *output*, tegangann *outputnya* memiliki karakteristik yang sama dengan profil arus *output* secara keseluruhan. Tegangann *output* maksimal kondisi *full* mendung sebesar 29.83 Volt dicapai saat pukul 11.00 WIB menggunakan modul PV *fix*, sedangkan modul PV yang dilengkapi dengan *tracker* menghasilkan tegangan maksimal pukul 12.00 WIB sebesar 29.93 Volt.



Gambar 4.4 Arus dan Tegangan pada Kondisi *Full* Mendung

Gambar 4.5 merupakan gambar grafik profil arus dan tegangan *output* PV kondisi dominan cerah, puncak arus terjadi pada pukul 11.00 WIB sebesar 8.466 A menggunakan modul PV *fix*, sedangkan modul yang dilengkapi *tracker* sebesar 8.8816 A terjadi pada pukul 12.00 WIB. Berdasarkan grafik profil arus secara keseluruhan, arus *output* yang dihasilkan modul PV

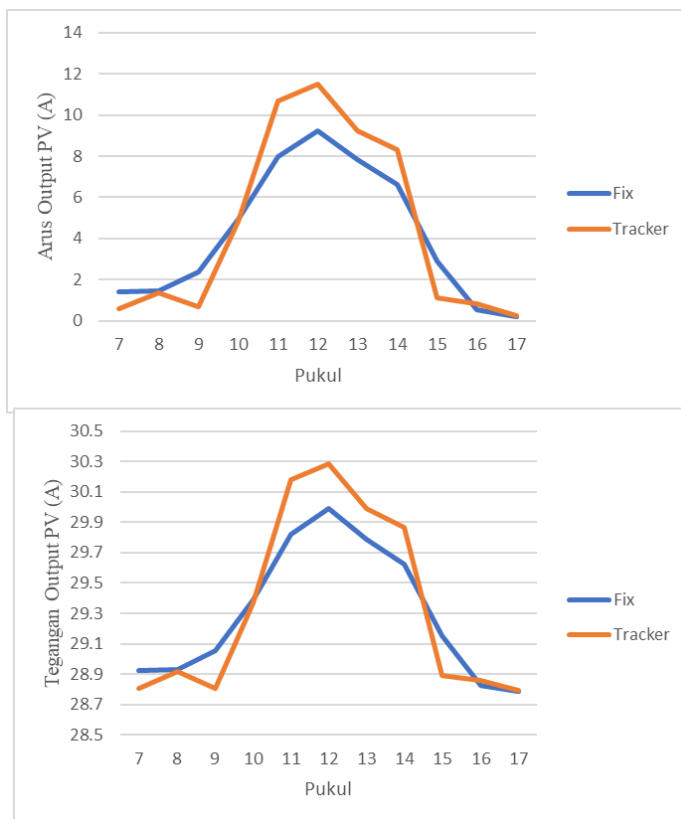
menggunakan *tracker* dan arus *output* modul *fix* tampak acak, pada pukul 11.00 WIB modul *fix* menghasilkan arus *output* dua kali lebih besar dari pada arus dari modul PV menggunakan *tracker*.



Gambar 4. 5 Arus dan Tegangan pada Kondisi Dominan Cerah

Hal ini terjadi karena matahari tertutup oleh awan saat pengukuran menggunakan modul PV dilengkapi *tracker*. Namun arus yang dihasilkan dari modul PV *fix* maupun *tracker* tidak

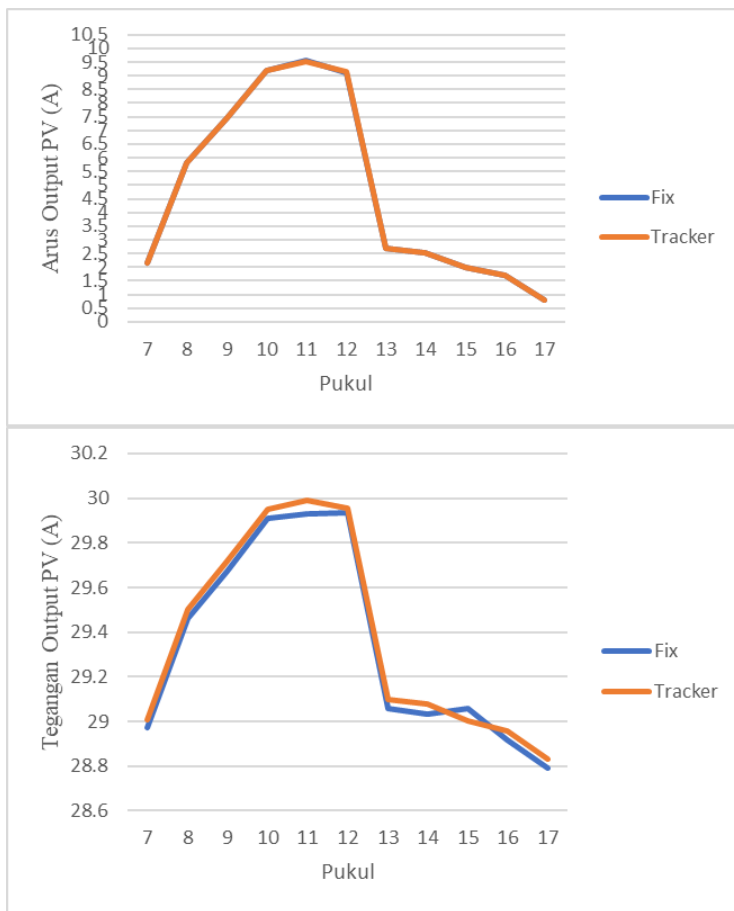
mengalami perubahan yang teratur setiap waktu. Seperti halnya profil arus *output*, tegangan *output*nya juga memiliki karakteristik yang sama dengan profil arus *output* secara keseluruhan. Tegangan *output* maksimal pada kondisi *full* mendung sebesar 29.87 Volt dicapai saat pukul 11.00 WIB menggunakan modul PV *fix* sedangkan modul PV yang dilengkapi dengan *tracker* menghasilkan tegangan maksimum pukul 12.00 WIB sebesar 29.935 Volt.



Gambar 4. 6 Arus dan Tegangann pada Kondisi Dominan Mendung

Pada Gambar 4.6 kondisi dominan mendung, puncak arus terjadi pukul 12.00 WIB sebesar 9.243 A menggunakan modul PV *fix*, sedangkan modul yang dilengkapi *tracker* sebesar 11.52 A terjadi pukul 12.00 WIB. Grafik profil arus secara keseluruhan, arus *output* yang dihasilkan modul PV menggunakan *tracker* lebih tinggi daripada arus yang dihasilkan modul PV *fix* kecuali pada pukul 09.00 WIB dan pukul 15.00 WIB, hal ini dapat dikarenakan awan yang menutupi matahari sehingga energi yang diterima oleh PV menurun. Selain itu arus yang dihasilkan dari modul PV *fix* perubahannya lebih teratur(menghasilkan grafik yang *smooth*) daripada profil arus *output* yang dihasilkan modul PV menggunakan *tracker*. Seperti halnya profil arus *output*, tegangan *output*nya juga memiliki karakteristik yang sama dengan profil arus *output* secara keseluruhan. Tegangan *output* maksimal kondisi *full cerah* sebesar 29.99 Volt dicapai saat pukul 12.00 WIB menggunakan modul PV *fix* dan 30.28 Volt untuk modul PV yang dilengkapi dengan *tracker*.

Gambar 4.7 merupakan gambar grafik arus dan tegangan output PV kondisi *balance*, puncak arus terjadi pukul 11.00 WIB sebesar 9.545 A menggunakan modul PV *fix*, sedangkan untuk modul yang dilengkapi *tracker* sebesar 9.528 A terjadi pukul 11.00 WIB. Berdasarkan grafik profil arus secara keseluruhan, arus *output* yang dihasilkan modul PV menggunakan *tracker* dan arus *output* modul *fix* tampak berimpit pukul 13.00 WIB menggunakan modul *fix*. Arus *output* mengalami penurunan dibandingkan pukul 12.00 WIB sebesar 6.41 A menggunakan modul *fix* dan 6.44 A menggunakan modul *tracker*. Hal ini karena matahari tertutup oleh awan saat pengukuran menggunakan modul PV dilengkapi *tracker*. Arus yang dihasilkan dari modul PV *fix* maupun *tracker* mengalami perubahannya yang teratur setiap waktu. Seperti halnya profil arus *output*, tegangan *output*nya juga memiliki karakteristik yang sama dengan profil arus *output* secara keseluruhan.



Gambar 4. 7 Arus dan Tegangann pada Kondisi *Balance*

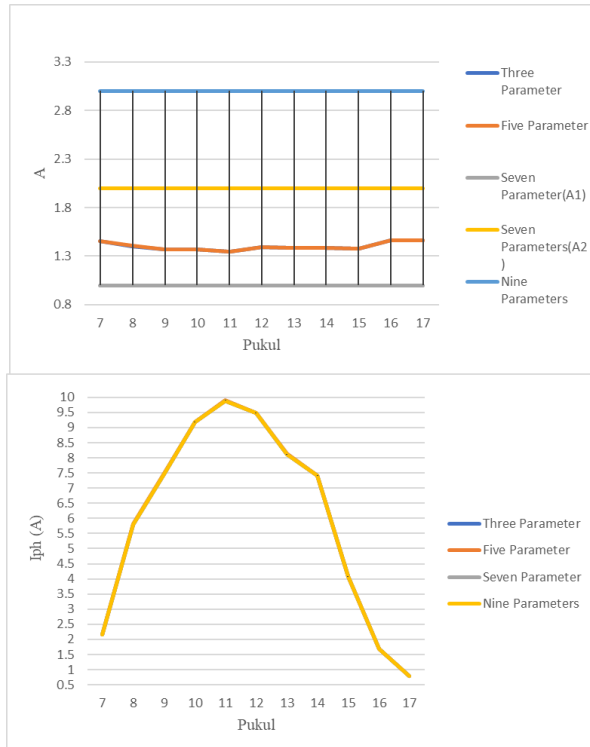
Pukul 13.00 WIB modul *fix* menghasilkan tegangann *output* yang mengalami penurunan dibandingkan pukul 12.00 WIB menggunakan modul *fix* dan *tracker*. Penurunan tersebut sebesar 0.876 Volt dan 0.8546 Volt. Tegangann *output* maksimal kondisi *balance* sebesar 29.93 Volt dicapai pukul 12.00 WIB menggunakan modul PV *fix* dan 29.988 Volt menggunakan modul PV yang dilengkapi dengan *tracker*.

4.2 Hasil Ekstraksi Parameter

Ekstraksi parameter lima kondisi menggunakan empat pendekatan yakni tiga parameter, lima parameter, tujuh parameter, dan Sembilan parameter dapat dilihat pada Gambar 4.8 sampai Gambar 4.17.

4.2.1 Kondisi *Full Cerah*

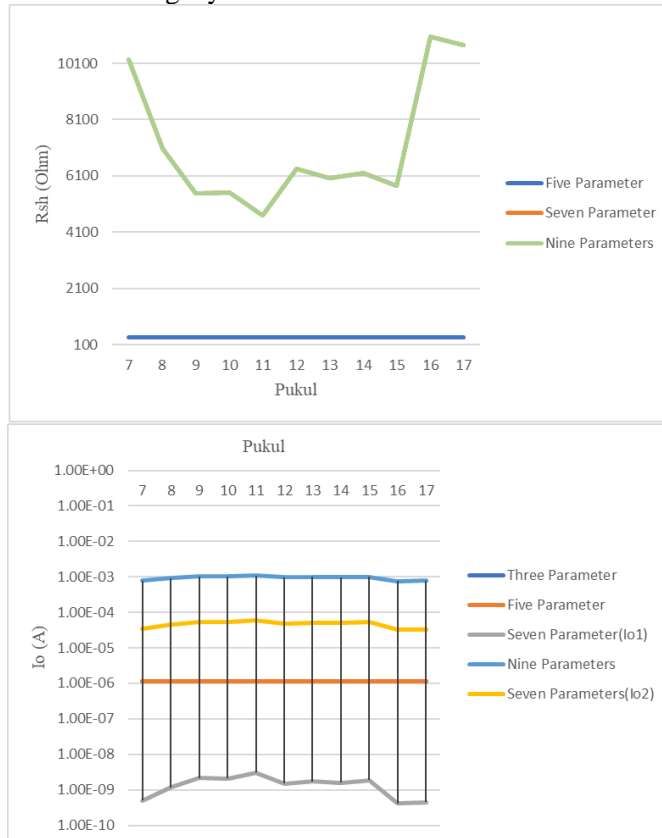
Ekstraksi parameter kondisi *full cerah* dapat dilihat pada Gambar 4.8 dan 4.9.



Gambar 4. 8 Ekstraksi Parameter A dan I_{ph} Kondisi *Full Cerah*

Ideality factor diode yang dilakukan pemodelan tiga parameter dan lima parameter menghasilkan nilai sama sebesar 1.466. Pemodelan tujuh parameter dan sembilan parameter menghasilkan A1 dan A2 sebesar 1 dan 2, sedangkan A3 sebesar

3. Parameter *photocurrent* menghasilkan nilai maksimum sebesar 9.89 A untuk semua parameter. Arus saturasi dioda tiga parameter dan lima parameter memiliki nilai sama sebesar 1.12×10^{-6} A, sedangkan tujuh parameter memiliki nilai paling tinggi 6.02×10^{-5} A dan 3.0524×10^{-9} A. Sedangkan sembilan parameter arus saturasi dioda ketiganya bernilai 0.00109 A.



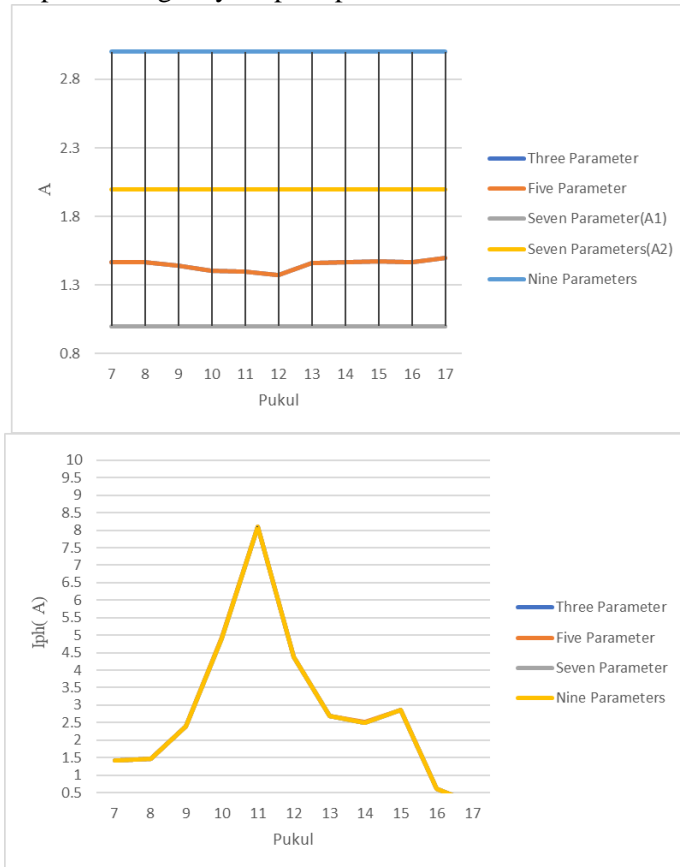
Gambar 4.9 Ekstraksi Parameter R_{sh} dan I_o Kondisi Full Cerah

Hambatan *paralel* lima parameter bernilai konstan 362.392 Ohm. Tujuh parameter bernilai 4691 Ohm sedangkan sembilan parameter bernilai 4690.64 Ohm. Ekstraksi parameter hambatan

seri(Rs) memiliki nilai yang konstan pada lima parameter, tujuh parameter, dan Sembilan parameter sebesar 0.09026 Ohm.

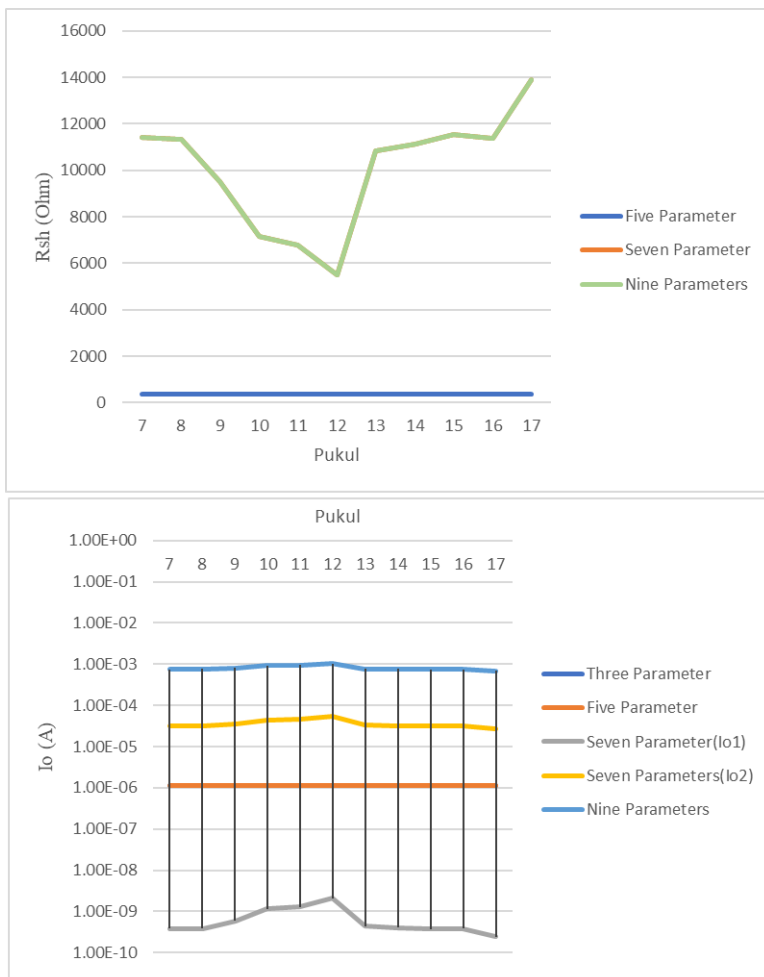
4.2.2 Kondisi *Full* Mendung

Ekstraksi parameter untuk kondisi *full* mendung dapat dilihat perbandingannya seperti pada Gambar 4.10 dan 4.11.



Gambar 4. 10 Ekstraksi Parameter A dan Iph Kondisi *Full* Mendung

Ideality factor diode tiga parameter dan lima parameter bernilai sama yakni sebesar 1.495. Sedangkan tujuh parameter dan sembilan parameter bernilai 1, 2, dan 3 untuk parameter A1, A2, dan A3.



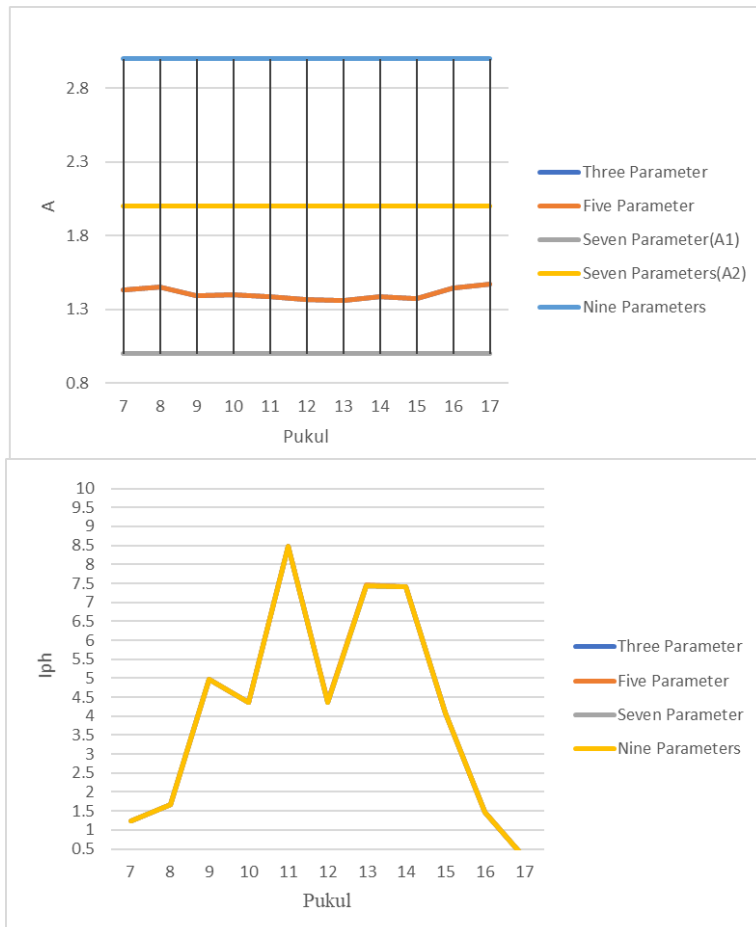
Gambar 4. 11 Ekstraksi Parameter R_{sh} dan I_o Kondisi *Full* Mendung

Ekstraksi parameter hambatan seri (Rs) memiliki nilai yang konstan saat dilakukan pemodelan dengan pemodelan lima parameter, tujuh parameter, dan sembilan parameter yakni sebesar 0.09026 Ohm. Sedangkan *photocurrent* memiliki nilai maksimum 8.09 A, pada kondisi *full* mendung nilainya hampir sama karena perbedaan nilai terdapat pada empat dan lima angka dibelakang koma sehingga grafik tampak berimpit. Arus saturasi dioda tiga parameter dan lima parameter memiliki nilai sama sebesar 1.12×10^{-6} A, sedangkan tujuh parameter paling besar 2.11×10^{-9} A dan 5.4×10^{-5} A serta parameter arus saturasi dioda sembilan parameter sebesar 0.00103 A. Hambatan *paralel* lima parameter bernilai konstan 362.392 Ohm. Sedangkan tujuh parameter memiliki nilai yang lebih besar dengan nilai paling kecil sebesar 13903.36 Ohm serta sembilan parameter bernilai 5498.915 Ohm. Parameter hambatan seri (Rs) bernilai konstan 0.09026 Ohm untuk keempat metode pemodelan.

4.2.3 Kondisi Dominan Cerah

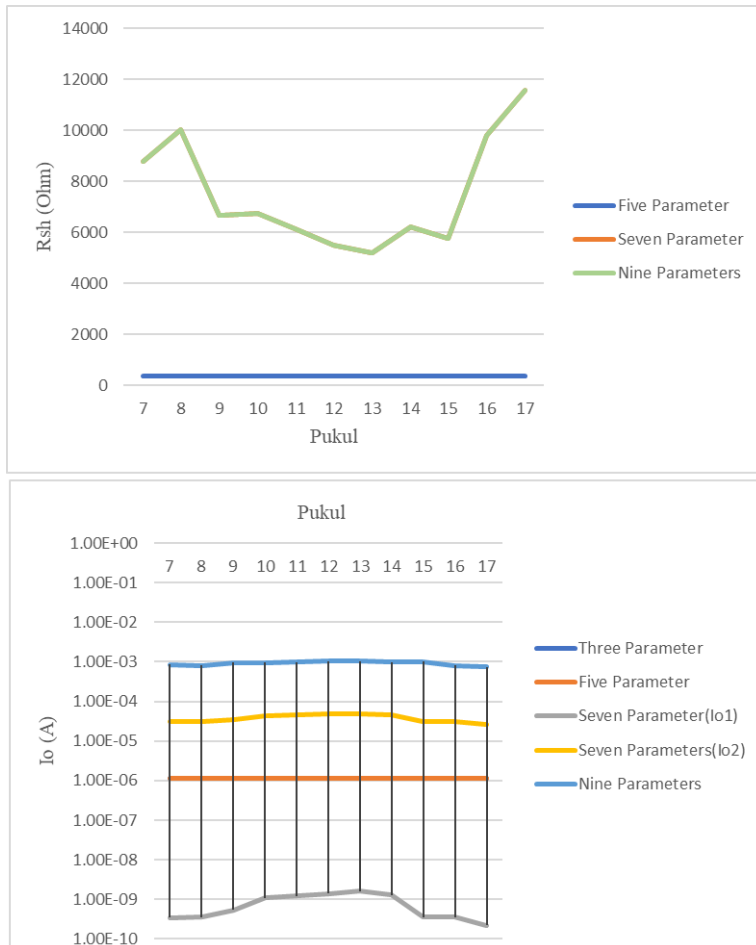
Ekstraksi parameter kondisi dominan cerah dapat dilihat perbandingannya seperti pada Gambar 4.12 dan 4.13. Ekstraksi parameter hambatan seri (Rs) memiliki nilai yang konstan. Sedangkan *photocurrent* memiliki nilai maksimum 8.466A. Namun nilainya hampir sama untuk semua parameter karena perbedaan nilai terdapat pada empat dan lima angka dibelakang koma sehingga grafik tampak berimpit. *Ideality factor diode* memiliki nilai maksimum sebesar 1.47 dan minimum 1.36. Sedangkan tujuh parameter dan sembilan parameter, nilai A1, A2, dan A3 sebesar 1, 2, dan 3. Arus saturasi dioda yang dilakukan pemodelan tiga parameter dan lima parameter memiliki nilai sama sebesar 1.12×10^{-6} A, sedangkan tujuh parameter paling besar 1.6×10^{-9} A dan 4.96×10^{-5} A sedangkan parameter arus saturasi dioda ketiga pada sembilan parameter bernilai 0.00105 A. Hambatan *paralel* tujuh parameter memiliki nilai yang lebih besar

daripada pemodelan tiga parameter dan lima parameter dengan nilai paling kecil sebesar 6196.9 Ohm. Sedangkan sembilan parameter sebesar 13903 Ohm. Berikut merupakan gambar grafik ekstraksi parameter *ideality factor diode* dan *photocurrent*.



Gambar 4. 12 Ekstraksi Parameter A dan Iph Kondisi Dominan Cerah

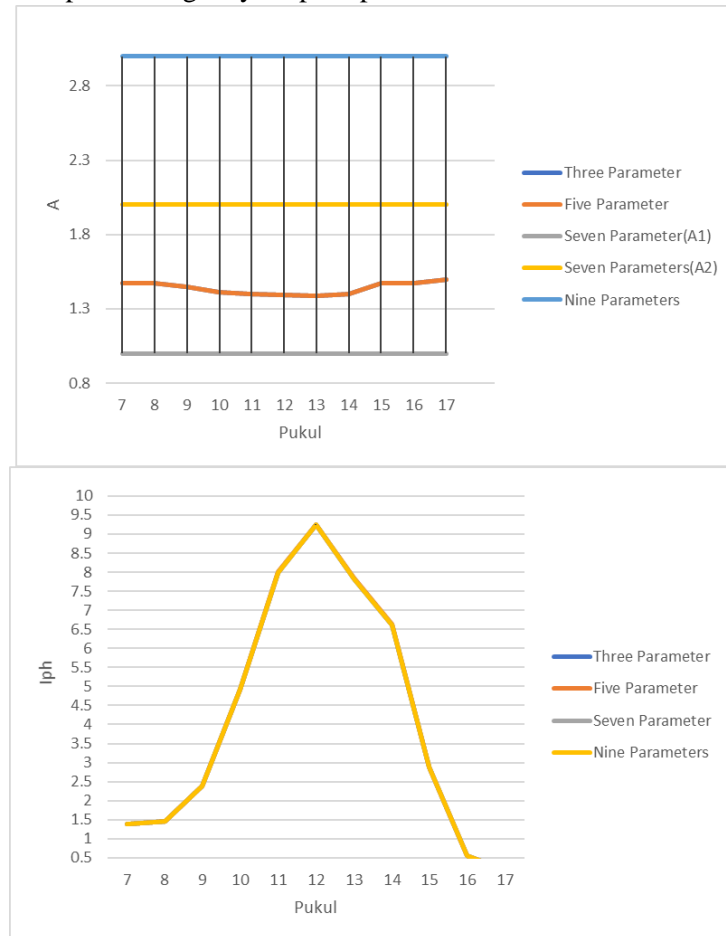
Berikut merupakan gambar grafik ekstraksi parameter hambatan paralel dan arus saturasi diode kondisi dominan cerah.



Gambar 4. 13 Ekstraksi Parameter R_{sh} dan I_o Kondisi Dominan Cerah

4.2.4 Kondisi Dominan Mendung

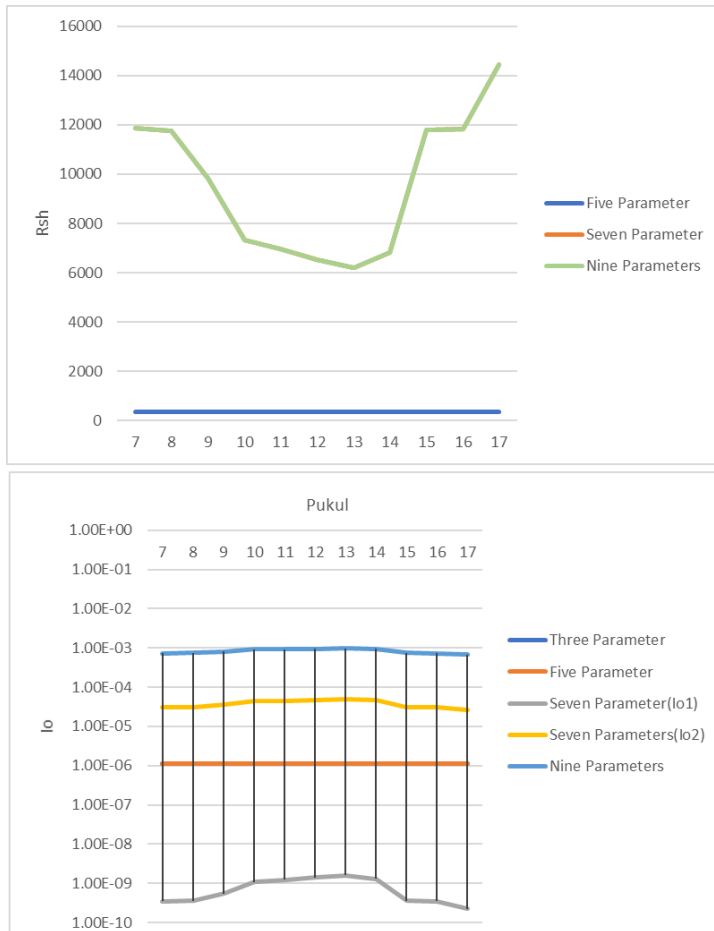
Ekstraksi parameter untuk kondisi dominan mendung dapat dilihat perbandingannya seperti pada Gambar 4.14 dan 4.15.



Gambar 4. 14 Ekstraksi Parameter A dan Iph Kondisi Dominan Mendung

Ekstraksi parameter hambatan seri (R_s) memiliki nilai yang konstan lima parameter, tujuh parameter dan sembilan

parameter sebesar 0.09026 Ohm. Sedangkan *photocurrent* memiliki nilai maksimum 9.24A. Kondisi dominan mendung nilai I_{ph} hampir sama diantara keempat pemodelan karena perbedaan nilai terdapat pada empat dan lima angka dibelakang koma sehingga grafik tampak berimpit.



Gambar 4. 15 Ekstraksi Parameter R_{sh} dan I_o Kondisi Dominan Mendung

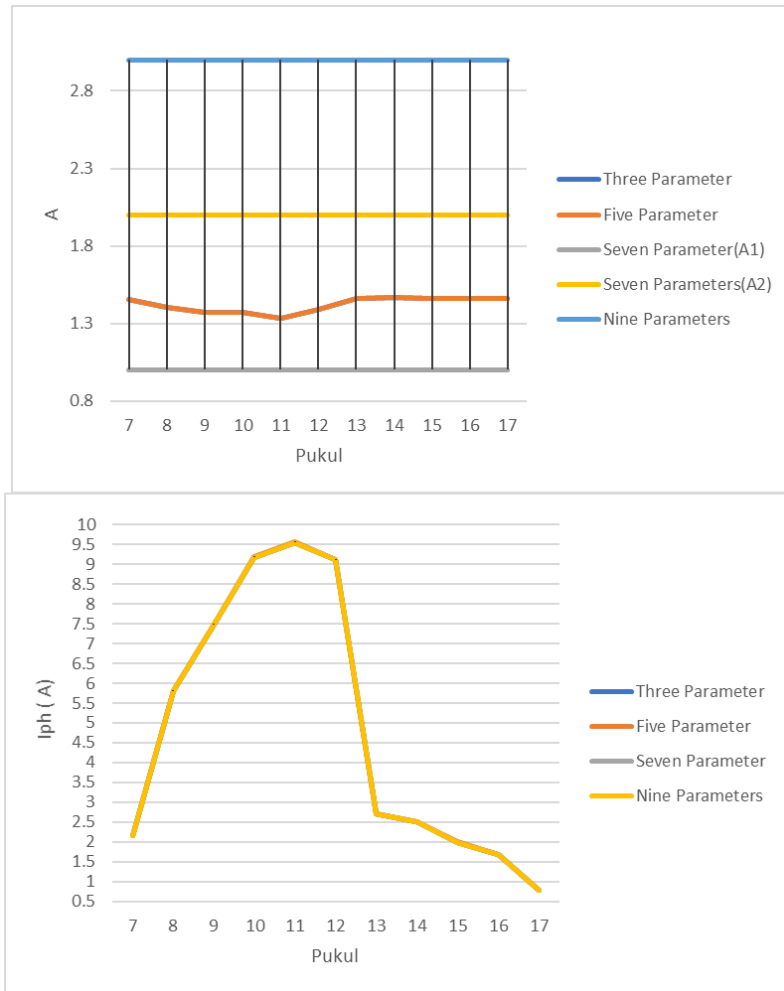
Nilai maksimum *ideality factor diode* sebesar 1.5 dan minimum 1.386. Sedangkan nilai *ideality factor diode* tujuh parameter dan sembilan parameter bernilai 1, 2, dan 3. Arus saturasi dioda tiga parameter dan lima parameter memiliki nilai sama sebesar 1.12×10^{-6} A, tujuh parameter menghasilkan nilai paling besar 1.6×10^{-9} A dan 4.96×10^{-5} A. Sedangkan arus saturasi dioda ketiga sebesar 0.00067 A. Hambatan *paralel* tujuh parameter memiliki nilai yang lebih besar daripada pemodelan tiga paameer dan lima parameter. Nilai paling kecilnya sebesar 6196.9 Ohm. Sedangkan sembilan parameter sebesar 14431.41 Ohm.

4.2.5 Kondisi *Balance*

Ekstraksi parameter kondisi *balance* dapat dilihat perbandingannya seperti pada Gambar 4.16 dan 4.17. Ekstraksi parameter hambatan seri(Rs) memiliki nilai yang konstan lima parameter dan tujuh parameter sebesar 0.09026 Ohm. *Photocurrent* memiliki nilai maksimum 9.5451A, nilai *Iph* hasil ekstraksi keempat parameter hampir sama karena perbedaan nilai terdapat pada empat dan lima angka dibelakang koma sehingga grafik tampak berimpit. *IDEALITY factor diode* memiliki nilai maksimum sebesar 1.465 dan minimum 1.334. Sedangkan nilai *ideality factor diode* tujuh dan sembilan parameter untuk parameter *ideality factor diode* pertama, kedua, dan ketiga adalah sebesar 1, 2, dan 3.

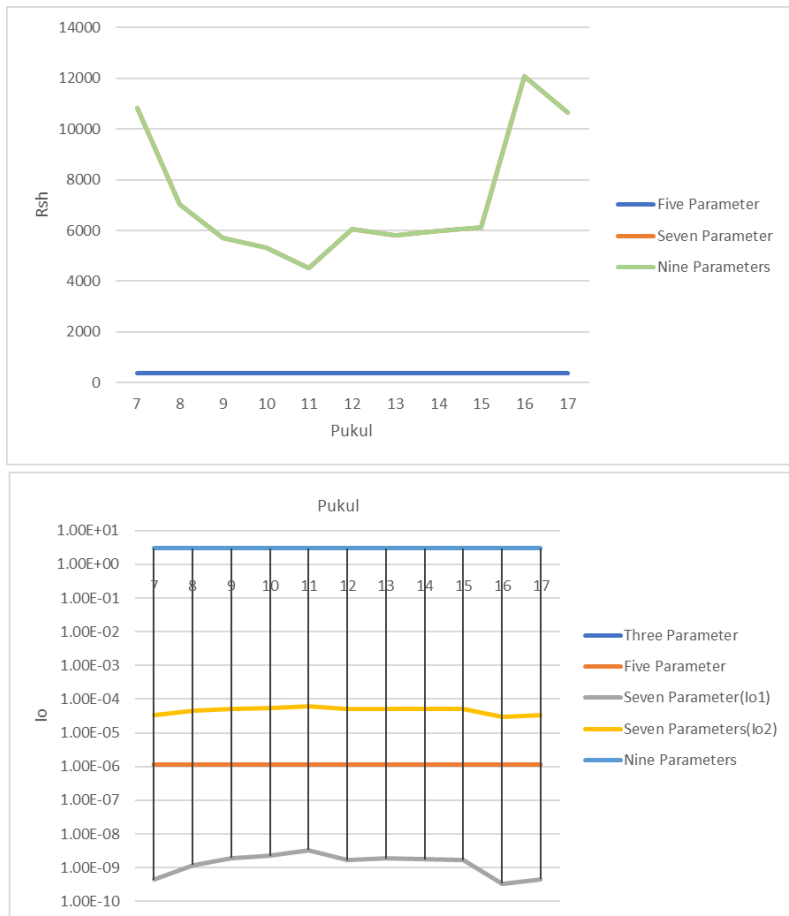
Arus saturasi dioda tiga parameter dan lima parameter memiliki nilai sama sebesar 1.12×10^{-6} A, sedangkan tujuh parameter paling besar bernilai 3.3×10^{-9} A dan 6.26×10^{-5} A sedangkan arus saturasi dioda ketiga sebesar 0.000733 A. Hambatan *paralel* tujuh parameter memiliki nilai yang lebih besar daripada pemodelan lima parameter dan sembilan parameter. Nilai paling kecil sebesar 12074 Ohm dan sembilan parameter sebesar 0.000733.

Berikut merupakan gambar grafik ekstraksi parameter *ideality factor diode* dan arus saturasi dioda.



Gambar 4. 16 Ekstraksi Parameter A dan I_{ph} Kondisi *Balance*

Berikut merupakan gambar grafik ekstraksi parameter hambatan paralel dan arus saturasi dioda.



Gambar 4. 17 Ekstraksi Parameter Rsh dan Io Kondisi *Balance*

Sembilan parameter muncul karena adanya alasan bahwa pemodelan PV menggunakan dua diode diperkirakan tidak cukup mewakili atau mempresentasikan modul PV yang sesungguhnya

dalam hal ini terkait arus *output* PV. Pendekatan dua dioda atau tujuh parameter *ideality factor diode* pertama bernilai 1 dan *ideality factor diode* kedua bernilai 2. Sedangkan sembilan parameter, *ideality factor diode* pertama diperkirakan bernilai antara 1 hingga 1.5, *ideality factor diode* kedua diperkirakan bernilai antara 2 hingga 5.

4.3 Hasil Validasi

Validasi data dilakukan dengan membandingkan hasil *output* arus dan *output* tegangann dari hasil pemodelan dengan *proven model* dari Matlab 2016a. Sedangkan modul PV yang menggunakan *tracker* divalidasi dengan *proven model*. Dari perhitungan tiga parameter didapatkan nilai RMSE terkecil sebesar 0.08392 % menggunakan modul PV *fix* di kondisi *full* cerah dan 0.09962 % menggunakan modul PV dilengkapi *tracker* di kondisi dominan cerah, sedangkan tegangann yang memiliki RMSE terkecil sebesar 0.04474 % menggunakan modul *fix* di kondisi *full* mendung dan 0.02376 % menggunakan modul yang dilengkapi *tracker*. Lima parameter didapatkan nilai RMSE terkecil sebesar 0.14337 % menggunakan modul *fix* di kondisi *full* cerah dan 0.16979 % menggunakan modul yang dilengkapi *tracker* di kondisi dominan cerah, sedangkan tegangann dengan RMSE terkecil sebesar 0.04474 % menggunakan modul *fix* di kondisi *full* mendung dan 0.02376 % menggunakan modul dilengkapi dengan *tracker* di kondisi yang sama. Data selengkapnya dapat dilihat pada Tabel 4.1.

Hasil validasi tujuh parameter didapatkan nilai RMSE terkecil sebesar 0.08594 % menggunakan modul *fix* di kondisi *full* cerah dan 0.41162 % menggunakan modul dilengkapi *tracker* di kondisi dominan mendung. Tegangann dengan RMSE terkecil sebesar 0.04474 % menggunakan modul *fix* di kondisi *full* mendung dan 0.03397 % menggunakan modul yang dilengkapi

tracker di kondisi dominan cerah. Hasil validasi sembilan parameter didapatkan nilai RMSE terkecil komponen arus sebesar 0.08643 % menggunakan modul *fix* di kondisi *full* cerah dan 0.19748 % menggunakan modul yang dilengkapi *tracker* di kondisi dominan mendung, sedangkan tegangan dengan RMSE terkecil sebesar 0.04474 % saat digunakan modul *fix* di kondisi *full* mendung dan 0.64110 % menggunakan modul yang dilengkapi *tracker* di kondisi *full* mendung. Nilai RMSE arus paling kecil saat dilakukan pemodelan tiga parameter dan paling besar saat dilakukan pemodelan lima parameter. Sedangkan RMSE tegangan paling kecil saat dilakukan pendekatan model tiga parameter dan paling besar nilai RMSE saat dilakukan pendekatan model sembilan parameter. Secara keseluruhan model pendekatan yang memiliki nilai RMSE kecil adalah pendekatan tiga parameter untuk arus dan tegangan. Sedangkan arus yang memiliki RMSE besar adalah tujuh parameter dan tegangan nilai RMSE paling besar adalah sembilan parameter. Berdasarkan hasil validasi yang telah dilakukan, diketahui bahwa tidak ada nilai RMSE yang lebih besar dari 5% sehingga dapat diketahui bahwa data ini dapat mempresentasikan tingkat kepercayaan yang diinginkan sebesar 95%. Data selengkapnya dilihat pada Tabel 4.1.

Tabel 4. 1 Hasil Validasi Data Arus dan Tegangan Tiga Parameter dan Lima Parameter

Modul PV	Kondisi	Three Parameters		Five Parameters	
		Arus	Tegangan	Arus	Tegangan
Fix	Full Cerah	0.0839	0.0470	0.1434	0.0470
	Full Mendung	0.1253	0.0447	0.2017	0.0447
	Dominan Cerah	2.1772	0.3122	0.1698	0.0459
	Dominan Mendung	0.1114	0.0456	0.1835	0.0456
	Balance	0.1059	0.0461	0.1700	0.4290

Tabel 4.1 Lanjutan

Modul PV	Kondisi	Three Parameters		Five Parameters	
		Arus	Tegangan	Arus	Tegangan
Tracker	Full Cerah	3.6205	0.0238	3.5795	0.4889
	Full Mendung	2.9852	0.4086	3.4091	0.4777
	Dominan Cerah	0.0996	0.0340	0.1698	0.0459
	Dominan Mendung	3.02880	0.4116	3.0399	0.4116
	Balance	3.6423	0.5024	3.6456	0.5024

Tabel 4.2 Hasil Validasi Data Arus dan Tegangan Tujuh Parameter dan Sembilan Parameter

Modul PV	Kondisi	Seven Parameters		Nine Parameters	
		Arus	Tegangan	Arus	Tegangan
Fix	Full Cerah	0.0859	0.0469	0.0864	0.0470
	Full Mendung	0.1281	0.0447	0.1288	0.0447
	Dominan Cerah	0.1139	0.0456	0.1145	0.2433
	Dominan Mendung	0.1139	0.0456	0.1139	0.0456
	Balance	2.2293	0.3613	0.1059	0.0461
Tracker	Full Cerah	3.6166	0.4889	0.2935	0.7780
	Full Mendung	3.3662	0.4777	0.2146	0.6411
	Dominan Cerah	3.3662	0.0340	0.1981	0.7024

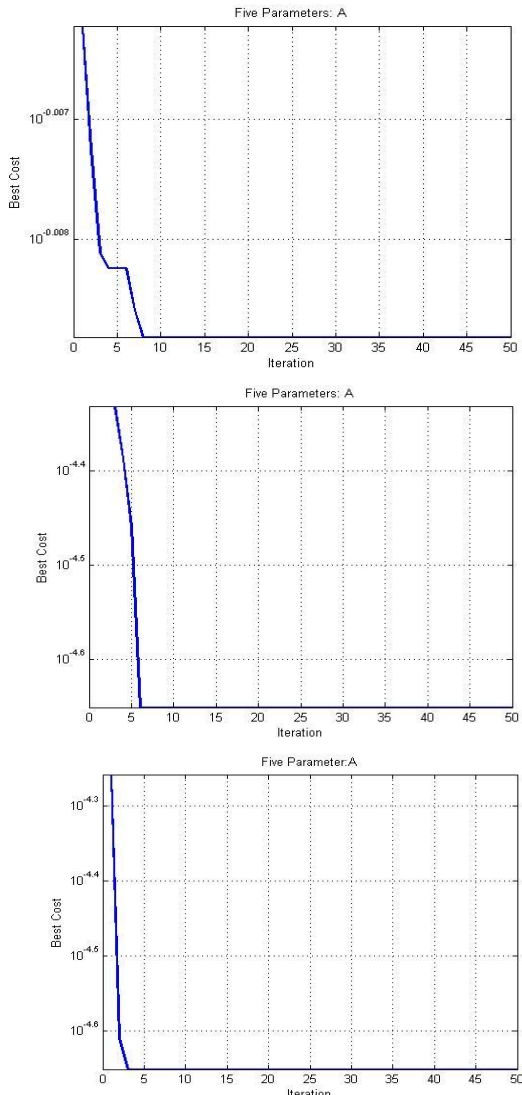
Tabel 4.2 Lanjutan

Modul PV	Kondisi	Seven Parameters		Nine Parameters	
		Arus	Tegangan	Arus	Tegangan
	Dominan Mendung	0.4116	0.1561	0.1975	0.7024
	Balance	3.6411	0.5024	0.2426	0.7004

4.4 Hasil Optimisasi

Proses optimisasi dilakukan dengan menggunakan tiga metode berbeda yakni *Particle Swarm Optimization* (PSO), *Firefly Algorithm* (FA), dan *Particle Swarm Modified Firefly Algorithm* (PSMFA). Ketiganya menunjukkan hasil yang berbeda yang ditunjukkan seperti tabel hasil optimisasi menggunakan FA, PSO, dan PSMFA pada Lampiran 5. Terdapat dua kriteria penilaian yang digunakan untuk menganalisa metode optimisasi yang baik. Dua kriteria tersebut adalah *value* dan *speed*. *Value* atau nilai diartikan sebagai solusi minimum global yang dapat dicapai oleh metode optimisasi yang digunakan. Sedangkan *speed* merupakan kriteria penilaian yang mengevaluasi kecepatan konvergensi.

Hasil kecepatan konvergensi dari ketiga metode optimisasi parameter *ideality factor* dapat dilihat pada gambar 4.18. Berdasarkan grafik konvergensi tersebut dapat diketahui bahwa metode optimisasi menggunakan metode PSMFA memiliki kecepatan konvergensi yang lebih tinggi daripada dua metode lain yang digunakan yakni PSO dan FA. Ketiga metode optimisasi menunjukkan solusi minimum global yang sama sebesar 0.00202 untuk *ideality factor diode*. PSMFA membutuhkan waktu yang lebih cepat yakni tiga iterasi, PSO memerlukan waktu iterasi dua kali lebih lama daripada PSMFA sebanyak enam iterasi, sedangkan FA membutuhkan waktu lebih lama daripada keduanya, yakni delapan iterasi.

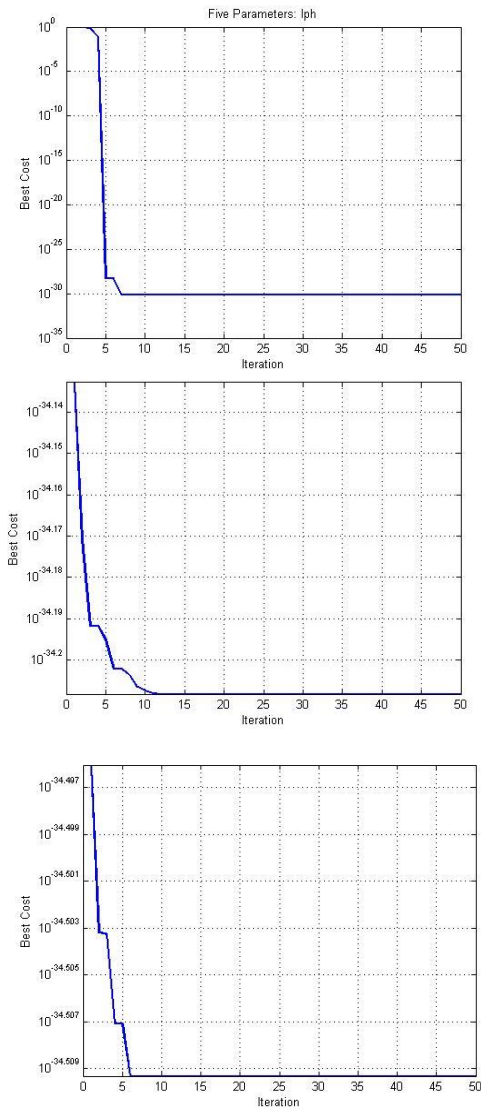


Gambar 4. 18 Kecepatan Konvergensi FA, PSO, dan PSMFA untuk *Ideality factor diode*

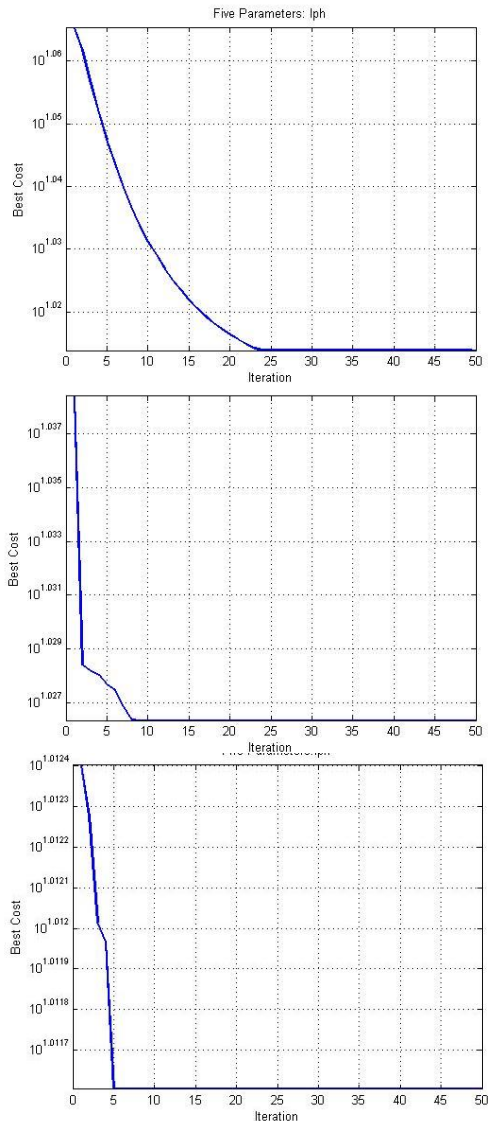
Hasil kecepatan konvergensi dari ketiga metode optimisasi parameter arus saturasi *diode* dapat dilihat pada gambar 4.19. Dari grafik konvergensi tersebut dapat diketahui bahwa metode optimisasi menggunakan metode PSMFA memiliki kecepatan konvergensi yang lebih tinggi daripada dua metode optimisasi lain yang digunakan yakni PSO dan FA. Ketiga metode optimisasi menunjukkan solusi minimum global yang sama dari ketiga metode optimisasi sebesar 6.9×10^{-31} A. PSMFA membutuhkan enam iterasi, sedikit berbeda dengan waktu yang dibutuhkan FA sebanyak tujuh iterasi, sedangkan PSO membutuhkan waktu yang lebih lama yakni sebelas iterasi.

Hasil kecepatan konvergensi dari ketiga metode optimisasi parameter *photocurrent* dapat dilihat pada gambar 4.20. Dari grafik konvergensi tersebut dapat diketahui bahwa metode optimisasi menggunakan metode PSMFA memiliki kecepatan konvergensi yang lebih tinggi daripada dua metode optimisasi lain yang digunakan yakni PSO dan FA. Metode optimisasi PSMFA menunjukkan solusi minimum global sebesar 8.421 A, sedangkan metode optimisasi PSO dan metode optimisasi FA sebesar 8.899 A. Metode optimisasi PSMFA membutuhkan lima iterasi, metode optimisasi PSO membutuhkan waktu delapan iterasi, sedangkan untuk metode optimisasi FA membutuhkan waktu yang lebih lama yakni 23 iterasi.

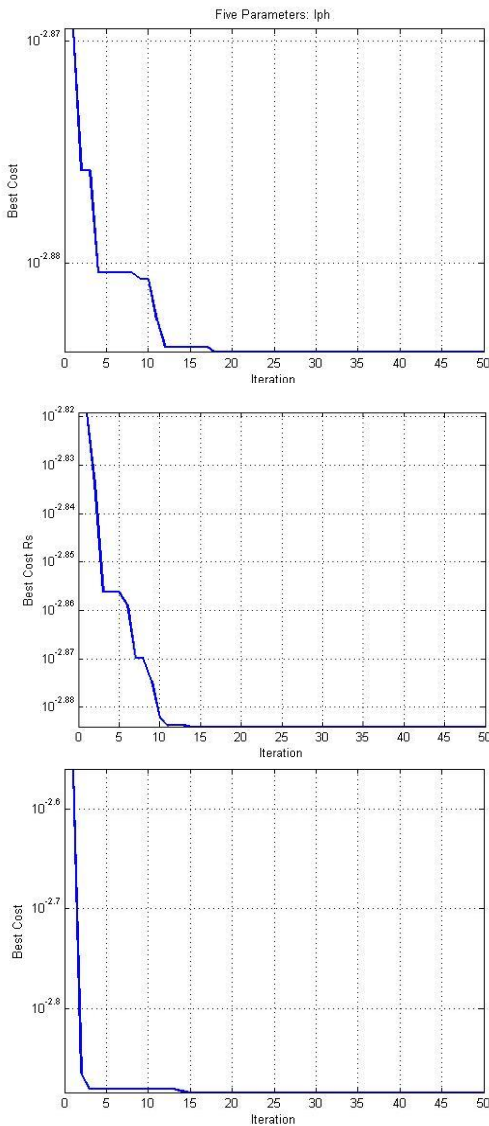
Hasil kecepatan konvergensi dari ketiga metode optimisasi parameter hambatan seri dapat dilihat pada gambar 4.21. Dari grafik konvergensi tersebut dapat diketahui bahwa metode optimisasi menggunakan metode FA memiliki kecepatan konvergensi yang lebih tinggi daripada dua metode optimisasi lain yang digunakan yakni PSO dan FA. Ketiga metode optimisasi menunjukkan solusi minimum global yang sama yakni sebesar 0.01306. PSMFA membutuhkan empat belas iterasi selisih sedikit dengan PSO yang membutuhkan waktu tiga belas iterasi, sedangkan FA hanya membutuhkan waktu delapan iterasi.



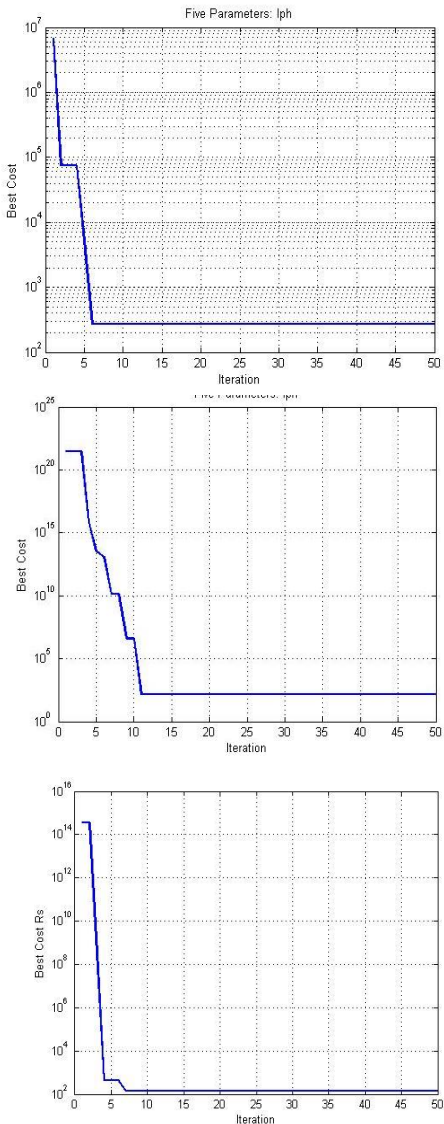
Gambar 4. 19 Kecepatan Konvergensi FA, PSO, dan PSMFA untuk Saturation Current



Gambar 4. 20 Kecepatan Konvergensi FA, PSO, dan PSMFA untuk PhotoCurrent



Gambar 4. 21 Kecepatan Konvergensi FA, PSO, dan PSMFA untuk Hambatan Seri



Gambar 4. 22 Kecepatan Konvergensi FA,PSO, danPSMFA untuk Shunt Resistance

Hasil kecepatan konvergensi dari ketiga metode optimisasi parameter *paralel resistance* dapat dilihat pada gambar 4.22. Dari grafik konvergensi tersebut dapat diketahui bahwa metode optimisasi menggunakan metode PSMFA memiliki kecepatan konvergensi yang lebih tinggi daripada dua metode yang lain yang digunakan yakni PSO dan FA. Metode PSMFA dan PSO menunjukkan solusi minimum global yang sama yakni sebesar 135.30 Ohm, sedangkan FA sebesar 270.6189 Ohm. PSMFA membutuhkan tujuh iterasi, PSO membutuhkan waktu sebelas iterasi, sedangkan FA membutuhkan waktu enam iterasi.

Pada tabel didapatkan bahwa nilai dari *photocurrent* ekstraksi tiga parameter, lima parameter, tujuh parameter, dan sembilan parameter yang menggunakan metode optimisasi FA dan PSO memiliki nilai yang sama besar, yakni sebesar 8.899 A. Ekstraksi tiga parameter, lima parameter, tujuh parameter, dan sembilan parameter metode optimisasi PSMFA memiliki nilai yang sama yakni 8.41 A. Sedangkan *ideality factor diode* memiliki nilai yang tetap pada ketiga metode optimisasi pada saat diekstraksi tiga parameter yakni sebesar 0.0020121 dan lima parameter sebesar 0.0000022 sedangkan tujuh parameter memiliki nilai yang paling besar yakni sebesar 0.99 dan 1.99 untuk FA. Metode optimisasi sebesar PSO dan PSMFA sebesar 0.98 dan 1.98.

Hasil optimisasi arus saturasi dioda tiga parameter dan lima parameter bernilai 6.89×10^{-31} A, ketiga metode optimisasi menunjukkan nilai sama, tujuh parameter bernilai lebih kecil yakni sebesar 8.35×10^{-36} A dan 4.18×10^{-36} A untuk FA, 6.19×10^{-35} A dan 3.10×10^{-35} A menggunakan PSO dan PSMFA. Nilai hambatan seri ketiga metode optimisasi bernilai sama saat diekstraksi lima maupun tujuh parameter yakni sebesar 0.0013061. Kemudian *paralel resistance* bernilai 270.62 Ohm menggunakan FA dan 135.31 Ohm menggunakan PSO dan PSMFA ketika ekstraksi lima parameter, sedangkan tujuh parameter sebesar 135.31 Ohm menggunakan ketiga metode. Secara keseluruhan hasil optimal

didapatkan ketika menggunakan metode optimisasi PSMFA karena konvergensi yang lebih cepat daripada PSO dan FA. Selain karena konvergensi yang cepat, hampir semua parameter PSMFA dapat mencapai nilai minimum. Arus saturasi *diode* 1 dan 2 (I_{o1} dan I_{o2}) tujuh parameter serta *photocurrent* tiga parameter FA memiliki nilai solusi minimum global yang lebih baik daripada PSO dan PSMFA.

Ekstraksi parameter kedelapan berupa *short circuit current* dengan empat model didapatkan hasil sebagai berikut:

Tabel 4. 3 Ekstraksi dan Optimisasi 8 Parameter

Parameter	Ekstraksi					Rata-rata	Error	PSMFA
	FC	FM	DC	DM	B			
3 parameter	9	9	9	9	9	9	0	8.7981 4
	9	9	9	9	9	9	0	
	9	9	9	9	9	9	0	
	9	9	9	9	9	9	0	
	9	9	9	9	9	9	0	
	9	9	9	9	9	9	0	
	9	9	9	9	9	9	0	
	9	9	9	9	9	9	0	
	9	9	9	9	9	9	0	
	9	9	9	9	9	9	0	
5 parameter	9.09	9.09	9.09	9.09	9.09	9.09	0.09	7.5941
	9	9	9	9	9	9.099	9	
	9.09	9.09	9.09	9.09	9.09	9.099	0.09	
	9	9	9	9	9	9.099	9	
	9.09	9.09	9.09	9.09	9.09	9.099	0.09	
	9	9	9	9	9	9.099	9	
	9.09	9.09	9.09	9.09	9.09	9.099	0.09	
	9	9	9	9	9	9.099	9	

Tabel 4.3 Lanjutann

Parameter	Ekstraksi					Rata-rata	Error	PSMF A
	FC	FM	DC	DM	B			
9 parameter	9.09 9	9.09 9	9.09 9	9.09 9	9.09 9	9.0993 9.0993	0.099 3	7.7302 9
	9.09 9	9.09 9	9.09 9	9.09 9	9.09 9	9.0993 9.0993	0.099 3	
	9.09 9	9.09 9	9.09 9	9.09 9	9.09 9	9.0993 9.0993	0.099 3	
	9.09 9	9.09 9	9.09 9	9.09 9	9.09 9	9.0993 9.0993	0.099 3	
7 parameter	8.99 9	8.99 9	8.99 9	8.99 9	8.99 9	8.9998 8.9998	0.000 2	7.7302 9
	8.99 9	8.99 9	8.99 9	8.99 9	8.99 9	8.9998 8.9998	0.000 2	
	8.99 9	8.99 9	8.99 9	8.99 9	8.99 9	8.9997 8.9997	0.000 3	
	8.99 9	8.99 9	8.99 9	8.99 9	8.99 9	8.9997 8.9997	0.000 3	
	8.99 9	8.99 9	8.99 9	8.99 9	8.99 9	8.9997 8.9997	0.000 3	
	8.99 9	8.99 9	8.99 9	8.99 9	8.99 9	8.9997 8.9997	0.000 3	
	8.99 9	8.99 9	8.99 9	8.99 9	8.99 9	8.9997 8.9997	0.000 3	
	8.99 9	8.99 9	8.99 9	8.99 9	8.99 9	8.9997 8.9997	0.000 3	
	8.99 9	8.99 9	8.99 9	8.99 9	8.99 9	8.9998 8.9998	0.000 2	
	8.99 9	8.99 9	8.99 9	8.99 9	8.99 9	8.9998 8.9998	0.000 2	
	8.99 9	8.99 9	8.99 9	8.99 9	8.99 9	8.9998 8.9998	0.000 2	
	8.99 9	8.99 9	8.99 9	8.99 9	8.99 9	8.9998 8.9998	0.000 2	
9 Parameter	10.7 5	10.8 0	10.6 8	10.8 2	10.7 8	10.76 10.76	1.760	9.2234
	10.5 8	10.7 9	10.7 4	10.8 2	10.5 8	10.70 10.70	1.704 6	
	10.4 6	10.7 2	10.5 5	10.7 4	10.4 8	10.59 10.59	1.590 7	
	10.4 8	10.5 6	10.5 2	10.6 7	10.4 10.3	10.53 10.48	1.531 1.481	

Tabel 4.3 Lanjutan

Parameter	Ekstraksi					Rata-rata	Error	PSM FA
	FC	FM	DC	DM	B			
9 Parameter	10.53 27	10.46 37	10.46 37	10.54 64	10.51	10.503 4	1.50 34	
	10.75 32	10.80 31	10.68 35	10.82 09	10.77 91	10.768 0	1.76 80	
	10.50 71	10.77 88	10.43 55	10.52 06	10.49 00	10.546 4	1.54 64	
	10.52 06	10.79 17	10.52 06	10.56 46	10.50 31	10.580 1	1.58 01	
	10.48 61	10.80 79	10.48 61	10.81 77	10.51 50	10.622 6	1.62 26	
	10.78 85	10.80 14	10.73 41	10.81 93	10.82 83	10.794 3	1.79 43	
	10.77 56	10.89 17	10.80 96	10.90 84	10.77 18	10.831 4	1.83 14	

Dari hasil ekstraksi didapatkan bahwa nilai Isc konstanta tiga parameter sebesar 9, begitu pula lima parameter sebesar 9.099304, sedangkan tujuh parameter nilai tertinggi sebesar 8.999853 A dan terendah sebesar 8.999561 A. Sembilan parameter menunjukkan hasil ekstraksi yang paling tinggi diantara tiga pendekatannya yakni berkisar pada angka 10 A. Hasil selisihnya pun terbilang tinggi. Selisih paling tinggi sebesar 1.8314 A. Hasil optimisasi menunjukkan nilai optimisasi untuk tiga parameter sebesar 8.798 sedangkan lima parameter sebesar 7.594 A, tujuh parameter sebesar 7.7303 A, sedangkan sembilan parameter menunjukkan hasil sebesar 9.2234 A.

“Halaman ini sengaja dikosongkan”

BAB V

PENUTUP

5.1 Kesimpulan

Berdasarkan hasil analisis data yang telah dilakukan maka didapatkan kesimpulan dari tugas akhir mengenai optimisasi parameter PV menggunakan metode PSMFA(*Particle Swarm Modified Firefly Algorithm*) adalah sebagai berikut:

1. Nilai dari ekstraksi parameter PV berdasarkan Lampiran 3 Ekstraksi Parameter *ideality factor diode*(A) paling tinggi ketika menggunakan model sembilan parameter yakni bernilai konstan 3, pada tujuh parameter menunjukkan nilai 2 sesuai dengan teori difusi Shockley sedangkan tiga dan lima parameter nilai tertinggi adalah 1.5. *Photocurrent* nilai paling tinggi dengan model tiga parameter, lima parameter, dan tujuh parameter bernilai 9.8902 A, 9.9122 A, dan 9.8906A. sedangkan sembilan parameter bernilai 9.8826 A. Arus saturasi diode paling besar bernilai 1×10^{-6} A, 1×10^{-6} A, 3×10^{-9} A dan 1×10^{-3} menggunakan tiga parameter, lima parameter, tujuh parameter dan sembilan parameter. Sedangkan nilai hambatan seri bernilai konstan pada lima parameter, tujuh parameter, dan sembilan parameter sebesar 0.0903 Ohm dan *shunt resistance* untuk lima parameter, tujuh parameter, dan sembilan parameter bernilai 362.39 Ohm, 14431 Ohm, dan 11100 Ohm.
2. Berdasarkan tabel hasil optimisasi menggunakan FA, PSO, dan PSMFA pada Lampiran 5, hasil optimisasi menggunakan FA dan PSO memiliki hasil optimisasi yang sama untuk nilai *photocurrent* yakni sebesar 8.889 A sedangkan PSMFA sebesar 8.421 A. *Ideality factor* bernilai sama pada metode optimisasi model tiga parameter yakni sebesar 0.0020121, 0.000022341 pada lima parameter, dan untuk tujuh parameter menggunakan FA 0.991106 dan 1.9911, PSO sebesar 0.979892799 serta 1.979892799. PSMFA memiliki nilai yang sama dengan PSO

3. Berdasarkan grafik konvergensi pada Gambar 4.18 sampai 4.22 metode optimisasi menggunakan PSMFA dan PSO memiliki nilai *resistance parallel* yang lebih kecil daripada FA lima parameter, sedangkan *photocurrent* menggunakan tiga parameter FA memiliki nilai yang lebih minimum, sedangkan lima parameter dan tujuh parameter, PSO dan PSMFA memiliki nilai yang lebih minimum. Arus saturasi diode paling minimum saat menggunakan metode optimisasi FA tujuh parameter. Sedangkan konvergensi PSMFA memiliki tingkat konvergensi yang lebih tinggi dibandingkan kedua metode optimisasi yang lain

5.2 Saran

Saran yang diberikan untuk pengembangan tugas akhir pada penelitian ini adalah:

1. Membandingkan hasil arus dan tegangan *output* modul PV dengan modul PV gabungin antara *fix* dan *tracker*
2. Mengambil data *input* setiap minggu pada beberapa bulan sebagai keterwakilan data terhadap cuaca Indonesia
3. Mencari parameter lain yang dapat dioptimalkan.

DAFTAR PUSTAKA

- [1] Direktorat Jenderal Ketenagalistrikan, "Kementerian Energi dan Sumber Daya Mineral Direktorat Jenderal Ketenagalistrikan," in *Buku Statistik Ketenagalistrikan No. 30 - 2017*, Jakarta, Direktorat Jenderal Ketenagalistrikan, 2017, pp. 21-25.
- [2] S. Said, *Outlook Energi Indonesia 2015*, Jakarta: Dewan Energi Nasional , 2015.
- [3] I. M. A. Nugraha, P. A. Ridhana and K. Listuayu, "Optimalisasi Pemasangan Panel Solar Home System Untuk Kehidupan Masyarakat Pedesaan di Ban Kubu Karangasem," *Majalah Ilmiah Teknologi Elektro*, vol. 17, no. 1, pp. 116-123, 2018.
- [4] H. S. Tira, A. Natsir and M. R. Iqbal, "Pengaruh Sudut Surya terhadap Daya Output Sel Surya 10 WP Tipe," *Teknik Mesin*, vol. 7, no. 2, pp. 69-74, 2018.
- [5] N. A. Handayani and D. Ariyanti, "Potency of Solar Energy Applications in Indonesia," *Int. Journal of Renewable Energy Development(IJRED)*, vol. 1, no. 2, pp. 33-38, 2012.
- [6] B. Tito, "Universitas Indonesia Library," 19 Juni 2012. [Online]. Available: <http://lib.ui.ac.id>. [Accessed 22 November 2018].
- [7] S. Sidopekso and A. E. Febtiwiyanti, "Studi Peningkatan Output Modul Surya Dengan Menggunakan," *Berkala Fisika*, vol. 12, no. 3, pp. 101-104, 2010.
- [8] I. Abadi, A. Musyafa' and A. Soeprijanto, "Design and Implementation of Active Two Axes Solar Tracking System Using Particle Swarm Optimization Based Fuzzy Logic Controller," *International Review on Modelling and Simulations (I.RE.MO.S.)*, vol. 8, no. 6, pp. 640-652, 2015.
- [9] C. Hilman and A. Musyafa', "OPTIMASI SUDUT KEMIRINGAN PANEL SURYA PADA PROTOTIPE SISTEM PENJEJAK MATAHARI AKTIF," *Prosiding*

Seminar Nasional Fisika (E-Journal) SNF2016, vol. V, pp. 53-56, 2016.

- [10] N. C. Park, W. W. Oh and D. H. Kim, "Effect of Temperatur and Kelembapan on the Degradation Rate of Multicrystalline Silicon PhotoVoltaic Module," *International Journal of Photoenergy*, pp. 1-9, 2013.
- [11] H. A. Kazem and M. T. Chaichan, "Effect of Kelembapan on PhotoVoltaic Performance Based on Experimental Effect of Kelembapan on PhotoVoltaic Performance Based on Experimental," *International Journal of Applied Engineering Research*, vol. 10, no. 23, pp. 43572-43577, 2015.
- [12] M. Ali, M. H. Iqbal, N. A. Sheikh and dkk, "Performance Investigation of Air Velocity Effects on PV Modules under Controlled Conditions," *International Journal of Photoenergy*, pp. 1-10, 2017.
- [13] Vinod, R. Kumar and S. Singh, "Solar photoVoltaic modeling and simulation: As a renewable energy solution," *Elsevier*, vol. 4, pp. 701-712, 2018.
- [14] A. Sentürk, "New method for computing single diode model parameters of photoVoltaic modules," *Renewable Energy*, vol. 128, pp. 30-36, 2018.
- [15] P. d. K. Z. Hersch, "The PhotoVoltaic(PV) Effect," in *Basic Photovoltaic Principles and Method*, Washington, US GOverment Printing Office, 1982, pp. 9-15.
- [16] R. Foster, M. Ghassemi and A. Cota, *Solar Energy*, Boca Raton, Florida: CRC Press, 2010.
- [17] Infinite Energy, "Solar Blog," Infinite Energy, 02 Februari 2017. [Online]. Available: <https://www.infiniteenergy.com.au/what-is-the-difference-between-a-solar-panel-and-a-photoVoltaic-cell/>. [Accessed 1 Mei 2019].
- [18] E. Mboumboue and D. Njomo, "Mathematical Modeling and Digital Simulation of PV Solar Panel using MATLAB

- Software," *International Journal of Energy and Environmental*, pp. 1-24, 2013.
- [19] T. D. Soares, "Analysing productivity in PhotoVoltaic systems under different atmospheric conditions," Instituto Superior Tecnico, Lisboa, 2014.
- [20] M. Ali and dkk, "Performance Investigation of Air Velocity Effects on PV Modules under Controlled Conditions," *International Journal of Photoenergy*, pp. 1-10, 2017.
- [21] A. Harrag and S. Messalti, "Three, Five and Seven PV Model Parameters Extraction using PSO," *Energy Procedia*, vol. 119, p. 767-774, 2017.
- [22] M. Kumar and A. Kumar, "An efficient parameters extraction technique of photoVoltaic models for performance assessment," *Solar Energy*, vol. 158, pp. 192-206, 2017.
- [23] G. TamizhMani, L. Ji, Y. Tang and L. Petacci, "PHOTOVOLTAIC MODULE THERMAL/WIND PEFORMNACE: Long-Term Monitoring and Model Development for Energy Rating," *NCPV and Solar Program Review*, pp. 936-939, 2003.
- [24] V. Khanna, B. K. Das, D. Bisht and P. K. Singh, "A three diode model for industrial solar cells and estimation of solar cell parameters using PSO algorithm," *Renewable Energy*, vol. 78, pp. 105-113, 2015.
- [25] P. Melin, O. Castillo and J. Kacprzyk, *Nature-Inspired Design of Hybrd Intelligent Systems*, Tijuana: Springer International, 2017.
- [26] Y. Soufi, M. Bachouat and S. Kahla, "Fuzzy- PSO Controller design for Maximum Power Point Tracking in PhotoVoltaic System," *Hydrogen Energy*, pp. 1-9, 2016.
- [27] R. E. Kennedy, Y. Shi, C. Jacob, J. Koza, F. IiiL, D. Andre and M. Keane, "Swarm Intelligence The Morgan Kaufmann Series in EvolutionaryComputation," 2001. [Online]. Available:

- <http://www.citeulike.org/user/pesimov/article/1084312..>
[Accessed 20 Mei 2019].
- [28] A. Sahu, S. Panigrahi and S. Pattnaik, "Fast convergence particle swarm optimization for functions optimization," *Procedia Technol*, vol. 4, pp. 319-324, 2012.
 - [29] Z. A. Darwish, H. A. Kazem, K. Sopian and dkk, "Impact of Some Environmental Variables with Dust on Solar PhotoVoltaic (PV) Performance: Review and Research Status," *INTERNATIONAL JOURNAL of ENERGY and ENVIRONMENT*, vol. 7, no. 4, pp. 152-159, 2013.
 - [30] B. Aydilek, "hybrid firefly and particle swarm optimization algorithm for computationally expensive numerical problems," *Applied Soft Computing*, vol. 66, pp. 232-249, 2018.
 - [31] X.-S. Yang, "Firefly Algorithm, Stochastic Test Functions and Design Optimisation," Department of Engineering, University of Cambridge, Cambridge, 2010.
 - [32] A. M. Beigi and A. Maroosi, "Parameter identification for solar cells and module using a Hybrid Firefly and Pattern Search Algorithms," *Solar Energy*, vol. 171, pp. 435-446, 2018.
 - [33] P. Kora and K. S. R. Krishna, "Hybrid Firefly and Particle Swarm Optimization algorithm for the detection of Bundle Branch Block," *International Journal of the Cardiovascular Academy*, vol. 2, pp. 44-48, 2016.
 - [34] A. Nickabadi, M. Ebadzadeh and R. Safabakhsh, "A novel particle swarm optimization algorithm with adaptive inertia weight," *Appl. Soft Comput*, vol. 11, pp. 3658-3670, 2011.
 - [35] X. Xia, L. Gui, G. He, C. Xie, B. Wei, Y. Xing, R. Wu and Y. Tang, "A hybrid optimizer based on firefly algorithm and particle swarm optimization algorithm," *Journal of Computational Science*, no. 26, pp. 488-500, 2017.
 - [36] P.-C. Cheng, B.-R. Peng, Y.-H. Liu, Y.-S. Cheng and J.-W. Huang, "Optimization of a Fuzzy-Logic-Control-Based

- MPPT Algorithm Using the Particle Swarm Optimization Technique," *Energies*, pp. 5338-5360, 2015.
- [37] T. Chakrabarti, U. Sharma, T. Chakrabarti and S. K. Sarkar, "Extraction of Efficient Electrical Parameters of Solar Cell using Firefly and Cuckoo Search Algorithm," pp. 1-6, 2016.

“Halaman ini sengaja dikosongkan”

LAMPIRAN 1
Data Input Modul Fix

a. Full Cerah

PUKUL	INPUT				OUTPUT		
	SUHU	IRADIASI	Vangin	RH	ARUS	V LANGSUNG	V BEBAN
7	34.9	239.4	0.666	58.4	2.38	30.00	13.7
8	45.8	638.4	0.66	51.66	5.94	30.20	13.32
9	53.8	818.44	0.44	44.24	7.79	30.64	13.32
10	53.7	1004.4	2.4	33	9.10	30.90	15.74
11	58.9	1079.8	1.28	32.3	9.83	30.40	15.64
12	49.1	1040.2	5	33.84	9.18	30.44	13.26
13	50.8	889.42	2.9	30.64	8.03	30.80	13.42
14	49.9	812.8	2.38	30.98	7.67	30.70	13.5
15	52.2	446.4	0.98	34.58	4.47	30.00	13.32
16	32.7	187.3	1.26	55.5	2.16	29.76	12.9
17	33.5	87.18	0.8	58.4	1.26	29.10	12.76

b. Full Mendung

PUKUL	INPUT				OUTPUT		
	SUHU	IRADIASI	RH	V ANGIN	ARUS	V LANGSUNG	V BEBAN
7	31.8	155.96	68.3	0.8	1.62	29.44	12.92
8	32	161.52	58.28	0.86	1.76	29.50	13.06
9	37	264.7	48.16	1.2	2.63	30.00	13.22
10	45.5	541.85	41	2.2	5.14	30.26	13.32
11	47.1	888.8	35.3	1.86	8.21	30.66	13.34
12	53.7	478.2	28.34	1.26	4.56	30.00	13.3
13	33.3	298.82	53.8	1.86	2.91	29.86	13.26
14	32.5	277.4	55.08	2.2	2.77	29.46	13.2
15	31.5	318.06	35.58	1.8	3.11	29.72	13
16	31.9	68.04	46.26	3.48	0.76	29.00	13
17	26.4	20.5	59.44	4.3	0.30	28.80	12.8

c. Dominan Cerah

PUKUL	INPUT				OUTPUT		
	SUHU	IRADIASI	RH	V ANGIN	ARUS	LANGSUNG	V BEBAN
7	39.3	136.26	59.14	0.6	1.35	29.20	13.22
8	35.5	184.44	40.8	0.6	1.98	29.60	13.06
9	47.7	545.1	34.46	0.74	5.16	29.80	13.14
10	47.3	478.24	41.34	2.4	4.55	29.90	13.18
11	50.22	928.48	34.22	1.28	8.36	30.26	13.48
12	53.7	478.2	28.34	1.9	4.56	30.00	13.3
13	55.6	813.76	27.36	0.82	7.54	30.64	13.3
14	49.9	812.8	30.98	2.38	7.62	30.20	13.5
15	52.2	446.4	34.58	1.88	4.47	32.36	13.32
16	36.1	161.28	46.076	1.26	1.84	32.08	12.9
17	31.4	31.4	56.188	1	0.53	29.60	12.7

d. Dominan Mendung

PUKUL	INPUT				OUTPUT		
	SUHU	IRADIASI	RH	V ANGIN	ARUS	LANGSUNG	V BEBAN
7	30.7	154.76	68.3	0.9	1.56	29.44	12.92
8	31	160.6	58.28	0.86	1.63	29.50	13.06
9	36	263.75	48.16	1.2	2.63	30.00	13.22
10	44.7	540.91	41	2.2	5.19	30.20	13.32
11	46.3	878.64	35.5	1.86	8.21	30.66	13.34
12	48.2	1014.8	33.84	1.26	9.14	31.00	13.26
13	49.9	859.1	30.64	1.86	7.87	30.70	13.42
14	47	727.17	35.58	2.2	6.69	30.24	13.36
15	30.9	320.1	35.58	1.8	3.19	29.64	13
16	30.8	61.04	46.26	3.48	0.64	29.16	13
17	25.4	19.29	59.44	4.3	0.43	28.80	12.8

e. *Balance*

PUKUL	INPUT				OUTPUT		
	SUHU	IRADIASI	RH	V ANGIN	ARUS	LANGSUNG	V BEBAN
7	34.9	239.4	58.44	0.1	2.48	29.60	13.7
8	45.8	638.4	51.66	1.8	5.94	30.00	13.32
9	53.8	818.44	44.24	2	7.63	30.26	13.32
10	53.7	1004.4	33	0.7	9.10	30.76	15.74
11	62.5	1040.2	32.3	1.5	9.31	30.86	14.68
12	48.3	1000.2	33.84	2.5	9.18	30.96	13.46
13	33.3	298.82	53.8	0.4	2.91	30.00	13.26
14	32.5	277.46	55.08	1.1	2.77	29.86	13.2
15	33.3	220.8	57.22	0.8	2.22	29.78	11.9
16	32.7	187.3	55.5	0.6	2.01	29.14	12.9
17	33.5	87.18	58.4	2.1	1.21	29.10	12.76

Tabel Arus dan Tegangan *Output* pada Kondisi Full Cerah dan *Full Mendung* Modul Fix dan Tracker

Pu kul	Full Cerah				Full Mendung			
	Arus		Tegangan		Arus		Tegangan	
	Fix	Track er	Fix	Track er	Fix	Track er	Fix	Track er
7	2.165 738	1.300 678	29.01 916	28.86 308	1.408 624	0.586 985	28.91 929	28.80 241
8	5.808 009	7.325 001	29.50 109	29.71 13	1.458 994	1.371 645	28.92 934	28.91 008
9	7.476 743	9.234 348	29.70 809	29.96 04	2.397 229	2.470 642	29.05 112	29.05 584
10	9.175 082	9.726 023	29.96 457	30.03 738	4.928 857	4.174 475	29.38 935	29.28 408
11	9.890 244	12.33 655	30.03 814	30.36 885	8.091 52	4.238 284	29.83 346	29.27 09
12	9.479 622	12.52 757	30.04 174	30.44 797	4.368 304	8.881 635	29.27 718	29.93 16
13	8.112 63	7.792 013	29.82 914	29.76 836	2.701 037	3.006 07	29.11 014	29.15 206
14	7.410 321	8.825 947	29.72 974	29.91 554	2.506 378	2.472 919	29.08 671	29.08 046

Tabel Lanjutan

Pu kul	Full Cerah				Full Mendung			
	Arus		Tegangann		Arus		Tegangann	
	Fix	Trac ker	Fix	Trac ker	Fix	Trac ker	Fix	Trac ker
15	4.074 667	5.431 103	29.23 749	29.44 432	2.872 257	1.204 935	29.14 668	28.90 791
16	1.692 477	2.204 579	28.96 358	29.02 704	0.614 567	0.817 891	28.82 768	28.85 161
17	0.788 102	0.947 973	28.82 743	28.84 489	0.184 635	0.172 349	28.78 557	28.77 829

Tabel Arus dan Tegangann *Output* pada Kondisi Dominan Cerah dan Dominan Mendung Modul *Fix* dan *Tracker*

Pu kul	Dominan Cerah				Dominan Mendung			
	Arus		Tegangann		Arus		Tegangann	
	Fix	Trac ker	Fix	Trac ker	Fix	Trac ker	Fix	Trac ker
7	1.23 5498	1.30 0678	28.8 6973	28.8 6246	1.39 6986	0.58 4243	28.9 221	28.8 0504
8	1.66 9062	2.07 7549	28.9 5104	29.0 0956	1.44 9929	1.36 2444	28.9 3158	28.9 1407
9	4.96 4057	5.89 2335	29.3 7952	29.5 0665	2.38 7386	0.67 6688	29.0 5332	28.8 0311
10	4.35 4284	4.17 4475	29.3 0177	29.2 8515	4.91 8273	4.83 9702	29.3 9088	29.3 6755
11	8.46 6376	4.23 8284	29.8 7114	29.2 6784	7.99 5721	10.7 0426	29.8 2297	30.1 7765
12	4.36 8304	8.88 1635	29.2 8094	29.9 3535	9.24 3854	11.5 2036	29.9 8999	30.2 8233
13	7.44 0875	7.79 2013	29.7 0342	29.7 5721	7.83 244	9.21 7952	29.7 8682	29.9 896
14	7.41 0322	8.82 5947	29.7 2974	29.9 1554	6.61 9719	8.33 5631	29.6 2617	29.8 6633
15	4.07 4668	5.42 2357	29.2 4277	29.4 4835	2.88 9776	1.13 0866	29.1 5139	28.8 9094

Tabel Lanjutan

Pu kul	Dominan Cerah				Dominan Mendung			
	Arus		Tegangann		Arus		Tegangann	
	Fix	Trac ker	Fix	Trac ker	Fix	Trac ker	Fix	Trac ker
16	1.45 9934	2.20 4579	28.9 2116	29.0 3003	0.55 1024	0.83 5355	28.8 2238	28.8 5761
17	0.28 3545	0.23 9757	28.7 6421	28.7 5516	0.17 3646	0.26 4473	28.7 8744	28.7 9154

Tabel Arus dan Tegangann *Output* pada Kondisi Dominan Cerah dan Dominan Mendung Modul *Fix* dan *Tracker*

Pukul	<i>Balance</i>			
	Arus		Tegangann	
	Fix	Tracker	Fix	Tracker
7	2.165739	2.167764	28.97063	29.00965
8	5.80801	5.81251	29.46258	29.50262
9	7.476744	7.47405	29.67206	29.71964
10	9.175084	9.181219	29.90944	29.95015
11	9.545135	9.527534	29.93056	29.98809
12	9.111332	9.143532	29.9328	29.95447
13	2.701037	2.701738	29.05638	29.09986
14	2.50692	2.507441	29.03503	29.07896
15	1.995813	1.99602	29.05952	29.00102
16	1.692478	1.692741	28.91451	28.95868
17	0.788103	0.788741	28.78985	28.8297

“Halaman ini sengaja dikosongkan”

LAMPIRAN 2
Data Input Modul PV Menggunakan Tracker

a. *Full Cerah*

TRACKER							
PUKUL	INPUT				OUTPUT		
	SUHU	IRADIASI	V ANGIN	RH	ARUS	LANGSUN	V BEBAN
7	44	143.1	0.666	58.4	2.38	29.7	12.78
8	47.3	804.52	0.66	51.66	6.12	30	13.4
9	53.1	1011.2	0.44	44.24	7.9	30.12	13.52
10	55	1064	2.4	33	8.92	30.5	15.8
11	62.5	1344.4	1.28	32.3	9.2	30.73	14.68
12	55.4	1370.2	5	33.84	8.4	30.4	12.94
13	54.6	852.6	2.9	30.64	8.1	30.3	13.72
14	53.7	966.18	2.38	30.98	7.79	30	13.56
15	48.5	596.14	0.98	34.58	4.16	29.5	13.3
16	35.48	243.62	1.26	55.5	1.81	29.21	12
17	35.06	104.78	0.8	58.4	0.87	28.97	12.8

b. *Full Mendung*

TRACKER							
PUKUL	INPUT				OUTPUT		
	SUHU	IRADIASI	V ANGIN	RH	ARUS	LANGSUN	V BEBAN
7	31.5	65	0.8	68.3	1.19	28.4	12
8	33.9	151.7	0.86	58.28	1.79	28.9	12.86
9	38.6	272.58	1.2	48.16	2.8	29	13.24
10	44.9	459.06	2.2	41.34	4.38	29.3	13.1
11	50.8	464.66	1.86	34.22	4.71	29.8	13.46
12	50.3	973.98	1.26	28.34	7.9	30.36	13.44
13	33.8	332.48	1.86	53.8	3.41	30.05	13.2
14	32.9	273.64	2.2	55.08	2.78	29.8	13.1
15	31.34	133.44	1.8	35.58	1.76	29.18	13.2
16	33.4	90.48	3.48	46.26	1.06	29.4	12.78
17	28	19.12	4.3	59.44	0.5	27.12	12.7

c. Dominan Cerah

TRACKER							
PUKUL	INPUT				OUTPUT		
	SUHU	IRADIASI	V ANGIN	RH	ARUS	LANGSUNG	V BEBAN
7	44	143.1	0.6	59.14	1.38	29.3	12.78
8	35.5	229.58	0.6	40.8	1.04	29.38	12.84
9	49	646.6	0.74	34.46	6.1	29.99	13.44
10	44.9	459.06	2.4	41.34	4.08	29.7	13.1
11	50.8	464.66	1.28	34.22	4.91	29.5	13.46
12	50.3	973.98	1.9	28.34	8.4	30.34	13.44
13	54.6	852.6	0.82	27.36	7	30	13.72
14	53.7	966.18	2.38	30.98	8.29	30	13.56
15	48.5	595.18	1.88	34.58	6.04	29.98	13.3
16	35.48	243.62	1.26	46.076	2.48	29.3	12
17	32.2	26.54	1	56.188	0.61	28.5	12.7

d. Dominan Mendung

TRACKER							
PUKUL	INPUT				OUTPUT		
	SUHU	IRADIASI	V ANGIN	RH	ARUS	LANGSUNG	V BEBAN
7	30.8	64.72		68.3	0.93	29.04	12
8	32.4	150.8		58.28	1.79	29.2	12.86
9	37.5	74.7		48.16	1.8	29.1	13.24
10	47.9	531.39		41	4.254	30	13.58
11	53.7	1171.8		35.5	6.786	30.56	13.44
12	55.61	1259.9		33.84	7.412	30.96	12.94
13	48.5	1011.8		30.64	6.67	30.7	12.8
14	48.04	915.17		35.58	7.6	30.06	13.46
15	33.14	125.12		35.58	1.77	29.18	13.2
16	32.4	92.46		46.26	1.03	29.14	12.78
17	28	29.34		59.44	0.51	27.12	12.7

e. Balance

TRACKER							
	INPUT				OUTPUT		
PUKUL	SUHU	IRADIASI	V ANGIN	RH	ARUS	LANGSUN	V BEBAN
7	36.7	56.8	0.1	58.44	1.5	29.41	14.6
8	47.3	804.52	1.8	51.66	5.542	30.03	13.4
9	53.1	1011.2	2	44.24	7.924	30.12	13.52
10	55	1064	0.7	33	7.92	30.8	15.8
11	58.9	1079.8	1.5	32.3	8.26	30.4	15.64
12	55.15	1241.29	2.5	40.3	8.4	31.06	12.94
13	33.8	332.48	0.4	53.8	3.14	29.54	13.2
14	32.9	273.64	1.1	55.08	2.874	29.38	13.1
15	33.5	232.58	0.8	57.22	2.64	29.4	12.82
16	33	209.6	0.6	55.5	2.17	29	12.96
17	35.06	104.78	2.1	58.4	1.17	28.9	12.8

“Halaman ini sengaja dikosongkan”

LAMPIRAN 3

Hasil Ekstraksi Parameter

a. Full Cerah

Three Parameters					Five Parameter														
Arus	Tegangan	Iph	Io	A	Arus	Tegangan	Iph	Io	A	Rs	Rp								
2.16573826	29.01916	2.165739	1.12E-06	1.453721	2.086545	29.01916	2.167161	1.12E-06	1.454721	0.090255	362.3924								
5.808008962	29.50109	5.80801	1.12E-06	1.404018	5.733122	29.50109	5.815977	1.12E-06	1.406018		362.3924								
7.476743016	29.70809	7.476744	1.12E-06	1.369648	7.407043	29.70811	7.490887	1.12E-06	1.370648		362.3924								
9.175082494	29.96457	9.175084	1.12E-06	1.370067	9.107404	29.96459	9.192379	1.12E-06	1.372067		362.3924								
9.890243512	30.03814	9.890245	1.12E-06	1.348602	9.82685	30.03816	9.912208	1.12E-06	1.349602		362.3924								
9.479622432	30.04174	9.479623	1.12E-06	1.389633	9.409402	30.04176	9.494665	1.12E-06	1.391633		362.3924								
8.112630047	29.82914	8.112631	1.12E-06	1.382337	8.042064	29.82915	8.126399	1.12E-06	1.387337		362.3924								
7.410320962	29.72974	7.410322	1.12E-06	1.38619	7.338579	29.72975	7.422465	1.12E-06	1.38819		362.3924								
4.074666754	29.23749	4.074668	1.12E-06	1.376386	4.000257	29.2375	4.081953	1.12E-06	1.377386		362.3924								
1.692477365	28.96358	1.692478	1.12E-06	1.464183	1.612999	28.96358	1.693344	1.12E-06	1.466183		362.3924								
0.788101819	28.82743	0.788103	1.12E-06	1.460362	0.708804	28.82743	0.788547	1.12E-06	1.462362		362.3924								
Seven Parameter						Nine Parameter													
Arus	Tegangan	Iph	Io1	Io2	A1	A2	Rs	Rp	Arus	Tegangan	Iph	Io1	Io2	Io3	A1	A2	A3	Rs	Rp
2.162852	28.97396	2.165759	4.96E-10	3.42E-05	1	2	0.090255	10229.47	2.16213	29.01916	2.165739	4.96E-10	3.42E-05	7.91E-04	1	2	3	0.090255	10229.47
5.803724	29.4559	5.80821	1.18E-09	4.51E-05	1	2		7072.793	5.802875	29.50109	5.80801	1.18E-09	4.51E-05	9.29E-04	1	2	3		7072.793
7.471152	29.66291	7.476844	2.13E-09	5.41E-05	1	2		5481.86	7.470212	29.70809	7.476744	2.13E-09	5.41E-05	1.03E-03	1	2	3		5481.86
9.169434	29.9194	9.175284	2.11E-09	5.40E-05	1	2		5498.915	9.168495	29.96457	9.175084	2.11E-09	5.40E-05	1.03E-03	1	2	3		5498.915
9.883595	29.99297	9.880645	3.05E-09	6.02E-05	1	2		4690.638	9.882598	30.03814	9.880245	3.05E-09	6.02E-05	1.09E-03	1	2	3		4690.638
9.474719	29.99657	9.479923	1.51E-09	4.87E-05	1	2		6357.116	9.473832	30.04174	9.479623	1.51E-09	4.87E-05	9.71E-04	1	2	3		6357.116
8.10751	29.78396	8.112731	1.71E-09	5.06E-05	1	2		6022.409	8.106604	29.82914	8.112631	1.71E-09	5.06E-05	9.93E-04	1	2	3		6022.409
7.405371	29.68456	7.410522	1.60E-09	4.96E-05	1	2		6196.9	7.404476	29.72974	7.410322	1.60E-09	4.96E-05	9.81E-04	1	2	3		6196.9
4.069483	29.1923	4.074868	1.89E-09	5.22E-05	1	2		5762.546	4.06856	29.23749	4.074668	1.89E-09	5.22E-05	1.01E-03	1	2	3		5762.546
1.689816	28.91838	1.692778	4.14E-10	3.23E-05	1	2		11056.52	1.689119	28.96358	1.692478	4.14E-10	3.23E-05	7.63E-04	1	2	3		11056.52
0.785384	28.78223	0.788503	4.42E-10	3.30E-05	1	2		10746.89	0.784678	28.82743	0.788103	4.42E-10	3.30E-05	7.73E-04	1	2	3		10746.89

b. Full Mendung

Three Parameters					Five Parameter						
Arus	Tegangan	Iph	Io	A	Arus	Tegangan	Iph	Io	A	Rs	Rp
1.408624	28.91929	1.408624	1.12E-06	1.468507	1.329109	28.91929	1.409261	1.12E-06	1.468507	0.090255	362.3924
1.458994	28.92934	1.458994	1.12E-06	1.467544	1.37948	28.92934	1.459672	1.12E-06	1.467544		362.3924
2.397229	29.05112	2.397229	1.12E-06	1.443874	2.318373	29.05112	2.399135	1.12E-06	1.443874		362.3924
4.928857	29.38935	4.928857	1.12E-06	1.40534	4.853195	29.38936	4.935522	1.12E-06	1.40534		362.3924
8.09152	29.83346	8.09152	1.12E-06	1.398316	8.018963	29.83347	8.103305	1.12E-06	1.398316		362.3924
4.368304	29.27718	4.368304	1.12E-06	1.370067	4.29466	29.27719	4.376539	1.12E-06	1.370067		362.3924
2.701037	29.11014	2.701037	1.12E-06	1.461315	2.621524	29.11014	2.702525	1.12E-06	1.461315		362.3924
2.506378	29.08671	2.506378	1.12E-06	1.465142	2.426739	29.08671	2.507627	1.12E-06	1.465142		362.3924
2.872257	29.14668	2.872257	1.12E-06	1.469954	2.792353	29.14668	2.873497	1.12E-06	1.469954		362.3924
0.614567	28.82768	0.614567	1.12E-06	1.468025	0.535147	28.82768	0.614848	1.12E-06	1.468025		362.3924
0.184635	28.78557	0.184635	1.12E-06	1.494993	0.105174	28.78557	0.184652	1.12E-06	1.494993		362.3924

Seven Parameter								Nine Parameter											
Arus	Tegangan	Iph	Io1	Io2	A1	A2	Rs	Rp	Arus	Tegangan	Iph	Io1	Io2	Io3	A1	A2	A3	Rs	Rp
1.406052	28.91929	1.408674	3.84E-10	3.15E-05	1	2	0.090255	11417.62	1.406052	28.91929	1.408624	4.96E-10	3.42E-05	7.52E-04	1	2	3	0.090255	11417.62
1.456402	28.92934	1.458104	3.90E-10	3.16E-05	1	2		11336.18	1.456402	28.92934	1.458994	1.18E-09	4.51E-05	7.54E-04	1	2	3		11336.18
2.394118	29.05112	2.397629	5.89E-10	3.62E-05	1	2		9507.792	2.394118	29.05112	2.397229	2.13E-09	5.41E-05	8.17E-04	1	2	3		9507.792
4.924639	29.38935	4.928857	1.15E-09	4.48E-05	1	2		7142.522	4.924639	29.38935	4.928857	2.11E-09	5.40E-05	9.26E-04	1	2	3		7142.522
8.086969	29.83346	8.09182	1.30E-09	4.65E-05	1	2		6779.89	8.086969	29.83346	8.09152	3.05E-09	6.02E-05	9.46E-04	1	2	3		6779.89
4.362859	29.27718	4.368504	2.11E-09	5.40E-05	1	2		5498.915	4.362859	29.27718	4.368304	1.51E-09	4.87E-05	1.03E-03	1	2	3		5498.915
2.698295	29.11014	2.701237	4.35E-10	3.28E-05	1	2		10823.32	2.698295	29.11014	2.701037	1.71E-09	5.06E-05	7.71E-04	1	2	3		10823.32
2.503717	29.08671	2.506878	4.07E-10	3.21E-05	1	2		11135.58	2.503717	29.08671	2.506378	1.60E-09	4.96E-05	7.61E-04	1	2	3		11135.58
2.86968	29.14668	2.872657	3.74E-10	3.12E-05	1	2		11541.08	2.86968	29.14668	2.872257	1.89E-09	5.22E-05	7.48E-04	1	2	3		11541.08
0.611999	28.82768	0.614867	3.87E-10	3.16E-05	1	2		11376.81	0.611999	28.82768	0.614567	4.14E-10	3.23E-05	7.53E-04	1	2	3		11376.81
0.182539	28.78557	0.184735	2.41E-10	2.70E-05	1	2		13903.36	0.182539	28.78557	0.184635	4.42E-10	3.30E-05	6.86E-04	1	2	3		13903.36

c. Dominan Cerah

Three Parameters					Five Parameter							
Arus	Tegangan	Iph	Io	A	Arus	Tegangan	Iph	Io	A	Rs	Rp	
1.235498	28.86973	1.235498	1.12E-06	1.43324	1.156695	28.86973	1.236667	1.12E-06	1.43324	362.3924		
1.669062	28.95104	1.669062	1.12E-06	1.450894	1.589919	28.95104	1.670224	1.12E-06	1.450894	362.3924		
4.964057	29.37952	4.964057	1.12E-06	1.3957	4.889172	29.37953	4.971481	1.12E-06	1.3957	362.3924		
4.354284	29.30177	4.354284	1.12E-06	1.397443	4.278741	29.30178	4.360683	1.12E-06	1.397443	362.3924		
8.466376	29.87114	8.466376	1.12E-06	1.384818	8.395886	29.87115	8.480426	1.12E-06	1.384818	362.3924		
4.368304	29.28094	4.368304	1.12E-06	1.370067	4.29465	29.28094	4.376539	1.12E-06	1.370067	0.090255	362.3924	
7.440875	29.70342	7.440875	1.12E-06	1.362145	7.371994	29.70343	7.455816	1.12E-06	1.362145	362.3924		
7.410322	29.72974	7.410322	1.12E-06	1.38619	7.338579	29.72975	7.422465	1.12E-06	1.38619	362.3924		
4.074668	29.24277	4.074668	1.12E-06	1.376386	4.000243	29.24277	4.081953	1.12E-06	1.376386	362.3924		
1.459934	28.92116	1.459934	1.12E-06	1.448078	1.380838	28.92116	1.461008	1.12E-06	1.448078	362.3924		
0.283545	28.76421	0.283545	1.12E-06	1.470436	0.204221	28.76421	0.283665	1.12E-06	1.470436	362.3924		

Seven Parameter									Nine Parameter											
Arus	Tegangan	Iph	Io1	Io2	A1	A2	Rs	Rp	Arus	Tegangan	Iph	Io1	Io2	Io3	A1	A2	A3	Rs	Rp	
1.394513	28.9221	1.235498	3.50E-10	3.05E-05	1	2			8785.811	1.231392	28.86973	1.235498	7.09E-10	3.84E-05	8.47E-04	1	2	3		8785.811
1.447428	28.93158	1.669062	3.59E-10	3.08E-05	1	2			10016.82	1.665396	28.95104	1.669062	5.22E-10	3.48E-05	7.98E-04	1	2	3		10016.82
2.38438	29.05332	4.964057	5.43E-10	3.53E-05	1	2			6649.613	4.958658	29.37952	4.964057	1.36E-09	4.72E-05	9.54E-04	1	2	3		6649.613
4.914164	29.39088	4.354284	1.08E-09	4.39E-05	1	2			6736.127	4.348968	29.30177	4.354284	1.32E-09	4.67E-05	9.49E-04	1	2	3		6736.127
7.991289	29.82297	8.466376	1.22E-09	4.56E-05	1	2			6134.172	8.460437	29.87114	8.466376	1.64E-09	5.00E-05	9.85E-04	1	2	3		6134.172
9.239099	29.98999	4.368304	1.41E-09	4.77E-05	1	2			5498.915	4.361919	29.28094	4.368304	2.11E-09	5.40E-05	1.03E-03	1	2	3	0.090255	5498.915
7.827474	29.78682	7.440875	1.60E-09	4.96E-05	1	2			5185.485	7.434005	29.70342	7.440875	2.42E-09	5.62E-05	1.05E-03	1	2	3		5185.485
6.615234	29.62617	7.410322	1.29E-09	4.64E-05	1	2			6196.9	7.404476	29.72974	7.410322	1.60E-09	4.96E-05	9.81E-04	1	2	3		6196.9
2.887254	29.15139	4.074668	3.56E-10	3.07E-05	1	2			5762.546	4.06856	29.24277	4.074668	1.89E-09	5.22E-05	1.01E-03	1	2	3		5762.546
0.548557	28.82238	1.459934	3.53E-10	3.06E-05	1	2			9809.407	1.456204	28.92116	1.459934	5.48E-10	3.53E-05	8.06E-04	1	2	3		9809.407
0.171626	28.78744	0.283545	2.21E-10	2.62E-05	1	2			11582.59	0.280349	28.76421	0.283545	3.71E-10	3.11E-05	7.47E-04	1	2	3		11582.59

d. Dominan Mendung

Three Parameters					Five Parameter							
Arus	Tegangan	Iph	Io	A	Arus	Tegangan	Iph	Io	A	Rs	Rp	
1.396986	28.9221	1.396986	1.12E-06	1.473826	1.317358	28.9221	1.397515	1.12E-06	1.473826	0.090255	362.3924	
1.449929	28.93158	1.449929	1.12E-06	1.472371	1.370311	28.93158	1.450507	1.12E-06	1.472371		362.3924	
2.387386	29.05332	2.387386	1.12E-06	1.448546	2.308361	29.05332	2.389127	1.12E-06	1.448546		362.3924	
4.918273	29.39088	4.918273	1.12E-06	1.408879	4.842338	29.39088	4.924666	1.12E-06	1.408879		362.3924	
7.995721	29.82297	7.995721	1.12E-06	1.401819	7.922661	29.82298	8.00695	1.12E-06	1.401819		362.3924	
9.243854	29.98999	9.243854	1.12E-06	1.393527	9.172918	29.99	9.25798	1.12E-06	1.393527		362.3924	
7.83244	29.78682	7.83244	1.12E-06	1.38619	7.761127	29.78683	7.845275	1.12E-06	1.38619		362.3924	
6.619719	29.62617	6.619719	1.12E-06	1.398753	6.545915	29.62618	6.629318	1.12E-06	1.398753		362.3924	
2.889776	29.15139	2.889776	1.12E-06	1.472856	2.809748	29.15139	2.89091	1.12E-06	1.472856		362.3924	
0.551024	28.82238	0.551024	1.12E-06	1.473341	0.471565	28.82238	0.551236	1.12E-06	1.473341		362.3924	
0.173646	28.78744	0.173646	1.12E-06	1.500003	0.09417	28.78744	0.173651	1.12E-06	1.500003		362.3924	

Seven Parameter									Nine Parameter										
Arus	Tegangan	Iph	Io1	Io2	A1	A2	Rs	Rp	Arus	Tegangan	Iph	Io1	Io2	Io3	A1	A2	A3	Rs	Rp
1.394513	28.9221	1.396996	3.50E-10	3.05E-05	1	2	0.090255	11878.15	1.393839	28.9221	1.396986	3.50E-10	3.05E-05	7.38E-04	1	2	3	0.090255	11878.15
1.447428	28.93158	1.449949	3.59E-10	3.08E-05	1	2		11750.4	1.44675	28.93158	1.449929	3.59E-10	3.08E-05	7.42E-04	1	2	3		11750.4
2.38438	29.05332	2.387586	5.43E-10	3.53E-05	1	2		9843.618	2.383646	29.05332	2.387386	5.43E-10	3.53E-05	8.05E-04	1	2	3		9843.618
4.914164	29.39088	4.918773	1.08E-09	4.39E-05	1	2		7332.525	4.913328	29.39088	4.918273	1.08E-09	4.39E-05	9.15E-04	1	2	3		7332.525
7.991289	29.82297	7.995751	1.22E-09	4.56E-05	1	2		6958.379	7.990435	29.82297	7.995721	1.22E-09	4.56E-05	9.36E-04	1	2	3		6958.379
9.239099	29.98999	9.243874	1.41E-09	4.77E-05	1	2		6543.335	9.238223	29.98999	9.243854	1.41E-09	4.77E-05	9.60E-04	1	2	3		6543.335
7.827474	29.78682	7.83294	1.60E-09	4.96E-05	1	2		6196.9	7.826579	29.78682	7.83244	1.60E-09	4.96E-05	9.81E-04	1	2	3		6196.9
6.615234	29.62617	6.619819	1.29E-09	4.64E-05	1	2		6801.898	6.614371	29.62617	6.619719	1.29E-09	4.64E-05	9.45E-04	1	2	3		6801.898
2.887254	29.15139	2.889876	3.56E-10	3.07E-05	1	2		11792.8	2.886578	29.15139	2.889776	3.56E-10	3.07E-05	7.41E-04	1	2	3		11792.8
0.548557	28.82238	0.551524	3.53E-10	3.06E-05	1	2		11835.39	0.547882	28.82238	0.551024	3.53E-10	3.06E-05	7.40E-04	1	2	3		11835.39
0.171626	28.78744	0.173716	2.21E-10	2.62E-05	1	2		14431.41	0.171012	28.78744	0.173646	2.21E-10	2.62E-05	6.74E-04	1	2	3		14431.41

e. Balance

Three Parameters					Five Parameter														
Arus	Tegangan	Iph	Io	A	Arus	Tegangan	Iph	Io	A	Rs	Rp								
2.165739	28.97063	2.165739	1.12E-06	1.453721	2.086554	29.01583	2.167161	1.12E-06	1.453721	0.090255	362.3924								
5.80801	29.46258	5.80801	1.12E-06	1.404018	5.733104	29.50777	5.815977	1.12E-06	1.404018		362.3924								
7.476744	29.67206	7.476744	1.12E-06	1.369648	7.407018	29.71725	7.490887	1.12E-06	1.369648		362.3924								
9.175084	29.90944	9.175084	1.12E-06	1.370067	9.107432	29.95463	9.192379	1.12E-06	1.370067		362.3924								
9.545135	29.93056	9.545135	1.12E-06	1.334131	9.48344	29.97576	9.56854	1.12E-06	1.334131		362.3924								
9.111332	29.9328	9.111332	1.12E-06	1.393093	9.04032	29.97799	9.125315	1.12E-06	1.393093		362.3924								
2.701037	29.05638	2.701037	1.12E-06	1.461315	2.621548	29.10158	2.702525	1.12E-06	1.461315		362.3924								
2.50692	29.03503	2.50692	1.12E-06	1.465142	2.427299	29.08034	2.508169	1.12E-06	1.465142		362.3924								
1.995813	29.05952	1.995813	1.12E-06	1.461315	1.916387	29.0017	1.996913	1.12E-06	1.461315		362.3924								
1.692478	28.91451	1.692478	1.12E-06	1.464183	1.613009	28.95971	1.693344	1.12E-06	1.464183		362.3924								
0.788103	28.78985	0.788103	1.12E-06	1.460362	0.708782	28.83505	0.788547	1.12E-06	1.460362		362.3924								
Seven Parameter							Nine Parameter												
Arus	Tegangan	Iph	Io1	Io2	A1	A2	Rs	Rp	Arus	Tegangan	Iph	Io1	Io2	Io3	A1	A2	A3	Rs	Rp
2.161193	29.02138	2.165739	4.34E-10	3.28E-05	1	2	0.090255	10829.47	2.16049	29.02138	2.165739	4.34E-10	3.28E-05	7.71E-04	1	2	3	0.090255	10829.47
5.804166	29.50724	5.80801	1.19E-09	4.53E-05	1	2		7037.085	5.803316	29.50724	5.80801	1.19E-09	4.53E-05	9.31E-04	1	2	3		7037.085
7.466235	29.72183	7.476744	1.93E-09	5.25E-05	1	2		5715.243	7.46531	29.72183	7.476744	1.93E-09	5.25E-05	1.01E-03	1	2	3		5715.243
9.174153	29.95105	9.175084	2.27E-09	5.52E-05	1	2		5324.946	9.173202	29.95105	9.175084	2.27E-09	5.52E-05	1.04E-03	1	2	3		5324.946
9.890149	30.03482	9.545135	3.35E-09	6.19E-05	1	2		4505.392	9.889137	30.03482	9.545135	3.35E-09	6.19E-05	1.11E-03	1	2	3		4505.392
9.481613	30.02209	9.111332	1.68E-09	5.04E-05	1	2		6068.934	9.480709	30.02209	9.111332	1.68E-09	5.04E-05	9.90E-04	1	2	3		6068.934
8.112077	29.80325	2.701037	1.86E-09	5.19E-05	1	2		5810.503	8.111158	29.80325	2.701037	1.86E-09	5.19E-05	1.01E-03	1	2	3		5810.503
7.409635	29.71061	2.50692	1.74E-09	5.09E-05	1	2		5972.347	7.408726	29.71061	2.50692	1.74E-09	5.09E-05	9.96E-04	1	2	3		5972.347
4.065745	29.23588	1.995813	1.64E-09	5.00E-05	1	2		6123.857	4.064845	29.23588	1.995813	1.64E-09	5.00E-05	9.86E-04	1	2	3		6123.857
1.68788	28.96813	1.692478	3.37E-10	3.01E-05	1	2		12073.76	1.687212	28.96813	1.692478	3.37E-10	3.01E-05	7.33E-04	1	2	3		12073.76
0.785458	28.83423	0.788103	4.51E-10	3.32E-05	1	2		10656.4	0.78475	28.83423	0.788103	4.51E-10	3.32E-05	7.76E-04	1	2	3		10656.4

LAMPIRAN 4

Validasi

1. Fix

a. Full Cerah

3	Simulasi		Proven Model		RMSE		Simulasi		Ukur		RMSE	
	Arus	Tegangan	Arus	Tegangan	Arus	Tegangan	Arus	Tegangan	Arus	Tegangan	Arus	Tegangan
P a r a m e t e r	2.165739	29.01916	2.301686	28.97517	0.083918	0.046959	2.165739	29.019161	2.38	30	0.291128	0.777965
	5.80801	29.50109	5.880441	29.45494			5.80801	29.501086	5.94	30.2		
	7.476744	29.70809	7.490974	29.66016			7.476744	29.708095	7.79	30.64		
	9.175084	29.96457	9.158197	29.91529			9.175084	29.964573	9.1	30.9		
	9.890245	30.03814	9.829293	29.98763			9.890245	30.038142	9.83	30.4		
	9.479623	30.04174	9.483402	29.99297			9.479623	30.041743	9.18	30.44		
	8.112631	29.82914	8.130375	29.78091			8.112631	29.829137	8.03	30.8		
	7.410322	29.72974	7.443881	29.68201			7.410322	29.729737	7.67	30.7		
	4.074668	29.23749	4.157365	29.19164			4.074668	29.237491	4.47	30		
	1.692478	28.96358	1.833903	28.91969			1.692478	28.963579	2.16	29.76		
	0.788103	28.82743	0.933842	28.78378			0.788103	28.827431	1.26	29.1		

5	Simulasi		Proven Model		RMSE		Simulasi		Ukur		RMSE	
	Arus	Tegangan	Arus	Tegangan	Arus	Tegangan	Arus	Tegangan	Arus	Tegangan	Arus	Tegangan
P a r a m e t e r	2.086545	29.01916	2.301686	28.97517	0.14337	0.046969	2.086545	29.019162	2.38	30	0.338705	0.777957
	5.733122	29.50109	5.880441	29.45494			5.733122	29.501093	5.94	30.2		
	7.407043	29.70811	7.490974	29.66016			7.407043	29.708107	7.79	30.64		
	9.107404	29.96459	9.158197	29.91529			9.107404	29.964589	9.1	30.9		
	9.82685	30.03816	9.829293	29.98763			9.82685	30.038162	9.83	30.4		
	9.409402	30.04176	9.483402	29.99297			9.409402	30.041757	9.18	30.44		
	8.042064	29.82915	8.130375	29.78091			8.042064	29.829149	8.03	30.8		
	7.338579	29.72975	7.443881	29.68201			7.338579	29.729748	7.67	30.7		
	4.000257	29.2375	4.157365	29.19164			4.000257	29.237496	4.47	30		
	1.612999	28.96358	1.833903	28.91969			1.612999	28.96358	2.16	29.76		
	0.708804	28.82743	0.933842	28.78378			0.708804	28.827431	1.26	29.1		

7	Simulasi		Proven Model		RMSE		Simulasi		Ukur		RMSE	
	Arus	Tegangan	Arus	Tegangan	Arus	Tegangan	Arus	Tegangan	Arus	Tegangan	Arus	Tegangan
P a r a m e t e r	2.162852	28.97396	2.301686	28.97517	0.085935	0.046959	2.162852	28.97396	2.38	30	0.29306	0.777965
	5.803724	29.4559	5.880441	29.45494			5.803724	29.455898	5.94	30.2		
	7.471152	29.66291	7.490974	29.66016			7.471152	29.662913	7.79	30.64		
	9.169434	29.9194	9.158197	29.91529			9.169434	29.919398	9.1	30.9		
	9.883595	29.99297	9.829293	29.98763			9.883595	29.992969	9.83	30.4		
	9.474719	29.99657	9.483402	29.99297			9.474719	29.996569	9.18	30.44		
	8.10751	29.78396	8.130375	29.78091			8.10751	29.783957	8.03	30.8		
	7.405371	29.68456	7.443881	29.68201			7.405371	29.684556	7.67	30.7		
	4.069483	29.1923	4.157365	29.19164			4.069483	29.192297	4.47	30		
	1.689816	28.91838	1.833903	28.91969			1.689816	28.918377	2.16	29.76		
	0.785384	28.78223	0.933842	28.78378			0.785384	28.782225	1.26	29.1		

b. Full Mendung

Simulasi		Proven Model		RMSE		Simulasi		Ukur		RMSE	
Arus	Tegangan	Arus	Tegangan	Arus	Tegangan	Arus	Tegangan	Arus	Tegangan	Arus	Tegangan
1.408624	28.91929	1.552145793	28.87581	0.125324	0.044739	1.408624	28.91929	1.62	29.44	0.210837	0.641097
1.458994	28.92934	1.602178901	28.88557			1.458994	28.92934	1.76	29.50		
2.397229	29.05112	2.528927825	29.00677			2.397229	29.05112	2.63	30.00		
4.928857	29.38935	5.015662847	29.34357			4.928857	29.38935	5.14	30.26		
8.09152	29.83346	8.125509504	29.78548			8.09152	29.83346	8.21	30.66		
4.368304	29.27718	4.442473382	29.23098			4.368304	29.27718	4.56	30.00		
2.701037	29.11014	2.836068884	29.06596			2.701037	29.11014	2.91	29.86		
2.506378	29.08671	2.64379929	29.04264			2.506378	29.08671	2.77	29.46		
2.872257	29.14668	3.009437099	29.10201			2.872257	29.14668	3.11	29.72		
0.614567	28.82768	0.76202082	28.78375			0.614567	28.82768	0.76	29.00		
0.102213	28.74037	0.334473369	28.74207			0.102213	28.74037	0.30	28.80		

Simulasi		Proven Model		RMSE		Simulasi		Ukur		RMSE	
Arus	Tegangan	Arus	Tegangan	Arus	Tegangan	Arus	Tegangan	Arus	Tegangan	Arus	Tegangan
1.329109	28.91929	1.552145793	28.87581	0.201718	0.044741	1.329109	28.91929	1.62	29.44	0.287013	0.641094
1.37948	28.92934	1.602178901	28.88557			1.37948	28.92934	1.76	29.50		
2.318373	29.05112	2.528927825	29.00677			2.318373	29.05112	2.63	30.00		
4.853195	29.38936	5.015662847	29.34357			4.853195	29.38936	5.14	30.26		
8.018963	29.83347	8.125509504	29.78548			8.018963	29.83347	8.21	30.66		
4.29466	29.27719	4.442473382	29.23098			4.29466	29.27719	4.56	30.00		
2.621524	29.11014	2.836068884	29.06596			2.621524	29.11014	2.91	29.86		
2.426739	29.08671	2.64379929	29.04264			2.426739	29.08671	2.77	29.46		
2.792353	29.14668	3.009437099	29.10201			2.792353	29.14668	3.11	29.72		
0.535147	28.82768	0.76202082	28.78375			0.535147	28.82768	0.76	29.00		
0.105174	28.78557	0.334473369	28.74207			0.105174	28.78557	0.30	28.80		

Simulasi		Proven Model		RMSE		Ukur		Ukur		RMSE	
Arus	Tegangan	Arus	Tegangan	Arus	Tegangan	Arus	Tegangan	Arus	Tegangan	Arus	Tegangan
1.406052	28.91929	1.552145793	28.87581	0.128135	0.044739	1.62	29.44	1.62	29.44	0.213871	0.641097
1.456402	28.92934	1.602178901	28.88557			1.76	29.50	1.76	29.50		
2.394118	29.05112	2.528927825	29.00677			2.63	30.00	2.63	30.00		
4.924639	29.38935	5.015662847	29.34357			5.14	30.26	5.14	30.26		
8.086969	29.83346	8.125509504	29.78548			8.21	30.66	8.21	30.66		
4.362859	29.27718	4.442473382	29.23098			4.56	30.00	4.56	30.00		
2.698295	29.11014	2.836068884	29.06596			2.91	29.86	2.91	29.86		
2.503717	29.08671	2.64379929	29.04264			2.77	29.46	2.77	29.46		
2.86968	29.14668	3.009437099	29.10201			3.11	29.72	3.11	29.72		
0.611999	28.82768	0.76202082	28.78375			0.76	29.00	0.76	29.00		
0.182539	28.78557	0.334473369	28.74207			0.30	28.80	0.30	28.80		

c. Dominan Cerah

Simulasi		Proven Model		RMSE		Simulasi		Ukur		RMSE	
Arus	Tegangan	Arus	Tegangan	Arus	Tegangan	Arus	Tegangan	Arus	Tegangan	Arus	Tegangan
1.235498	28.86973	1.374589888	28.82595	2.177197	0.312249	1.235498	28.8697284	1.35	29.2	2.127866	0.556092
1.669062	28.95104	1.807947574	28.90669			1.669062	28.9510432	1.98	29.6		
4.964057	29.37952	5.043676474	29.33336			4.964057	29.3795249	5.16	29.8		
4.354284	29.30177	4.444586797	29.25623			4.354284	29.3017744	4.55	29.9		
8.466376	29.87114	8.479098932	29.82256			8.466376	29.8711393	8.36	30.26		
4.368304	29.28094	4.442737614	29.23478			4.368304	29.2809359	4.56	30		
7.440875	29.70342	7.449166507	29.65505			7.440875	29.7034207	7.54	30.64		
7.410322	29.72974	7.443880508	29.68201			7.410322	29.7297374	7.62	30.2		
4.074668	29.24277	4.157711713	29.19698			4.074668	29.2427673	4.47	32.36		
1.459934	28.92116	1.599826558	28.87701			1.459934	28.9211592	1.84	32.08		
0.283545	28.76421	0.432389252	28.72059			0.283545	28.7642099	0.53	29.6		

Simulasi		Proven Model		RMSE		Simulasi		Ukur		RMSE	
Arus	Tegangan	Arus	Tegangan	Arus	Tegangan	Arus	Tegangan	Arus	Tegangan	Arus	Tegangan
1.156695	28.86973	1.374589888	28.82595	0.169787	0.045876	1.156695	28.8697289	1.35	29.2	0.30943	1.453064
1.589919	28.95104	1.807947574	28.90669			1.589919	28.9510437	1.98	29.6		
4.889172	29.37953	5.043676474	29.33336			4.889172	29.3795305	5.16	29.8		
4.278741	29.30178	4.444586797	29.25623			4.278741	29.3017786	4.55	29.9		
8.395886	29.87115	8.479098932	29.82256			8.395886	29.8711528	8.36	30.26		
4.29465	29.28094	4.442737614	29.23478			4.29465	29.280941	4.56	30		
7.371994	29.70343	7.449166507	29.65505			7.371994	29.703433	7.54	30.64		
7.338579	29.72975	7.443880508	29.68201			7.338579	29.7297476	7.62	30.2		
4.000243	29.24277	4.157711713	29.19698			4.000243	29.2427717	4.47	32.36		
1.380838	28.92116	1.599826558	28.87701			1.380838	28.9211596	1.84	32.08		
0.204221	28.76421	0.432389252	28.72059			0.204221	28.7642099	0.53	29.6		

Simulasi		Proven Model		RMSE		Simulasi		Ukur		RMSE	
Arus	Tegangan	Arus	Tegangan	Arus	Tegangan	Arus	Tegangan	Arus	Tegangan	Arus	Tegangan
1.394513	28.9221	1.374589888	28.82595	0.113911	0.045614	1.394513	28.9221003	1.35	29.2	0.197475	0.702367
1.447428	28.93158	1.807947574	28.90669			1.447428	28.9315798	1.98	29.6		
2.38438	29.05332	5.043676474	29.33336			2.38438	29.0533237	5.16	29.8		
4.914164	29.39088	4.444586797	29.25623			4.914164	29.3908797	4.55	29.9		
7.991289	29.82297	8.479098932	29.82256			7.991289	29.8229722	8.36	30.26		
9.239099	29.98999	4.442737614	29.23478			9.239099	29.9899855	4.56	30		
7.827474	29.78682	7.449166507	29.65505			7.827474	29.7868225	7.54	30.64		
6.615234	29.62617	7.443880508	29.68201			6.615234	29.6261674	7.62	30.2		
2.887254	29.15139	4.157711713	29.19698			2.887254	29.1513851	4.47	32.36		
0.548557	28.82238	1.599826558	28.87701			0.548557	28.8223802	1.84	32.08		
0.171626	28.78744	0.432389252	28.72059			0.171626	28.7874402	0.53	29.6		

d. Dominan Medung

Simulasi		Proven Model		RMSE		Simulasi		Ukur		RMSE	
Arus	Tegangan	Arus	Tegangan	Arus	Tegangan	Arus	Tegangan	Arus	Tegangan	Arus	Tegangan
1.396986	28.9221	1.541459679	28.87864	0.111348	0.045614	1.396986	28.9221	1.56	29.44	0.195056	0.744748
1.449929	28.93158	1.593991003	28.88783			1.449929	28.93158	1.63	29.50		
2.387386	29.05332	2.520527269	29.00899			2.387386	29.053324	2.63	30.00		
4.918273	29.39088	5.007448788	29.34514			4.918273	29.39088	5.19	30.20		
7.995721	29.82297	8.034830208	29.77512			7.995721	29.822972	8.21	30.66		
9.243854	29.98999	9.253090708	29.94094			9.243854	29.989986	9.14	31.00		
7.83244	29.78682	7.85836032	29.73873			7.83244	29.786822	7.87	30.70		
6.619719	29.62617	6.677258025	29.57923			6.619719	29.626167	6.69	30.24		
2.889776	29.15139	3.027863924	29.10672			2.889776	29.151385	3.19	29.64		
0.551024	28.82238	0.699096458	28.77846			0.551024	28.82238	0.64	29.16		
0.173646	28.78744	0.323595065	28.74394			0.173646	28.78744	0.43	28.80		

Simulasi		Proven Model		RMSE		Simulasi				Ukur		RMSE	
Arus	Tegangan	Arus	Tegangan	Arus	Tegangan	Arus	Tegangan	Arus	Tegangan	Arus	Tegangan	Arus	Tegangan
1.317358	28.9221	1.541459679	28.87864	0.183458	0.045619	1.317358	28.922101	1.56	29.44	0.261575	0.702361		
1.370311	28.93158	1.593991003	28.88783			1.370311	28.93158	1.63	29.50				
2.308361	29.05332	2.520527269	29.00899			2.308361	29.053325	2.63	30.00				
4.842338	29.39088	5.007448788	29.34514			4.842338	29.390884	5.19	30.20				
7.922661	29.82298	8.034830208	29.77512			7.922661	29.822983	8.21	30.66				
9.172918	29.99	9.253090708	29.94094			9.172918	29.99	9.14	31.00				
7.761127	29.78683	7.85836032	29.73873			7.761127	29.786834	7.87	30.70				
6.545915	29.62618	6.677258025	29.57923			6.545915	29.626175	6.69	30.24				
2.809748	29.15139	3.027863924	29.10672			2.809748	29.151386	3.19	29.64				
0.471565	28.82238	0.699096458	28.77846			0.471565	28.82238	0.64	29.16				
0.09417	28.78744	0.323595065	28.74394			0.09417	28.78744	0.43	28.80				

Simulasi		Proven Model		RMSE		Simulasi		Ukur		RMSE	
Arus	Tegangan	Arus	Tegangan	Arus	Tegangan	Arus	Tegangan	Arus	Tegangan	Arus	Tegangan
1.394513	28.9221	1.541459679	28.87864	0.113911 0.045614	1.394513	28.9221	1.56	29.44	0.197475 0.702367		
1.447428	28.93158	1.593991003	28.88783		1.447428	28.93158	1.63	29.50			
2.38438	29.05332	2.520527269	29.00899		2.38438	29.053324	2.63	30.00			
4.914164	29.39088	5.007448788	29.34514		4.914164	29.39088	5.19	30.20			
7.991289	29.82297	8.034830208	29.77512		7.991289	29.822972	8.21	30.66			
9.239099	29.98999	9.253090708	29.94094		9.239099	29.989986	9.14	31.00			
7.827474	29.78682	7.85836032	29.73873		7.827474	29.786822	7.87	30.70			
6.615234	29.62617	6.677258025	29.57923		6.615234	29.626167	6.69	30.24			
2.887254	29.15139	3.027863924	29.10672		2.887254	29.151385	3.19	29.64			
0.548557	28.82238	0.699096458	28.77846		0.548557	28.82238	0.64	29.16			
0.171626	28.78744	0.323595065	28.74394		0.171626	28.78744	0.43	28.80			

e. *Balance*

Simulasi		Proven Model		RMSE		Simulasi		Ukur		RMSE	
Arus	Tegangan	Arus	Tegangan	Arus	Tegangan	Arus	Tegangan	Arus	Tegangan	Arus	Tegangan
2.165739	28.97063	2.30	28.97	0.105919	0.046102	2.165739282	28.97062882	2.48	29.60	0.242574	0.700426
5.80801	29.46258	5.88	29.46			5.808009984	29.46258066	5.94	30.00		
7.476744	29.67206	7.49	29.67			7.476744038	29.6720561	7.63	30.26		
9.175084	29.90944	9.16	29.91			9.175083516	29.90943576	9.10	30.76		
9.545135	29.93056	9.47	29.93			9.54513525	29.9305609	9.31	30.86		
9.111332	29.9328	9.12	29.93			9.111331902	29.93280482	9.18	30.96		
2.701037	29.05638	2.84	29.06			2.701036968	29.05638081	2.91	30.00		
2.50692	29.03503	2.64	29.04			2.506920465	29.03503345	2.77	29.86		
1.995813	29.05952	2.13	28.96			1.995813408	29.05951699	2.22	29.78		
1.692478	28.91451	1.83	28.92			1.692478387	28.91450673	2.01	29.14		
0.788103	28.78985	0.93	28.79			0.788102841	28.78984834	1.21	29.10		

Simulasi		Proven Model		RMSE		Simulasi		Ukur		RMSE	
Arus	Tegangan	Arus	Tegangan	Arus	Tegangan	Arus	Tegangan	Arus	Tegangan	Arus	Tegangan
2.167161	28.97063	2.30	28.97	0.170009 0.42905	2.167161318	28.97063078	2.48	29.60	0.301304 0.700418		
5.807733	29.46259	5.88	29.46		5.80773334	29.46258999	5.94	30.00			
7.474399	29.67207	7.49	29.67		7.47439893	29.67207138	7.63	30.26			
9.167648	29.90946	9.16	29.91		9.167647657	29.90945675	9.10	30.76			
9.535564	29.93059	9.47	29.93		9.535564247	29.93058549	9.31	30.86			
9.084095	29.93282	9.12	29.93		9.084095319	29.93282299	9.18	30.96			
2.653062	29.05638	2.84	29.06		2.653061837	29.0563832	2.91	30.00			
2.450462	29.03514	2.64	29.04		2.450461905	29.03513845	2.77	29.86			
1.930962	28.9565	2.13	28.96		1.930961986	28.95650324	2.22	29.78			
1.619149	28.91451	1.83	28.92		1.619148831	28.91450797	2.01	29.14			
0.706109	28.78985	0.93	28.79		0.706108701	28.78984878	1.21	29.10			
Simulasi		Proven Model		RMSE		Ukur		Proven		RMSE	
Arus	Tegangan	Arus	Tegangan	Arus	Tegangan	Arus	Tegangan	Arus	Tegangan	Arus	Tegangan
2.161193	29.02138	2.30	28.97	2.229258 0.361255	2.48	29.60	1.54146	28.97182356	2.192105 0.567251		
5.804166	29.50724	5.88	29.46		5.94	30.00	1.593991	29.46172815			
7.466235	29.72183	7.49	29.67		7.63	30.26	2.520527	29.66948396			
9.174153	29.95105	9.16	29.91		9.10	30.76	5.007449	29.90509179			
9.890149	30.03482	9.47	29.93		9.31	30.86	8.03483	29.92528819			
9.481613	30.02209	9.12	29.93		9.18	30.96	9.253091	29.92920216			
8.112077	29.80325	2.84	29.06		2.91	30.00	7.85836	29.05733614			
7.409635	29.71061	2.64	29.04		2.77	29.86	6.677258	29.03622893			
4.065745	29.23588	2.13	28.96		2.22	29.78	3.027864	28.95776183			
1.68788	28.96813	1.83	28.92		2.01	29.14	0.699096	28.91579839			
0.785458	28.83423	0.93	28.79		1.21	29.10	0.323595	28.7914206			

Tabel Validasi

Modul PV	Kondisi	Three Parameters		Five Parameters	
		Arus	Tegangan	Arus	Tegangan
Fix	Full Cerah	0.08392	0.04696	0.14337	0.04697
	Full Mendung	0.12532	0.04474	0.20172	0.04474
	Dominan Cerah	2.17720	0.31225	0.16979	0.04588
	Dominan	0.11135	0.04561	0.18346	0.04562
	Balance	0.10592	0.04610	0.17001	0.42905
Tracker	Full Cerah	3.62051	0.02376	3.57952	0.48894
	Full Mendung	2.98517	0.40862	3.40910	0.47766
	Dominan Cerah	0.09962	0.03397	0.16979	0.04588
	Dominan Mendung	3.02879	0.41161	3.03987	0.41162
	Balance	3.64232	0.50236	3.64556	0.50236

Modul PV	Kondisi	Seven Parameters		Nine Parameters	
		Arus	Tegangan	Arus	Tegangan
Fix	Full Cerah	0.08593539	0.04696	0.086433713	0.04695946
	Full Mendung	0.128135135	0.04474	0.128826472	0.04473866
	Dominan Cerah	0.113910912	0.04561	0.114547699	0.243320375
	Dominan	0.113910912	0.04561	0.113910912	0.045614461
	Balance	2.229257749	0.36126	0.105918538	0.046101568
Tracker	Full Cerah	3.616587776	0.48892	0.293492363	0.777965334
	Full Mendung	3.366121613	0.47766	0.214584417	0.641096704
	Dominan Cerah	3.366121613	0.03397	0.19806211	0.702366859
	Dominan Mendung	0.411619869	0.15603	0.197475099	0.702366859
	Balance	3.641076293	0.50236	0.242573923	0.70042567

“Halaman ini sengaja dikosongkan”

LAMPIRAN 5
Hasil Optimisasi Menggunakan FA, PSO, dan PSMFA

Tabel 4.1. Hasil Optimisasi Tiga Parameter

Parameter	Tiga Parameter			
	Ekstraks	FA	PSO	PSMFA
Iph	9.890	8.899	8.889	8.421
A	1.5	0.00201	0.00201	0.00201
Io	1.12E-06	6.89E-31	6.89E-31	6.89E-31

Tabel 4.2. Hasil Optimisasi Lima Parameter

Parameter	Lima Parameter			
	Ekstraks	FA	PSO	PSMFA
Iph	9.890	8.899	8.889	8.421
Rs	0.001306	0.001306	0.001306	0.001306
Rsh	270.618	135.3095	135.3095	270.6189
A	1.5	0.000022	0.000022	0.000022
Io	6.88E-31	6.88E-31	6.88E-31	6.88E-31

Tabel 4.3. Hasil Optimisasi Tujuh Parameter

Parameter	Tujuh Parameter			
	Ekstraks	FA	PSO	PSMFA
Iph	9.890	8.899	8.889	8.421
Rs	0.001306	0.001306	0.001306	0.001306
Rsh	270.618	135.3095	135.3095	270.6189
A1	1	0.991106	0.979893	0.979893
Io1	6.02E-05	8.35E-36	6.19E-35	6.19E-35
Io2	3.05E-09	4.18E-36	3.10E-35	3.10E-35
A2	2	1.9911	1.97989	1.97989

Tabel 4.4. Hasil Optimisasi Sembilan Parameter

Parameter	Nine Parameters		
	FA	PSO	PSMFA
Iph	8.899	8.889	8.421
Rs	0.0013061	0.0013061	0.0013061
Rsh	135.3095	135.3095	135.3095
A1	0.991106	0.979892799	0.979892799
Io1	8.35E-36	6.19E-35	6.19E-35
Io2	4.18E-36	3.10E-35	3.10E-35
A2	1.9911	1.979892799	1.979892799
A3	4.9911	4.9799	4.9799
Io3	2.51E-36	1.86E-35	1.86E-35

LAMPIRAN 6 **Scribt Ekstraksi Parameter**

Ekstraksi Tiga Parameter

```
clear;
clc;
close all;

%Datasheet PV
Iscn = 9; %Nilai short-circuit
Voltage [A]
Vocn = 36.8; %Nilai array open-
circuit Voltage [V]
Imp = 8.34; %current @ maximum
power point [A]
Vmp = 30; %Voltage @ maximum
power point [V]
Pmax = Vmp * Imp ; %maximum output
peak power [W]
Kv = -0.0036; %Voltage/temperatur
coefficient [V/K]
Ki = 0.0047; %Current/temperatur
coefficient [A/K]
Ns = 60; %Jumlah sel seri

%konstanta dan lain
k = 1.38065e-23; %konstanta boltzman
q = 1.602e-19; %charge of electron
Eg = 1.14; %Energy gap (eV)
Vt = 0.0257;
Ior = 10^-12;
Rpv = 0.15603;
```

```

Rsinc=0.001;
w1 = 0.954;
w2 = 0.03;
w3 = -1.629;
w4 = 0.088;
c = 3.9;

%Data input
Tr = 25+273;
Sr = 1000;
T1 =
[34.9;45.8;53.8;53.7;58.9;49.1;50.8;49.9;52.
2;32.7;33.5];
T2 = 273*ones(11,1);
T = T1+T2;
S =
[239.4;638.4;818.44;1004.4;1079.8;1040.2;889
.42;812.8;446.4;187.3;87.18];
Va =
[0.666;0.660;0.440;2.400;1.280;5.000;2.900;2
.380;0.980;1.260;0.800];
RH =
[58.4;51.66;44.24;33;32.3;33.84;30.64;30.98;
34.58;55.5;58.4];

%%Parameter Extraction
%ideality factor diode
A = q*(2*Vmp-Vocn)./(Ns*k.*T.*log(1-
(Imp/Iscn)) + Imp/(Iscn - Imp)));
%photocurrent
Iph1 = (Iscn+Ki.* (T-Tr)).*S/Sr;

%reverse saturation current
Io = Iscn.*exp((-q*Vocn)./(Ns.*A*k.*T))) ;

V = 1:Vocn/100:Vocn; %merupakan
vektor yang berisi dari 0 sampai 0+0,21

```

```

%%Current and Voltage
%Current

Id = Io*(exp(V/(Ns*Vt))-1);

Nol = zeros(11,10);
Iph = horzcat(Iph1,Nol);
len = min(length(Id),length(Iph));
I1(1:len) = Iph(1:len)-Id(1:len);
I=I1';

%Voltage
Beta = (w1*T+w2*S+w3*Va+w4*RH+c-Tr)*Kv;
Alfa = S/Sr*Ki
P2 = Beta .* Alfa;
P3 = ((S/Sr)-1)*Iscn;
P1 = (P3-P2)*Rpv;
Vo = P1 + Beta +Vmp;

%%Validasi Simulasi
Iproven =
[2.30168632159295;5.88044086271328;7.4909742
9931051;9.15819656418960;9.82929346229688;9.
48340244846240;8.13037463805946;7.4438805084
5568;4.15736484553824;1.83390300675206;0.933
841753206719];
Vproven =
[28.9751726471581;29.4549446918092;29.660163
4959214;29.9152912899105;29.9876339309222;29
.9929705240336;29.7809097147764;29.682014547
7343;29.1916446288493;28.9196855501435;28.78
37816087528];

%Tegangan
Evp = Vo - Vproven;

```

```
AEvp = abs(Evp);
SEvp = power(AEvp,2);
SumAEvp = sum(AEvp);
SumSEvp = sum(SEvp);
MADvp = SumAEvp/11;
MSEvp = SumSEvp/11;
RMSEvp = sqrt(MSEvp);

%Arus
Eip = I - Iproven;
AEip = abs(Eip);
SEip = power(AEip,2);
SumAEip = sum(AEip);
SumSEip = sum(SEip);
MADip = SumAEip/11;
MSEip = SumSEip/11;
RMSEip = sqrt(MSEip);

%%Validasi Pengukuran
Vukur =
[30.00;30.20;30.64;30.90;30.40;30.44;30.80;3
0.70;30.00;29.76;29.10];
Iukur =
[2.38;5.94;7.79;9.10;9.83;9.18;8.03;7.67;4.4
7;2.16;1.26];

%Tegangan
Evu = Vo - Vukur;
AEvu = abs(Evu);
SEvu = power(AEvu,2);
SumAEvu = sum(AEvu);
SumSEvu = sum(SEvu);
MADvu = SumAEvu/11;
MSEvu = SumSEvu/11;
RMSEvu = sqrt(MSEvu);

%Arus
```

```
Eiu = I - Iukur;
AEiu = abs(Eiu);
SEiu = power(AEiu,2);
SumAEiu = sum(AEiu);
SumSEiu = sum(SEiu);
MADiu = SumAEiu/11;
MSEiu = SumSEiu/11;
RMSEiu = sqrt(MSEiu);
```

Ekstraksi Lima Parameter

```
clc
clear
close all
%Datasheet PV
Iscn = 9; %Nilai short-circuit
Voltage [A]
Vocn = 36.8; %Nilai array open-
circuit Voltage [V]
Imp = 8.34; %current @ maximum
power point [A]
Vmp = 30; %Voltage @ maximum
power point [V]
Pmax = Vmp * Imp ; %maximum output
peak power [W]
Kv = -0.0036; %Voltage/temperatur
coefficient [V/K]
Ki = 0.0053; %Current/temperatur
coefficient [A/K]
Ns = 60; %Jumlah sel seri
Rpv = 0.15603;

%konstanta dan lain
k = 1.38065e-23; %konstanta boltzman
q = 1.602e-19; %charge of electron
Eg = 1.21; %Energy gap
```

```

Vt = 0.0257;
Ior = 10^-12;
Rsinc=0.001;
w1 = 0.954;
w2 = 0.03;
w3 = -1.629;
w4 = 0.088;
c = 3.9;
%Data input
Tr = 25+273;
Sr = 1000;
T1 =
[34.9;45.8;53.8;53.7;58.9;49.1;50.8;49.9;52.
2;32.7;33.5];
T2 = 273*ones(11,1);
T = T1+T2;
S =
[239.4;638.4;818.44;1004.4;1079.8;1040.2;889
.42;812.8;446.4;187.3;87.18];
Va =
[0.666;0.660;0.440;2.400;1.280;5.000;2.900;2
.380;0.980;1.260;0.800];
RH =
[58.4;51.66;44.24;33;32.3;33.84;30.64;30.98;
34.58;55.5;58.4];

%%Parameter Extraction
%ideality factor diode
A = q*(2*Vmp-Vocn)./(Ns*k.*T.*log(1-
(Imp/Iscn)) + Imp/(Iscn - Imp)));
%photocurrent
Iph1 = (Iscn+Ki.* (T-Tr)).*S/Sr;

%reverse saturation current
Io = Iscn.*exp((-q*Vocn)./(Ns.*A*k.*T)));

```

```

V = 1:Vocn/100:Vocn; %merupakan
vektor yang berisi dari 0 sampai 0+0,21
I = zeros(1,size(V,2));

%Rs dan Rp
Rs = Vmp/Imp - (2*Vmp-Vocn)/((Iscn-
Imp)*(log(1-(Imp/Iscn)) + Imp/(Iscn -
Imp)));
Rsh =
sqrt(Rs./(((q.*Io)./(Ns.*A*k.*T)).*exp((q*Is
cn*Rs)./(Ns.*A*k.*T))));

%%Current and Voltage
%Voltage
Beta = (w1*T+w2*S+w3*Va+w4*RH+c-Tr)*Kv;
Alfa = S/Sr*Ki;
P2 = Beta .* Alfa;
P3 = ((S/Sr)- 1)*Iscn;
P1 = (P3-P2)*Rpv;
Vo = P1 + Beta +Vmp;

%Current
Id = Io*(exp((V+I*Rs)/(Ns*Vt))-1);
Noll = zeros(11,10);
Iph = horzcat(Iph1,Noll);
len = min(length(Id),length(Iph));
Ia(1:len) = Iph(1:len)- Id(1:len);
I1 = Ia';

Ish = (Vo + I1*Rs)./Rsh;
Nol2 = zeros(1,90);
%Isha = horzcat(Ish1,Nol2);
%Ish = Isha'
len = min(length(I1),length(Ish));
Ib(1:len) = I1(1:len)- Ish(1:len);
I = Ib';

```

```

Isc=Io.* (exp (q*Vocn./ (Ns.*A*k.*T))-
exp (q*Iscn*Rs./ (Ns.*A*k.*T))) +.....
(Vocn-Iscn*Rs) ./Rsh;

%%Validasi Simulasi
Iproven =
[2.30168632159295;5.88044086271328;7.4909742
9931051;9.15819656418960;9.82929346229688;9.
48340244846240;8.13037463805946;7.4438805084
5568;4.15736484553824;1.83390300675206;0.933
841753206719];

Vproven =
[28.9751726471581;29.4549446918092;29.660163
4959214;29.9152912899105;29.9876339309222;29
.9929705240336;29.7809097147764;29.682014547
7343;29.1916446288493;28.9196855501435;28.78
37816087528];

%Tegangann
Evp = Vo - Vproven;
AEvp = abs(Evp);
SEvp = power(AEvp,2);
SumAEvp = sum(AEvp);
SumSEvp = sum(SEvp);
MADvp = SumAEvp/11;
MSEvp = SumSEvp/11;
RMSEvp = sqrt(MSEvp);

%Arus
Eip = I - Iproven;
AEip = abs(Eip);
SEip = power(AEip,2);
SumAEip = sum(AEip);
SumSEip = sum(SEip);
MADip = SumAEip/11;
MSEip = SumSEip/11;

```

```
RMSEip = sqrt(MSEip);  
  
%%Validasi Pengukuran  
  
Vukur =  
[30.00;30.20;30.64;30.90;30.40;30.44;30.80;3  
0.70;30.00;29.76;29.10];  
Iukur =  
[2.38;5.94;7.79;9.10;9.83;9.18;8.03;7.67;4.4  
7;2.16;1.26];  
  
%Tegangan  
Evu = Vo - Vukur;  
AEvu = abs(Evu);  
SEvu = power(AEvu,2);  
SumAEvu = sum(AEvu);  
SumSEvu = sum(SEvu);  
MADvu = SumAEvu/11;  
MSEvu = SumSEvu/11;  
RMSEvu = sqrt(MSEvu);  
  
%Arus  
Eiu = I- Iukur;  
AEiu = abs(Eiu);  
SEiu = power(AEiu,2);  
SumAEiu = sum(AEiu);  
SumSEiu = sum(SEiu);  
MADIu = SumAEiu/11;  
MSEiu = SumSEiu/11;  
RMSEiu = sqrt(MSEiu);
```

Ekstraksi Tujuh Parameter

```
clc  
clear  
close all
```

```
%Datasheet PV
Iscn = 9; %Nilai short-circuit
Voltage [A]
Vocn = 36.8; %Nilai array open-
circuit Voltage [V]
Imp = 8.34; %current @ maximum
power point [A]
Vmp = 30; %Voltage @ maximum
power point [V]
Pmax = Vmp * Imp ; %maximum output
peak power [W]
Kv = -0.0036; %Voltage/temperatur
coefficient [V/K]
Ki = 0.0047; %Current/temperatur
coefficient [A/K]
Ns = 60; %Jumlah sel seri
Rpv = 0.15603;

%konstanta dan lain
k = 1.38065e-23; %konstanta boltzman
q = 1.602e-19; %charge of electron
Eg = 1.14; %Energy gap
Vt = 0.0257;
Ior = 10^-12;
Rsinc=0.001;
w1 = 0.954;
w2 = 0.03;
w3 = -1.629;
w4 = 0.088;
c = 3.9;
%Datasheet input
Tr = 25+273;
Sr = 1000;
T1 =
[34.9;45.8;53.8;53.7;58.9;49.1;50.8;49.9;52.
2;32.7;33.5];
T2 = 273*ones(11,1);
```

```

T = T1+T2;
S =
[239.4;638.4;818.44;1004.4;1079.8;1040.2;889
.42;812.8;446.4;187.3;87.18];
Va =
[0.666;0.660;0.440;2.400;1.280;5.000;2.900;2
.380;0.980;1.260;0.800];
RH =
[58.4;51.66;44.24;33;32.3;33.84;30.64;30.98;
34.58;55.5;58.4];

%%Parameter Extraction
%ideality factor diode
A1 = 1;
A2 = 2;

%Rs dan Rp
Rs = Vmp/Imp - (2*Vmp-Vocn)/((Iscn-
Imp)*(log(1-(Imp/Iscn)) + Imp/(Iscn -
Imp)));
Io = Iscn.*exp((-q*Vocn)./(Ns.*A1*k.*T));
Rsh =
sqrt(Rs.(((q.*Io)./(Ns.*A1*k.*T)).*exp((q*I
scn*Rs)./(Ns.*A1*k.*T))) );
%photocurrent
Iph1 = (Iscn+Ki.* (T-Tr)).*S/Sr;
%reverse saturation current
a = exp(q*(Vmp-Vocn+Imp*Rs)./(2*Ns*k.*T));
b = exp(q*(Vmp-Vocn+Imp*Rs)./(Ns*k.*T));
Io1 = ((1./Rsh).* (Rs*(Imp-Iscn.* (a-1))-a*
Vocn+Vmp)+Imp+Iscn*(a-
1))./(a.*exp(q*Vocn./(Ns*k.*T))-exp(q*(Vmp+Imp*Rs)./(Ns*k.*T)));

```

```

Io2 = ((1./Rsh).* (Rs*(Imp-Iscn.*(b-1))-b*Vocn+Vmp)+Imp+Iscn*(b-1))./(b.*exp(q*Vocn./(2*Ns*k.*T))-exp(q*(Vmp+Imp*Rs)./(2*Ns*k.*T)));
V = 1:Vocn/100:Vocn; %merupakan
%vektor yang berisi dari 0 sampai 0+0,21
I = zeros(1,size(V,2));

%%Current and Voltage
%Voltage
Beta = (w1*T+w2*S+w3*Va+w4*RH+c-Tr)*Kv;
Alfa = S/Sr*Ki;
P2 = Beta .* Alfa;
P3 = ((S/Sr)- 0.91)*Iscn;
P1 = (P3-P2)*Rpv;
Vo = P1 + Beta +Vmp;

%Current
Id1 = Io1*(exp((V+I*Rs)/(Ns*Vt))-1);
Nol1 = zeros(11,10);
Iph = horzcat(Iph1,Nol1);
len = min(length(Id1),length(Iph));
I1(1:len) = Iph(1:len)- Id1(1:len);

Id2 = Io2*(exp((V+I*Rs)/(Ns*Vt))-1);
Nol2 = zeros(11,10);
Iph = horzcat(Iph1,Nol2);
len = min(length(Id2),length(Iph));
Ib(1:len) = I1(1:len)- Id2(1:len);
I2=Ib';

Ish = (Vo + I2*Rs)./Rsh;
Nol3 = zeros(1,90);
%Ish = horzcat(Ish1,Nol3);
len = min(length(I2),length(Ish));

```

```

I = I2 - Ish;

Isc=Io1.* (exp (q*Vocn ./ (Ns.*A1*k.*T)) -
exp (q*Iscn*Rs ./ (Ns.*A1*k.*T))) + ....
Io2.* (exp (q*Vocn ./ (Ns.*A2*k.*T)) -
exp (q*Iscn*Rs ./ (Ns.*A2*k.*T))) + ....
(Vocn-Iscn*Rs) ./Rsh;

%%Validasi Simulasi
Iproven =
[2.30168632159295;5.88044086271328;7.4909742
9931051;9.15819656418960;9.82929346229688;9.
48340244846240;8.13037463805946;7.4438805084
5568;4.15736484553824;1.83390300675206;0.933
841753206719];
Vproven =
[28.9751726471581;29.4549446918092;29.660163
4959214;29.9152912899105;29.9876339309222;29
.9929705240336;29.7809097147764;29.682014547
7343;29.1916446288493;28.9196855501435;28.78
37816087528];

%Tegangann
Evp = Vo - Vproven;
AEvp = abs(Evp);
SEvp = power(AEvp,2);
SumAEvp = sum(AEvp);
SumSEvp = sum(SEvp);
MADvp = SumAEvp/11;
MSEvp = SumSEvp/11;
RMSEvp = sqrt(MSEvp);

%Arus
Eip = I - Iproven;
AEip = abs(Eip);
SEip = power(AEip,2);
SumAEip = sum(AEip);

```

```
SumSEip = sum(SEip);
MADip = SumAEip/11;
MSEip = SumSEip/11;
RMSEip = sqrt(MSEip);

%%Validasi Pengukuran
Vukur =
[30.00;30.20;30.64;30.90;30.40;30.44;30.80;3
0.70;30.00;29.76;29.10];
Iukur =
[2.38;5.94;7.79;9.10;9.83;9.18;8.03;7.67;4.4
7;2.16;1.26];

%Tegangan
Evu = Vo - Vukur;
AEvu = abs(Evu);
SEvu = power(AEvu,2);
SumAEvu = sum(AEvu);
SumSEvu = sum(SEvu);
MADvu = SumAEvu/11;
MSEvu = SumSEvu/11;
RMSEvu = sqrt(MSEvu);

%Arus
Eiu = I - Iukur;
AEiu = abs(Eiu);
SEiu = power(AEiu,2);
SumAEiu = sum(AEiu);
SumSEiu = sum(SEiu);
MADIu = SumAEiu/11;
MSEiu = SumSEiu/11;
RMSEiu = sqrt(MSEiu);
```

LAMPIRAN 7 **Sricbt Optimisasi PSO**

```
%PARTICLE SWARM OPTIMIZATION

clc;
clear;
close all;

%% Problem Definition

CostFunction=@(x) (model(x)); % Cost Function

nVar=2; % Number of Decision Variables

VarSize=[1 nVar]; % Size of Decision Variables Matrix

VarMin=[0.1 0.1]; % Lower Bound of Variables
VarMax=[2 2]; % Upper Bound of Variables

%% PSO Parameters

MaxIt=50; % Maximum Number of Iterations

nPop=20; % Population Size (Swarm Size)

% PSO Parameters
w=1; % Inertia Weight
wdamp=0.99; % Inertia Weight Damping Ratio
```

```
c1=2;           % Personal Learning
Coefficient
c2=2.0;         % Global Learning
Coefficient

% If you would like to use Constriction
Coefficients for PSO,
% uncomment the following block and comment
the above set of parameters.

% % Constriction Coefficients
% phi1=2.05;
% phi2=2.05;
% phi=phi1+phi2;
% chi=2/(phi-2+sqrt(phi^2-4*phi));
% w=chi;          % Inertia Weight
% wdamp=1;        % Inertia Weight Damping
Ratio
% c1=chi*phi1;    % Personal Learning
Coefficient
% c2=chi*phi2;    % Global Learning
Coefficient

% Velocity Limits
VelMax=0.1*(VarMax-VarMin);
VelMin=-VelMax;

%% Initialization

empty_particle.Position=[];
empty_particle.Cost=[];
empty_particle.Velocity=[];
empty_particle.Best.Position=[];
empty_particle.Best.Cost=[];

particle=repmat(empty_particle,nPop,1);
```

```
GlobalBest.Cost=inf;

for i=1:nPop

    % Initialize Position

particle(i).Position=unifrnd(VarMin,VarMax,VarSize);

    % Initialize Velocity
particle(i).Velocity=zeros(VarSize);

    % Evaluation

particle(i).Cost=func_obj(particle(i).Position);

    % Update Personal Best

particle(i).Best.Position=particle(i).Position;
particle(i).Best.Cost=particle(i).Cost;

    % Update Global Best
if particle(i).Best.Cost<GlobalBest.Cost

    GlobalBest=particle(i).Best;

end

end

BestCost=zeros(MaxIt,1);

%% PSO Main Loop

for it=1:MaxIt
```

```
for i=1:nPop

    % Update Velocity
    particle(i).Velocity =
w*particle(i).Velocity ...

+c1*rand(VarSize).* (particle(i).Best.Position-
n-particle(i).Position) ...

+c2*rand(VarSize).* (GlobalBest.Position-
particle(i).Position);

    % Apply Velocity Limits
    particle(i).Velocity =
max(particle(i).Velocity,VelMin);
    particle(i).Velocity =
min(particle(i).Velocity,VelMax);

    % Update Position
    particle(i).Position =
particle(i).Position + particle(i).Velocity;

    % Velocity Mirror Effect

IsOutside=(particle(i).Position<VarMin |
particle(i).Position>VarMax);
    particle(i).Velocity(IsOutside)==
particle(i).Velocity(IsOutside);

    % Apply Position Limits
    particle(i).Position =
max(particle(i).Position,VarMin);
    particle(i).Position =
min(particle(i).Position,VarMax);

    % Evaluation
```

```
particle(i).Cost =
func_obj(particle(i).Position);

% Update Personal Best
if
particle(i).Cost<particle(i).Best.Cost

particle(i).Best.Position=particle(i).Position;

particle(i).Best.Cost=particle(i).Cost;

% Update Global Best
if
particle(i).Best.Cost<GlobalBest.Cost

GlobalBest=particle(i).Best;

end

end

end

BestCost(it)=GlobalBest.Cost;

disp(['Iteration ' num2str(it) ': Best
Cost = ' num2str(BestCost(it))]);

w=w*wdamp;

end

BestSol = GlobalBest;

%% Results
```

```
figure;
plot(BestCost,'LineWidth',2);
semilogy(BestCost,'LineWidth',2);
title('Five Parameters: A');
xlabel('Iteration');
ylabel('Best Cost');
grid on;
save ('PSOalone.mat')
```

LAMPIRAN 8

Scribt Optimisasi FA

```
function [bestff, mincost] = FA(problem, nvar, bound, param)

func = problem;
varsizes = [1 nvar];

itermax = param.itermax;
npop = param.npop;
gamma = param.gamma;
b0 = param.beta0;
alpha = param.alpha;
damp = param.damp;
scale = param.scale;

xmin = bound.xmin;
xmax = bound.xmax;

globest.cost = inf;

init.loc = [];
init.cost = [];

ff = repmat(init, npop, 1);

% Initiate fireflies
for i = 1:npop
    ff(i).loc = unifrnd(xmin, xmax, varsizes);
    ff(i).cost = func(ff(i).loc);

    if ff(i).cost < globest.cost
        globest = ff(i);
    end
end
```

```

for iter = 1:itermax
    for i = 1:npop
        newff(i).cost = inf;
        for j = 1:npop
            if ff(j).cost < ff(i).cost
                distance = norm (ff(i).loc - ff(j).loc);
                new.loc = min(max(ff(i).loc + b0*exp(-
gamma*distance.^2).*(ff(j).loc-ff(i).loc) + alpha*unifrnd(-
1,1,varsizes),xmin),xmax);
                new.cost = func(new.loc);
                if new.cost < newff(i).cost
                    newff(i).loc = new.loc;
                    newff(i).cost = new.cost;
                    if newff(i).cost < globest.cost
                        globest = newff(i);
                    end
                end
            end
        end
    end
end

% Choose first npop of best fireflies
ff=[ff ; newff];
[~, order]=sort([ff.cost]);
ff=ff(order);
ff=ff(1:npop);

bestcost(iter) = globest.cost;

disp(['Iteration ' num2str(iter) ' Best cost = '
num2str(bestcost(iter))] );
alpha = alpha.*damp;
end

plot(bestcost,'LineWidth',2);

```

```
semilogy(bestcost,'LineWidth',2);  
title('Five Parameter:A');  
xlabel('Iteration');  
ylabel('Best Cost');  
grid on;  
save ('FAalone.mat')
```

```
bestff = globest;  
mincost = bestcost;  
end
```

“Halaman ini sengaja dikosongkan”

LAMPIRAN 9 **Scribt OOptimisasi PSMFA**

```
clear;
clf;

problem = @(x) problemfunc(x);
nvar = 2;

bound.xmin = 100;
bound xmax = 300;

param.ITERMAX = 50;
param.NPOP = 20;
param.GAMMA = 1;
param.BETA0 = 1;
param.ALPHA = 0.2;
param.DAMP = 0.9;
param.W = 1; % Inertia Weight
param.C1 = 2; % Personal Learning Coefficient
param.C2 = 2.0; % Global Learning Coefficient
param.WDAMP=0.99; % Inertia Weight Damping Ratio
param.SCALE = (bound.xmax-bound.xmin);

PSMFA(problem, nvar, bound, param)

function [bestff, mincost] = PSMFA(problem, nvar, bound,
param)

    func = problem;
    varsiz = [1 nvar];

    itermax = param.ITERMAX;
    npop = param.NPOP;
    gamma = param.GAMMA;
    b0 = param.BETA0;
```

```

alpha = param.alpha;
damp = param.damp;
scale = param.scale;
w = param.w;
c1 = param.c1;      % Personal Learning Coefficient
c2 = param.c2;      % Global Learning Coefficient
wdamp = param.wdamp; % Inertia Weight Damping Ratio
xmin = bound.xmin;
xmax = bound.xmax;

globest.cost = inf;

init.loc = [];
init.cost = [];

ff = repmat(init, npop, 1);

% Initiate fireflies
for i = 1:npop
    ff(i).loc = unifrnd(xmin, xmax, varszie);
    ff(i).cost = func(ff(i).loc);

    if ff(i).cost < globest.cost
        globest = ff(i);
    end
end

bestcost = zeros(itermax,1);

for iter = 1:itermax

    for i = 1:npop
        newff(i).cost = inf;
        for j = 1:npop
            if ff(j).cost < ff(i).cost
                rpx = norm (ff(i).cost - ff(j).loc);

```

```

rgx = norm (globest.cost - ff(i).loc);
new.loc = max(min(w*ff(i).loc + c1*exp(-
(rpx)^2)*(ff(i).cost - ff(i).loc)+...
c2*exp(-(rgx)^2)*(globest.cost - ff(i).loc) +
alpha*(gamma-0.5),xmax),xmin);
new.cost = func(new.loc);
if new.cost < newff(i).cost
    newff(i).loc = new.loc;
    newff(i).cost = new.cost;
    if newff(i).cost < globest.cost
        globest = newff(i);
    end
end
end
end

% Choose first npop of best fireflies
ff=[ff ; newff];
[~, order]=sort([ff.cost]);
ff=ff(order);
ff=ff(1:npop);

bestcost(iter) = globest.cost;

disp(['Iteration ' num2str(iter) ' Best cost = '
num2str(bestcost(iter))]);
alpha = alpha.*damp;
w=w*wdamp;
end

plot(bestcost,'LineWidth',2);
semilogy(bestcost,'LineWidth',2);
title ('Five Parameters: Iph');
xlabel('Iteration');

```

```
ylabel('Best Cost');
grid on;
save ('FAalone.mat')

bestff = globest;
mincost = bestcost;
end
```

BIODATA PENULIS



Penulis bernama lengkap Yesika Eka Swasti Apsari atau biasa dipanggil Yesika, dilahirkan di Jombang, 26 Oktober 1996. Penulis merupakan anak pertama dari dua bersaudara. Penulis telah menyelesaikan pendidikan di SDN Plosor Jombang pada tahun 2009, pendidikan di SMPN 2 Jombang pada tahun 2012, pendidikan di SMAN 2 Jombang pada tahun 2015 dan sedang menempuh pendidikan Sarjana Strata-1 di Departemen Teknik Fisika ITS. Penulis memiliki pengalaman program *internship* selama satu bulan di PT. Indonesia Power UP PLTGU 2 Semarang Jawa Tengah. Selama menjadi mahasiswa penulis aktif di kegiatan mahasiswa seperti menjadi staff Hubungan Luar Forum Perempuan, Kementerian Pemuda dan Kebangsaan BEM ITS(2016-2017), staff Kementerian Inkubator Kajian BEM ITS (2017-2018), Dewan Perwakilan Angkatan HMTF ITS(2016-2017, 2017-2018), Pada bulan Juni 2019 penulis telah menyelesaikan Tugas Akhir dengan judul **Optimisasi Parameter PV Menggunakan Metode Particle Swarm Modified Firefly Algorithm(PSMFA)**. Bagi pembaca yang memiliki kritik, saran, atau ingin berdiskusi lebih lanjut mengenai tugas akhir ini, maka dapat menghubungi melalui *email:yesikaiyes@gmail.com*

“Halaman ini sengaja dikosongkan”